

82/85

1 ex

الجمهورية الجزائرية الديمقراطية الشعبية  
REPUBLIQUE ALGERIENNE DEMOCRATIQUE ET POPULAIRE

وزارة التعليم و البحث العلمي

MINISTÈRE DE L'ENSEIGNEMENT ET DE LA RECHERCHE SCIENTIFIQUE

ECOLE NATIONALE POLYTECHNIQUE

المدرسة الوطنية للعلوم الهندسية

المكتبة

ECOLE NATIONALE POLYTECHNIQUE  
BIBLIOTHEQUE

DEPARTEMENT GENIE CIVIL

## PROJET DE FIN D'ETUDES

SUJET

# ETUDE D'UN PONT MIXTE

Proposé par :

SAPTA

Etudié par :

A. TIGHIDET  
M. AYAS

Dirigé par :

M. KORDJANI

PROMOTION : JUIN 1985



**ETUDE D'UN  
PONT MIXTE**

## Dédicaces

Je dédie ce modeste travail à la mémoire  
de mon neveu Rachid et celle de l'oncle Akli  
à mes parents symbole de dévouement  
à mes frères et sœurs  
à mes neveux  
à ma fiancée et toute sa famille  
à tous ceux qui m'ont aimé  
à mes amis, à Mokhtar  
à l'E.G.C.B

Abo'l-Khalil  
Sighi'de

## DEDICACE

Je dédie ma thèse à la fin d'étude à :

- Mes parents.
- Mes frères et sœurs
- toute ma famille
- Toulfik et Mohamed
- Mes amis, à A. TIGRIDET

Spécial remerciement à mon frère Béni

M. AYAD

## Remerciements

NOUS exprimons nos remerciements les plus grands à Monsieur KORDJANI, qui par ses conseils éclairés et son dévouement sans réserve, nous ont guidé dans notre travail.

NOUS remercions également Monsieur REZKALLAH et son équipe pour leur valeureuse aide et leur bon accueil.

NOUS remercions aussi le corps enseignant de l'E.N.P qui a contribué à notre formation.

NOUS remerciements vont aussi à :

M<sup>r</sup> - Mohamed TIGHIBET.

M<sup>r</sup> - Madjid SAIDI

# S'OMM LIRE

## DESIGNATION

**Pages**

INTRODUCTION	<b>1</b>
DALLE	<b>5</b>
POUTRES PRINCIPALES	<b>13</b>
ENTRETOISES	<b>37</b>
CONNECTEURS	<b>52</b>
ASSEMBLAGES	<b>55</b>
APPAREILS D'APPUI	<b>59</b>
PILE	<b>66</b>
CULEE	<b>82</b>

# **INTRODUCTION**

## INTRODUCTION:

Parmi les projets entrepris par la société des aménagements des ponts (S.A.P.T.A), il nous a été confié l'étude et le calcul d'un pont mixte. Il a été mis à notre disposition :

- un relevé planimétrique du tracé de la route et son profil en long.

- un rapport de sol indiquant les morphologies et la nature du terrain.

## I PRESENTATION DE L'OUVRAGE.

Notre travail porte sur l'étude et le calcul des éléments résistants d'un pont reliant Sidi Belabbes à Bouhaniha traversant l'Oued Gouasmia. Ce pont est mixte : Un ouvrage mixte acier-béton est un ouvrage se composant d'une partie métallique liée à une partie en béton de telle sorte que l'ensemble se comporte comme un ouvrage monolithique.

Le béton est un matériau fragile supportant sans inconvenients des efforts élevés de compressions. Il se fissure sous des efforts modérés de traction.

L'acier par contre peut reprendre convenablement les efforts de traction.

Grâce aux caractéristiques essentielles de ces deux matériaux, la liaison entre le béton armé utilisé sous forme de dalles (éléments comprimés) et l'acier utilisé sous forme d'éléments tendus (poutres, entretoises) offre avant tout un intérêt économique.

Les deux types de ponts mixtes les plus couramment utilisés sont :

- les ponts mixtes à poutrelles enrobées
- les ponts à poutres sous chaussée surmontées d'une dalle en béton armé:

Le pont mixte que nous avons à étudier est du 2<sup>e</sup> type, la justification de ce choix est basée sur les avantages suivants Parmi lesquels on peut citer:

- La rapidité d'exécution,
- Les travées importantes.
- Les faibles sollicitations dans les fondations par rapport à celles du béton armé (sol mou)
- Intérêt économique.

## II DESCRIPTION DE L'OUVRAGE.

- ce pont est droit. Il est constitué de quatre (04) travées isostatiques égales chacune à 30m. Ces dernières reposent sur deux culées extrêmes et trois piles intermédiaires. Le profil en travers du pont comporte deux voies de 4,00 mètres et deux trottoirs de 1m de large ainsi que deux gardes de corps de 1,10m de hauteur (voir planche en annexe).

Les corniches situées aux extrémités du tablier supportent les gardes corps.

Le tablier métallique est constitué de trois poutres principales distantes de 3,60m. et d'entretoises à ames pleines assurant une rigidité de l'ensemble du tablier.

Le tablier repose uniquement sur les éléments porteurs (culées, piles) au moyen d'appareils en élastomère forés.

chaque culée est constituée d'éléments qui résistent aux différentes sollicitations imposées par le fonctionnement de

cette culée, à savoir les réactions de la travee, la poussée des terres, les actions développées par le freinage des véhicules.

- Les surfaces de la chaussée et des trottoirs présentent des pentes transversales de 2,5% pour permettre le ruissellement des eaux pluviales.

- Le revêtement de la chaussée est assuré par une couche de bitume de 5 cm d'épaisseur, sur les bordures sont disposées des dalles laissant des vides pour les canalisations.

# Caractéristiques mécaniques des matériaux.

## 1. béton:

Dosage	Ciment	contrôle	Granulat.
350 kg/m <sup>3</sup>	CPA 325	strictement contrôlé	c <sub>g</sub> = 25 mm

### \* Calcul des contraintes admissibles:

$$\begin{aligned}\bar{\sigma}_b &= \frac{f'_b}{\gamma_b} \cdot \bar{\sigma}_{28} && \text{Contrainte admissible de compression} \\ \bar{\sigma}_{b_0} &= \frac{f'_b}{\gamma_b} \sqrt{28} && \text{Contrainte admissible en compression simple} \\ \bar{\sigma}_b &= \sqrt{b} \sqrt{28} && \text{Contrainte de référence de traction}\end{aligned}$$

$$f'_b = \alpha \beta \gamma \delta \varepsilon ; \quad \sqrt{b} = \gamma \beta \delta \theta \Rightarrow \theta = 0,018 + \frac{2,1}{\sqrt{28}}$$

$\alpha = 1$  Ciment de 1<sup>e</sup> classe 325.

$\beta = 1$  béton strictement contrôlé

$\gamma = 1$  h<sub>m</sub>/c<sub>g</sub> < 4

$\delta = 0,30$  en compression simple

$\varepsilon = 1$  en compression simple

$\delta = 0,6$  en flexion simple

$0,8 < \varepsilon < 1$  en flexion simple.

compression simple	flexion simple ou composé	contrainte de référence
$\bar{\sigma}_b = 81 b$	$82,5 \text{ kg/cm}^2$	$\bar{\sigma}_b = 162 b$

## 2) Aciers:

Acier tor (nuance Fe E 40).

	bars	$\bar{\sigma}_{en}$ kg/cm <sup>2</sup>		bars	$\bar{\sigma}_{en}$ kg/cm <sup>2</sup>
$\phi \leq 20$	4120	4200		2750	2800
$\phi > 20$	3920	4000		2690	2670

$$\bar{\sigma}_a = \min \left( \frac{2}{3} \bar{\sigma}_1, \max(\bar{\sigma}_1, \bar{\sigma}_2) \right) \quad \bar{\sigma}_1, \bar{\sigma}_2 \text{ contrainte de fissuration}$$

## 3 - charpente:

l'acier utilisé est de nuance F<sub>224</sub>  $\bar{\sigma} = 2400 \text{ kg/cm}^2$

**DILLE**

## Panneau de dalle.

C'est un élément de répartition de charge et participe à la flexion d'ensemble mais dans la justification du panneau de dalle, on peut faire abstraction de son rôle de dalle de compression de poutre (art. 39.2 CCBA 69).

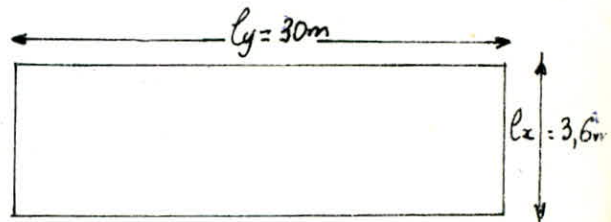
**Coffrage:** notre panneau de dalle repose sur les entretoises d'aboutis donc on un élément rectangulaire de dimension  $l_x, l_y$  avec  $l_x < l_y$

épaisseur de la dalle:  $h_0 = 20 \text{ cm}$ .

épaisseur du revêtement:  $\ell = 5 \text{ cm}$ .

Détermination de  $L$

$$\begin{aligned} L &= \min [\max (\ell_r, \ell), L'] \\ &= \min [\max (8, 7,2), 30] = 8 \text{ m}. \end{aligned}$$



Détermination du <sup>poids</sup> propre du plateau.

- Dalle en béton armé:  $9,6 \times 0,2 \times 2,5 = 4,8 \text{ t/m}^2$ .

- Goussets:  $2(0,04 \frac{(0,8+0,6)}{2}) \times 2,5 + 0,11 \times \frac{(0,8+0,6)}{2} \times 2,5 = 0,332 \text{ t/m}^2$ .

- Revêtements chaussées:  $0,05 \times 8 \times 2,2 = 0,88 \text{ t/m}^2$ .

- Corniche:  $2 \left[ \frac{(0,2+0,1)}{2} \times 0,3 + 0,2 \frac{(0,2+0,1)}{2} \right] \times 2,5 = 0,375 \text{ t/m}^2$ .

- Dalllettes:  $2 \times 0,05 \times 0,4 \times 2,5 = 0,10 \text{ t/m}^2$ .

- Appuis de dalllettes:  $2[2(0,15 \times 0,15) + 2(0,2 \times 0,1)]2,5 = 0,425 \text{ t/m}^2$

- Revêtement trottoirs:  $2 \times 0,05 \times 0,80 \times 2,2 = 0,176 \text{ t/m}^2$ .

- Garde corps:  $0,1 \text{ t/m}^2$ .

- Bordure de trottoir:  $\frac{2 \times 0,2 \times 0,2 \times 2,5}{2} = 0,2 \text{ t/m}^2$   
 $\Sigma = 7,387 \text{ t/m}^2$

$$P = 7,387 \times 8 = 59,1 \text{ t/m}^2$$

$$P = 7,387 \text{ t/m}^2$$

$$P = 7,387 \times 8 \text{ t/ml} = 59,1 \text{ t/ml}.$$

Détermination des surcharges maximales les surcharges max doivent être prises dans la surface  $S = L \times L = 64 \text{ m}^2$   
 Nombre de voies :  $N = \frac{8}{3} \approx 2,6 \Rightarrow N = 2 \text{ voies}$ .  $\ell_0 = 3,5 \text{ m}$ .  
 $\ell_r > 7 \Rightarrow$  pont de 1<sup>re</sup> classe d'où  $\kappa = 1$ .

$N = 2 \text{ voies}$  on peut disposer 2 convois  $\Rightarrow bc = 1,1$ .

surcharge	surcharge Bc (t)	surcharge Bt (t)	surcharge militaire Mc 120
Coefficient b	1,1	1	/
surcharge	60	64	110
surcharge pondérée	66	64	110

Coefficient de majoration dynamique.

$$\zeta = \frac{1+0,4}{1+0,2L} + \frac{0,6}{1+4P/S} \quad \text{avec } L = 8 \text{ m} \quad P = 59,1 \text{ t}$$

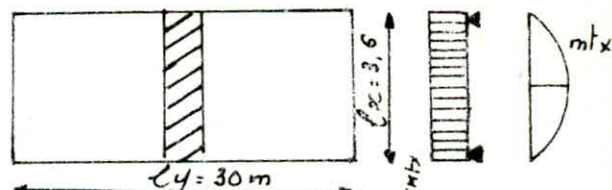
surcharge	surcharge Bc	surcharge Bt	surcharge Mc 120
$\zeta$	1,284	1,281	1,344.

$$\zeta_{\max} = 1,284$$

### Calcul des sollicitations

$$\beta = \frac{\ell_x}{\ell_y} = \frac{3,6}{30} = 0,12 < 0,4.$$

La dalle travaille dans le sens de  $\ell_x$  elle se comporte comme une poutre appuyée sur 2 côtés.



a) Moment fléchissant:

charge permanente

Dalle en béton armé:  $0,2 \times 2,5 = 0,5 \text{ t/m}^2$

revêtement chaussée:  $0,05 \times 2,2 = 0,11 \text{ t/m}^2$

$$\Gamma = \Sigma = 0,61 \text{ t/m}^2$$

$$P = \Gamma \ell \times \ell_y = 0,61 \times 3,6 \times 30 = 65,88 \text{ t}$$

$$\begin{array}{ccc} \beta_1 = 0,12 & \xrightarrow{\quad} & M_1 = 0,0152 \\ \beta_2 = \frac{1}{\beta} = 9,33 & \xleftarrow{\quad} & M_2 = 0,003 \end{array} \quad (\text{Abaque de Pigeaud})$$

$$M_x = (M_1 + \gamma M_2) P = 1,031 \text{ mt/m}$$

$$M_y = (M_2 + \gamma M_1) P = 0,3478 \text{ mt/m}$$



Moments dûs aux différentes surcharges : les abaques de la S.E.T.R.A nous donnent la valeur des moments max non pondérés et non majorés en fonction des données géométriques de la dalle.

### Moment de continuité sur poutre.

surcharges	$M$	coef de maj	$bc, bt, br$	$S$	moment maj / pond
$B_c$	4260	1,2	1,1	1,284	7220,18 kg/m <sup>2</sup>
$M_c 120$	3760		/	1,344	5053,44
$B_t$	3200	1,2	1	1,284	4930,56
$B_r$	1650	1,2	/	1,284	2542,32 kg/m <sup>2</sup>

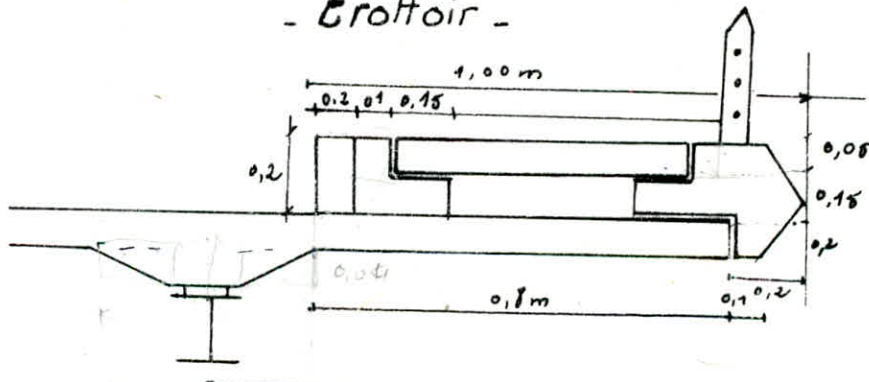
### Moments transversaux en travées $M_a$ .

Moment système	Moment en kg/m <sup>2</sup>	coefficient de majoration	$bc, bt, br$	$S$	moment maj - pond
$B_c$	3780	1,2	1,1	1,284	6406,64
$B_t$	4220	1,2	1	1,284	6502,17
$B_r$	2260	1,2	/	1,284	3482,21
$M_c 120$	5540	1,2		1,344	8908,32

### Moments longitudinaux en travées $M_b$ .

Moment système	moment en kg/m <sup>2</sup>	coefficient de majoration	$bc, bt$	$S$	$M$ en kg/m <sup>2</sup>
$B_c$	2100	1,2	1,1	1,284	3559,25
$B_t$	2260	1,2	1	1,284	3482,2
$B_r$				1,284	2696,4

### - Trottoir -



charge par m<sup>2</sup> est donc :  $q = \frac{1098}{1,20} = 906,67 \text{ kg/m}^2$

Calcul des sollicitations :

charge permanente :  $M_{pp} = -q \frac{\ell^2}{2} = -652,79 \text{ mkg/m}^2$

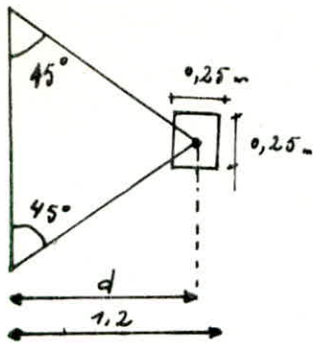
$T_{pp} = q\ell = 1098 \text{ kg/m}\ell$  (consol)

surcharge uniforme de 450 kg/m<sup>2</sup>

$M_{pond} = -q \frac{\ell^2}{2} = -388,8 \text{ kg m/m}^2$

$T_{pond} = q\ell^2 = 648 \text{ kg/m}$

Roue isolée de 6t : les bulletins de la SETRA proposant une répartition de 45° sous l'effet de la charge localisée pour avoir l'effet le plus défavorable.



$$d = 1,2 - \frac{0,25}{2} = 1,075 \text{ m.}$$

$$\Delta = 2d = 2,15 \text{ m.}$$

$$M = -\frac{1,2 \cdot 6 \times 1,075}{2,15} = 3,67 \text{ t/m.}$$

$$T = \frac{1,2 \times 6}{2,15} = 3,35 \text{ t/m.}$$

Répartition des moments.

### 1. Moments transversaux

#### a) En encorbellement.

$$M = M_{pp} + M_{roue isolée} = -(652,79 + 3600) = -4252,79 \text{ kg/m.}$$

$$\text{b) En travé: } M_{xt} = \frac{-0,5}{\delta} \quad \frac{0,5}{\Delta} \quad (\text{Art 39.42 CCBA 68})$$

$$\text{on doit vérifier que: } M_t + M_c + M_w \geq 1,15 M_0 \quad (\text{Art 55.31 CCBA 68})$$

$$0,8 M_0 + 0,5 M_0 + 0,5 M = 1,3 M_0 > 1,15 M_0 \quad \text{vérifier}$$

$$\text{en travé } M > 0 \quad M_{xt} = 0,8 (M_{pp} + M_{c120}) = 0,8 (1031 + 8908,3) = 7951,5 \text{ kg.m/m.}$$

#### c) sur appuis $M_{xa}$ .

$$M < 0 \quad M_{xa} = -0,5 (M_{pp} + M_{c120}) = -0,5 (1031 + 8908,3) = -4969,6 \text{ kg.m/m.}$$

#### d) sur appuis intermédiaire:

$$M_{xa} = [0,5 M_{pp} + M_{BC}]_{\text{continuité}} = -[0,5 \cdot 1031 + 7220,18] = 7735,68 \text{ kg.m/m.}$$

donc pour les appuis on retiendra  $M_{appuis} = 7735,68 \text{ kg.m/m.}$

### 2) Moments longitudinaux.

$$\text{en travé } M_{ly} = -0,8 [M_{pp} + M_{BC}] = 0,8 [347,8 + 3559,25] = 3125,64 \text{ kg.m/m.}$$

$$\text{sur appuis. } M_{ay} = M_{ax} = 7735,68 \quad (\text{Art 39.42 CCBA 68})$$

verification particulière : (Art. 27.13. CCBA 68).

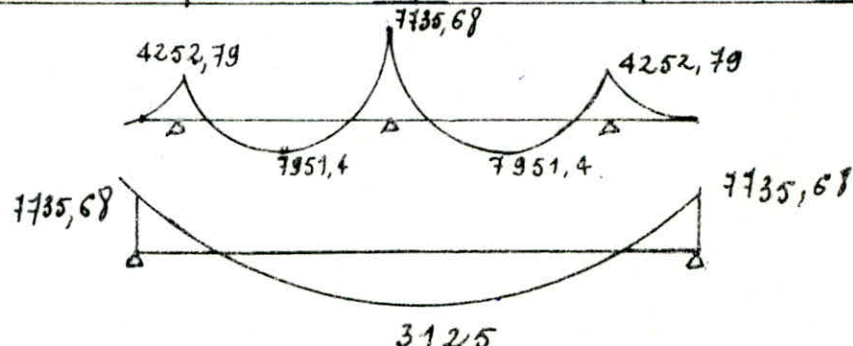
$$M_{yt} > \frac{1}{3} M_{xL} \quad \text{soit } 3125,64 > \frac{7951,4}{3} = 2650,47 \quad \text{vérifiée.}$$

Récapitulation

$M_{xt} \text{ mkg/m.}$	$M_{yt} \text{ mkg/m.}$	$M_{xa} = M_{ya}$	$M_{encorbellement}$
7951,4	3125,64	-7735,68	-4252,79.

courbe enveloppe transversalement.

Longitudinalement



- Ferrailage - (abaque de charon)

Section et armature	M <sub>x</sub> en kg/ml	M <sub>b</sub> en kg/ml	M	E	K	A cm <sup>2</sup> /ml nécessaire	A cm <sup>2</sup> /ml choisie	J <sup>-1</sup>
A <sub>x</sub> section en travé	7951,4	10679,55	0,193	0,9377	15,9	26,154	28,27	135,11
section sur appuis A <sub>x0</sub> = A <sub>y0</sub>	-7735,68	=	0,198	0,9392	16,1	25,3	28,27	132,59
section en (A <sub>l</sub> ) encorbellement	-4252,79	=	0,1034	0,9725	24,2	13,43	15,70	88,21
section en travé A <sub>y</sub>	3125,64	=	0,076	0,9753	25,1	11,15	12,56	85,05

on a donc  $\bar{J}_b' < \bar{J}_b = 165 \text{ kg/cm}^2$ .

espacement (Art 57.33. CCBA 68)  
cas de charge concentrée :

$$\text{sens } x : l_{\max} = \min(2h_x, 22 \text{ cm}) = \min(40 \text{ cm}, 22 \text{ cm}) = 22 \text{ cm.}$$

$$\text{sens } y : l_{\max} = \min(3bt, 33 \text{ cm}) = \min(60 \text{ cm}, 33 \text{ cm}) = 33 \text{ cm.}$$

on adopte:  $A_{x0} = 28,27 \text{ cm}^2/\text{ml}$  soit 9 HA 20  $\ell = 11,11 \text{ c.}$   
 $A_{y0} = A_{x0} = 28,27 \text{ cm}^2/\text{ml}$  soit 9 HA 20  $\ell = 11,11 \text{ c.}$   
 $A_l = 15,70 \text{ cm}^2/\text{ml}$  soit 5 HA 20  $\ell = 20.$   
 $A_{y0} = 12,56 \text{ cm}^2/\text{ml}$  soit 4 HA 20  $\ell = 25$

vérification de la fissuration (Art. 49.22.CCBA 68)

$$\bar{\Gamma}_1 = \frac{K_n}{\phi} \frac{\bar{w}_f}{1+10\bar{w}_f}, \quad \bar{\Gamma}_2 = 2,4 \sqrt{\frac{nR_f}{\phi} b}$$

$K = 10^6$  fissuration nuisible;  $B_f = 2 \times 3 \times 100 = 600 \text{ cm}^2$  section d'enrobage.  
 $\bar{w}_f = \frac{A}{B_f} = 0,0471$  de barres tendues.

$$\bar{\Gamma}_1 = \frac{1,6 \times 10^5}{20} \times \frac{0,0471}{1+10 \times 0,0471} = 2561,5 \text{ kg/cm}^2, \quad \bar{\Gamma}_2 = 2,4 \sqrt{\frac{1,6 \times 7,1 \times 10^6}{20}} = 753,65 \text{ kg/cm}^2$$

max [ $\bar{\Gamma}_1, \bar{\Gamma}_2$ ] = 2561,5 kg/cm<sup>2</sup> > 2134,8 kg/cm<sup>2</sup> vérifiée.

condition de non fragilité (Art 52.2 CCBA 68).  
Il s'agit de vérifier les deux inégalités suivantes:

$$\frac{A_x}{bh_x} \geq \frac{4}{2} (2,1) \frac{\bar{J}_b}{\bar{J}_a} \left(\frac{h_0}{h_x}\right)^2; \quad \frac{A_y}{bh_y} \geq 0,35 \frac{4}{2} \frac{\bar{J}_b}{\bar{J}_a} \left(\frac{h_0}{h_y}\right)^2$$

transversalement:

$$\frac{A_x}{100 \times 17} \geq 0,54 (2 - 0,12) \frac{7,1}{2800} \left(\frac{20}{17}\right)^2 \Rightarrow A_x \geq 2,98 \text{ cm} \text{ vérifiée.}$$

longitudinalement:

$$\frac{A_y}{100 \times 15} \geq 0,35 \times 0,54 \times \frac{7,1}{2800} \left(\frac{20}{15}\right)^2 \Rightarrow A_y \geq 3,26 \text{ cm}^2 \text{ vérifiée}$$

Poinçonnement (Art: 39.54 CCBA 68)  
on doit vérifier que  $\sigma_{\max} = \frac{1,5P}{P_c h_0} \leq \bar{\sigma}_b$ .

Pour la vérification du poinçonnement.

la roue Br est la plus prépondérante  
 $E = \frac{3l}{4} + \frac{h_0}{2} = \frac{3}{4} \times 5 + \frac{20}{2} = 13,75 \text{ cm}$ .

$$U' = U + 2E = 60 + 2 + 13,75 = 87,75 \text{ cm}$$

$$V' = V + 2E = 30 + 2 \times 13,75 = 57,5 \text{ cm}$$

de périmètre moyen.  $P_c = 2(U' + V') = 290 \text{ cm}$ .

$$\sigma_{\max} = \frac{1,5 \times 10^4}{290 \times 20} = 2,58 \text{ kg/cm}^2 < \bar{\sigma}_b = 7,1 \text{ kg/cm}^2 \text{ vérifier.}$$

recouvrement des armatures (Art: 30.52. CCBA 68).

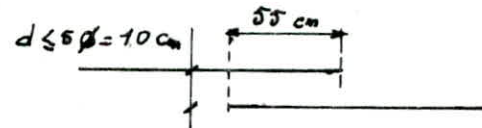
Pour assurer la continuité de la contrainte la jonction de deux barres parallèles identiques est assurée par recouvrement lorsque leur extrémités se chevauchent.

$$\ell_d = \frac{\phi}{u} \frac{\bar{\sigma}_{xc}}{\bar{\sigma}_d} \text{ en traction et } \ell'_d = \frac{\phi}{4} \frac{\bar{\sigma}_a}{\bar{\sigma}_d} \text{ en compression}$$

$$\bar{\sigma}_n = \bar{\sigma}_a' \Rightarrow \ell_f = \ell'_d \quad \bar{\sigma}_d = 2,54 \bar{\sigma}_b = 2,5 \times 1,5 \times 7,1 = 26,25 \text{ kg/cm}^2$$

$$\ell_f = \frac{2,0}{4} \times \frac{26,25}{26,25} = 53,33 \text{ cm}$$

on adopte  $\ell_f = \ell'_d = 55 \text{ cm}$ .



Evaluation de l'effort tranchant.

Poids propre:

$$a=3,6 \text{ m} \quad b=30 \text{ m}$$

\* au milieu du petit côté  $a=3,6$

$$T_y = \frac{P}{3\ell_y} = \frac{65,98}{3 \times 30} = 0,732 \text{ t/m}$$

$$* \text{ au milieu du grand côté } b=30 \quad T_x = \frac{P}{2\ell_y + \ell_x} = \frac{65,98}{2 \times 30 + 3,6} = 1,0358 \text{ t/m}$$

surcharge A:

$$A = KA_2 \frac{\ell_0}{\ell_{tr}} \text{ avec } AL = 230 + \frac{3600}{30+12} = 1087,14 \text{ kg/cm}^2$$

pont de 1<sup>er</sup> classe  $K=1$ ,  $\ell_0 = 3,50$ ,  $\ell_x = 4 \text{ m}$ .

$$AL = 1 \left( 230 + \frac{3600}{30+12} - \frac{3,5}{4} \right) = 951,25 \text{ kg/m}^2$$

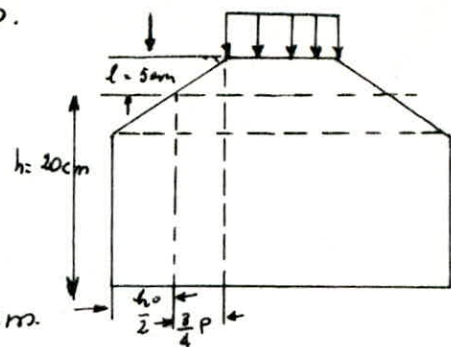
$$\text{les efforts majeurs } T_x = \frac{P}{\ell_x + \ell_y} ; \quad T_y = \frac{1}{3} A \ell_x$$

\* au milieu du petit côté :

$$T_y = 1,2 \frac{A \ell_x}{\ell_x + \ell_y} = 1,2 \times \frac{951,25}{30+3,6} \times 3,6 = 1369,80 \text{ kg/m}$$

\* au milieu du grand côté :

$$T_x = 1,2 \frac{A \times \ell_x \ell_y}{\ell_x + \ell_y} = 1,2 \times 951,25 \times \frac{30 \times 3,6}{2 \times 30 + 3,6} = 1938,40 \text{ kg/m}$$



surcharge  $\beta_c$ .

$$U = U' = 25 \text{ cm} ; h_0 = 20 \text{ cm} ; l_r = 5 \text{ cm}. \\ U' = U + h_0 + 1,5l_r = 25 + 20 + 1,5 \times 5 = 52,5 \text{ cm}. \\ V' = V + h_0 + 1,5l_r = 52,5 \text{ cm}.$$

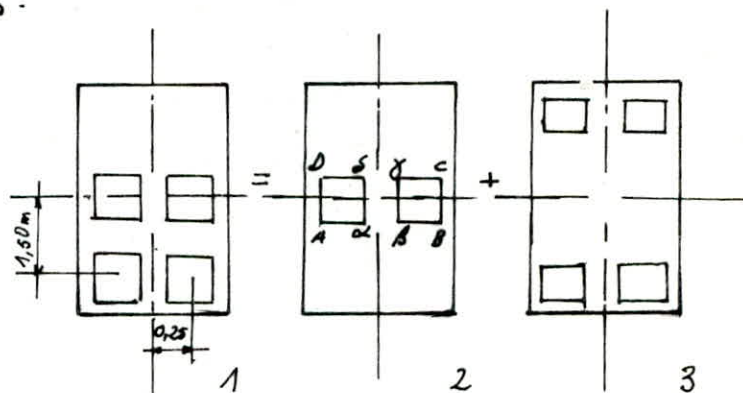
Vérification d'interférence

$$\frac{U'}{2} = \frac{52,5}{2} = 26,25 > 25 \text{ cm}.$$

Il existe une interférence

$$\frac{U'}{2} = \frac{52,5}{2} = 26,25 < 75 \text{ cm}.$$

Pas d'interférence



Pression de répartition sur le plan moyen.

$$\sigma = \frac{P}{U' \times U'} = \frac{6 \times 10^3}{(52,5)^2} = 2,1769 \text{ kg/cm}^2$$

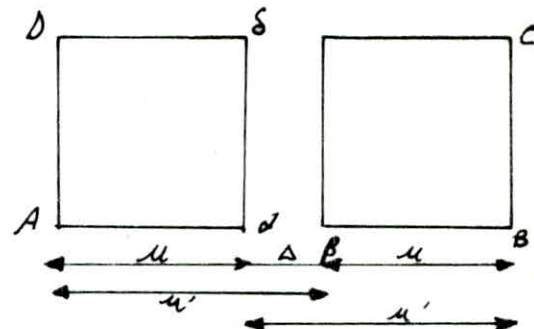
considérons le système (2)

surface A.B.C.B

$$U_1 = 2U' - \Delta. U_1 = U_1. \\ \Delta = 2 \left( \frac{u'}{2} - \frac{50}{2} \right)$$

$$P = \sigma U_1 U_1 = 11714 \text{ kg/ml.}$$

$$T_{U_1} = \frac{P_1}{3U_1} = 3809,4 \text{ kg/ml}$$



$$\text{surface } \alpha \beta \gamma \delta : T_{U_1} = \frac{P_1}{2U_1 + V_1} = 4549,09 \text{ kg/ml.}$$

$$V_0 = \Delta = 2,5 \text{ cm}, V_1 = V' = 52,5 \text{ cm}; P_1 = \sigma U_1 U_1 = 285,7 \text{ kg} \\ U_r > U_r \quad T_{U_r} = \frac{P_r}{3U_r} = 181,4 \text{ kg/ml}; T_{U_r} = \frac{P_r}{2V_r + U_r} = 265,77 \text{ kg/ml}$$

En définitif pour le système (2) on a:

$$T_{U_2} = T_{U_1} + T_{U_r} = 4730,49 \text{ kg/ml}; T_{U_2} = T_{U_1} + T_{U_2} = 4075,17 \text{ kg/ml.}$$

Considérons le système (3) surface A.B.B.A.

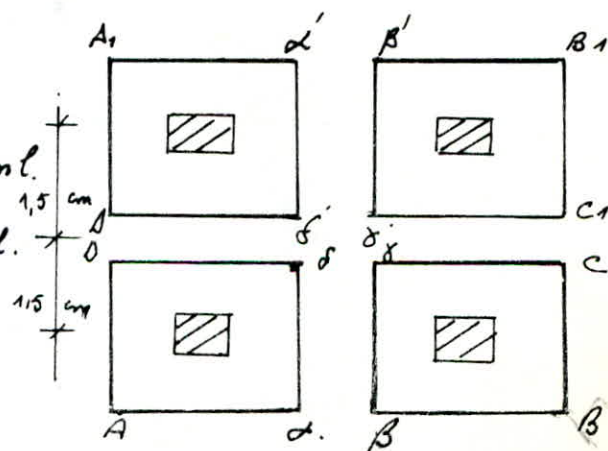
$$U_1 = 2U' - \Delta = 102,5 \text{ cm.}$$

$$U_1 = U' + 2 \times 1,50 = 352,5 \text{ cm.}$$

$$P_1 = \sigma U_1 U_1 = 78650,5 \text{ kg.}$$

$$U_1 > U_2 \Rightarrow T_{U_1} = \frac{P}{3U_1} = 7437,39 \text{ kg/ml.}$$

$$T_{U_1} = \frac{P}{2U_1 + V_1} = 9740 \text{ kg/ml.}$$



Surface  $DD_1C_1C$ .

$$U_2 = 2U - \Delta = 102,5 \text{ cm}, U_2 = 300 \cdot \frac{2U}{2} = 247,5 \text{ cm}$$

$$P_2 = \sqrt{U_2} U_2 = 55222,69 \text{ kg/mL}$$

$$TU_2 = \frac{P_2}{3U_2} = 7437,39 \text{ kg/mL}, TU_2 = \frac{P_2}{2U_2 + U_2} = 9242,29 \text{ kg/mL}$$

Surface  $\alpha/\beta \alpha'/\beta'$

$$U_3 = \Delta = 2,5 \text{ cm}; U_3 = U_1 = 352,5 \text{ cm}; P = 1918,80 \text{ kg}$$

$$TU = \frac{P_3}{3U_3} = 181,4 \text{ kg/mL}, TU_3 = \frac{P_3}{2U_3 + U_3} = 271,188 \text{ kg/mL}$$

Surface  $S \gamma \gamma' S'$

$$U_4 = \Delta = 2,5 \text{ cm}; U_4 = U_2 = 247,5 \text{ cm}; P_4 = 1346,89 \text{ kg}$$

$$TU_4 = \frac{P_4}{3U_4} = 191,390 \text{ kg/mL}, TU_4 = \frac{P_4}{2U_4 + U_4} = 270,73 \text{ kg/mL}$$

donc pour le système (3) on a:

$$T_{4(3)} = \frac{TU_1 + TU_2 + TU_3 + TU_4}{2} = 0; TU_3 = \frac{TU_1 + TU_2 + TU_3 + TU_4}{2} = 249,06 \text{ kg/mL}$$

$T$ : pondéré et majoré:

$$Tx: 1,25 \times 1,2 \times 1,292 \times 4730,49 = 9096,732 \text{ kg/mL}$$

$$Ty: 1,25 \times 1,2 \times 1,292 \times 4324,23 = 8315,5 \text{ kg/mL}$$

même chose pour les autres surcharges, on trouve les résultats suivants sous forme de tableau.

charges	CP	A	Bc	Bl	Br	Mc 120	O.
$Tx \text{ t/mL}$	1,0359	1,039	9,096	6,315	8,271	5,793	6,357
$Ty \text{ t/mL}$	0,732	1,860	9,315	5,173	7,325	7,915	8,73

$$T = T_{CP} + T \text{ surcharge max.}$$

$$Tx = 1,0359 + 9,096 = 10,13 \text{ t/mL}, Ty = 0,732 + 8,73 = 9,462 \text{ t/mL}$$

$$T_{\max} = \max(Tx; Ty) = Tx = 10,13 \text{ t/mL}$$

Vérification du cisaillement (Art. 27.2. CCBA 68)

$$\sigma_{\max} < \bar{\sigma}_b = 1,15 \bar{\sigma}_b$$

$$\sigma_{\max} = \frac{T_{\max}}{b \cdot z} = 6,91 \text{ kg/cm}^2 \text{ avec } z = \frac{1}{8} b; b = 100 \text{ cm}$$

$$\text{donc } \sigma_{\max} = 6,91 \text{ kg/cm}^2 < 1,15 \bar{\sigma}_b = 9,16 \text{ kg/cm}^2 \text{ c'est vérifié.}$$

On a pas besoin des armatures transversales.

Vérification de l'adhérence (Art. 28 CCBA 68)

il s'agit de vérifier que  $\sigma_d = 2,54 d \bar{\sigma}_b = 26,62 \text{ kg/cm}^2$  (Art. 28.11. CCBA 68)

$$\sigma_{dx} = \frac{10 \cdot 18 \cdot 10^3}{56,52 \cdot 17} = 10,54 < \bar{\sigma}_d$$

$$\sigma_{dy} = \frac{9 \cdot 462 \cdot 10^3}{56,52 \cdot 15} = 11,16 < \bar{\sigma}_d \text{ vérifié}$$

**POLITICS  
PRINCIPLES**

## - Calcul des poutres -

Poids propre du tablier:

\* Avant prise du béton (charge permanente CP):

- ossature métallique	$140 \text{ kg/m}^2 \times 10 \text{ m} = 1400 \text{ kg/ml.}$
- dalle de béton armé	$0,2 \times 2500 \times 10 = 5000 \text{ kg/ml.}$
- Goussets	$= 332 \text{ kg/ml.}$
- coffrage métallique	$70 \times 10 = 700 \text{ kg/ml.}$
	<u>Total</u> $= 7432,00 \text{ kg/ml.}$

\* Après prise de béton (complément de charge permanente CCP.)

- coffrage métallique	$= 700 \text{ kg/ml.}$
- Revêtement chaussée	$= 880 \text{ kg/ml.}$
- Revêtement trottoirs	$= 220 \text{ kg/ml.}$
- Corniche	$= 400 \text{ kg/ml.}$
- Dallettes	$= 100 \text{ kg/ml.}$
- Appuis dallettes	$= 290 \text{ kg/ml.}$
- Garde Corps	$= 100 \text{ kg/ml.}$
	<u>Total</u> $= 1.290,00 \text{ kg/ml.}$

$$\text{Poids total} = CP + CCP = 7432 + 1290 = 8722 \text{ kg/ml}$$

$$\text{Poids total de la travée} = 8.722 \times 30 = 261,66 \text{ t.}$$

\* Calcul du coefficient de majoration dynamique:

Le coefficient dynamique est exprimé par

$$\delta = \frac{1+0,4}{1+0,2L} + \frac{0,6}{1+4P/S} \quad \text{avec} \quad L = 30 \text{ m.}$$

$S = \text{étant la surcharge}$   
 $P = 261,66 \text{ t.}$

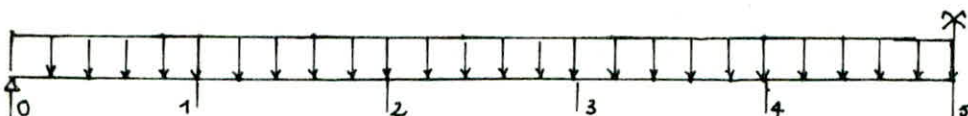
Le résultat est donné sous forme de tableau:

Surcharge.	$S_{\text{max.}}$	$\delta$ coef de maj. dynam
Surcharge civil B	132 t	1,124.
Surcharge militaire M-120	110 t	1,114.

### - Evaluation des efforts -

\* Calcul des efforts avant prise de béton (CP)

on calculera les efforts dans la section de la poutre tous les  $\frac{\ell}{10} = 3 \text{ m.}$



Pour chaque section on aura :

$$M = q \frac{\ell}{2} x - q \frac{x^2}{2}$$

$$T = q \frac{\ell}{2} - q \frac{x}{2}$$

$$\text{avec } q = 7.432 \text{ t/ml; } \ell = 30 \text{ m}$$

\* calcul des efforts après prise du béton CCP :

les efforts sont calculés de la même manière que pour les charges permanentes (CP). La méthode de R.D.M est toujours applicable

$$M = q \frac{L}{2} x - q \frac{x^2}{2} \quad \text{avec } q = CCP = 1,290 \text{ t/ml}$$

$$T = q \frac{L}{2} - q \cdot x$$

Calcul des efforts des surcharges :

\* surcharge A :

$$A = k M L \frac{L_0}{L_0} \quad AL = 230 + \frac{36000}{L+12}$$

Pour un pont de 1<sup>er</sup> classe  $k=1$ ;  $L_0 = 3,5 \text{ m.}$ ;  $L_0 = 4 \text{ m.}$

$$\Rightarrow A = 951,25 \text{ kg/m}^2 = 0,95125 \text{ t/m}^2$$

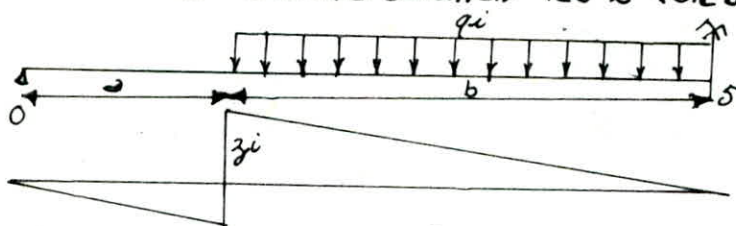
on chargera les 2 voies, le cas le plus défavorable.

$$q = A \cdot 8 = 7,61 \text{ t/ml.}$$

les efforts dûs à la surcharge A sont.

$$M = q \frac{L}{2} x - q \frac{x^2}{2}$$

\* effort tranchant: Pour avoir le plus grand effort il faut charger longitudinalement entre le zéro de la ligne d'influence et transversalement les 2 voies.



section : 0, 1, 2, 3, 4, 5.  
 $a(\text{m}) = 0, 3, 6, 9, 12, 15$ .  
 $b(\text{m}) = 30, 27, 24, 21, 18, 15$ .

$$A_i = 1 \times (230 + 36000) \frac{3,5}{4}$$

$$b_i + 12$$

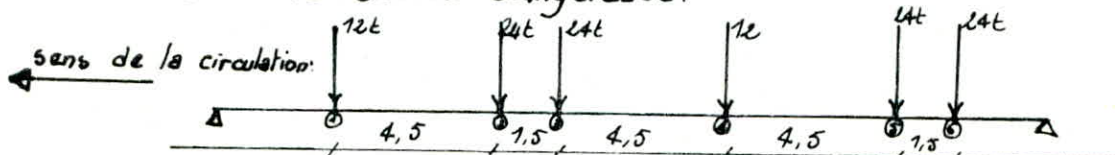
$$l_i = 8 \cdot A_i, \quad T_i = q_i \frac{l_i}{2} z_i$$

- Efforts Dûs aux surcharges Bc.

On assimile notre pont à une poutre, la charge verticale sur la poutre est égale à la somme des charges ponctuelles se trouvant sur la rangée transversalement.

- longitudinalement : on a un convoi de 2 camions.
- transversalement : On a 2 files de convois

Recherche de la section dangereuse :



$$\text{La résultante des forces } P_i \quad R = \sum P_i = 120 \text{ t}$$

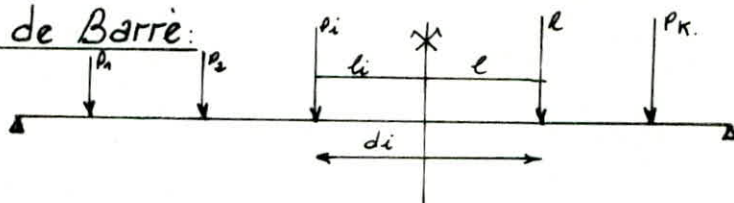
La charge  $P_K$  sous laquelle se produira le plus grand des Moments max réalisés au droit de chaque charge.

Celle qui satisfait à l'inégalité suivante :

$$\sum_{\alpha=1}^{k-1} P_{d\alpha} \leq \frac{R}{2} \leq \sum_{\alpha=1}^k P_{d\alpha}$$

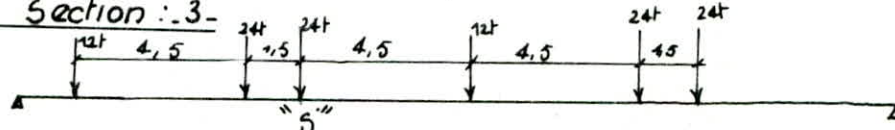
les sections qui vérifient cette inégalité sont : section 3 et 4, les sections qui sont susceptibles de donner des moments max sont les sections 3 et 4.

théorème de Barrié:

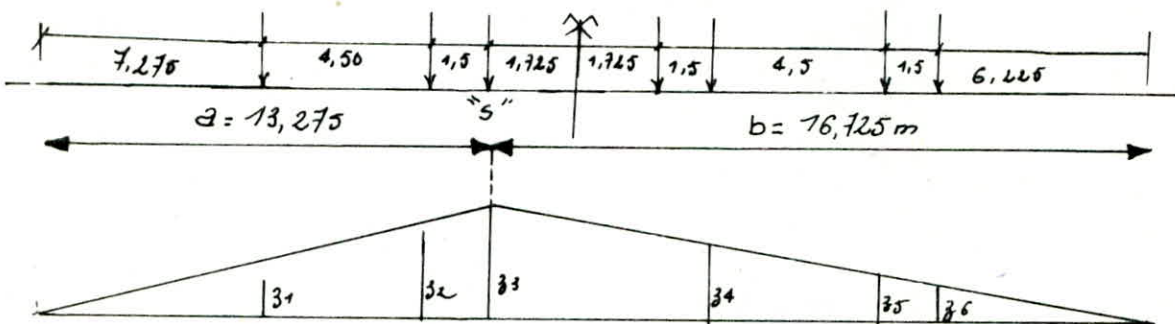


$$l_i = l_e = \frac{d_i}{2}$$

1<sup>er</sup> Cas : Section 3



$$\sum M/S = 0 \Rightarrow 12(6-4,5) + 24(1,5-9-10,5) = 120x \Rightarrow x = -3,45 \text{ m.}$$



$$M_{max} = \sum P_i z_i = 596,71 \text{ t.m.}$$

2<sup>eme</sup> Cas. Section 4: sous le 1<sup>er</sup> essieux du 2<sup>eme</sup> Camion

$$M_{max} = \sum P_i z_i = 585,96 \text{ t.m.}$$

Conclusion:

Le Max du moment max est déterminé en prenant comme section le 3<sup>me</sup> essieux du 1<sup>er</sup> camion.

La section dangereuse est située à 1,725 de l'axe de symétrie.

Evaluation des Moments dans chaque section.

Le moment fléchissant est max au droit de la section "3" si en plaçant une  $P_i$  au droit de cette section et de telle manière que quand on passe de gauche à droite de cette charge.

L'inégalité suivante change de ligne :

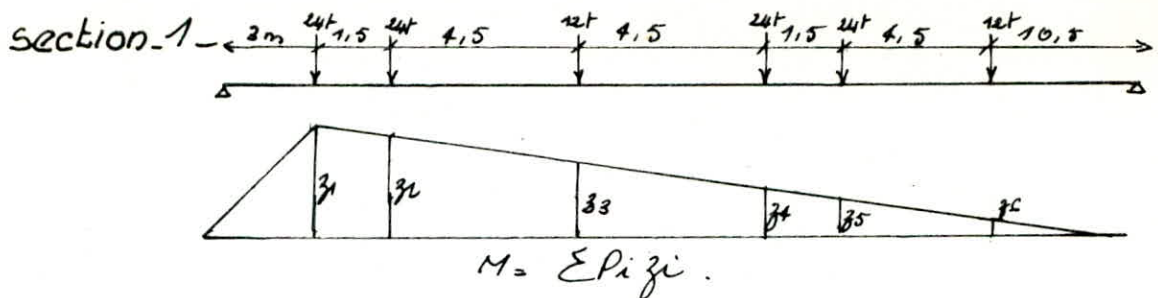
$$\frac{1}{a} \sum_{\alpha=1}^{k-i-1} P_{d\alpha} \leq \frac{1}{b} \sum_{g=i+1}^x P_{dg}$$

a)-distance à l'appui gauche  
à la section "s"

b)-distance à l'appui droit à la section "s"

$P_d$ -charge se trouvant à gauche de "s"

$P_d$ -charge se trouvant à droite de "s"



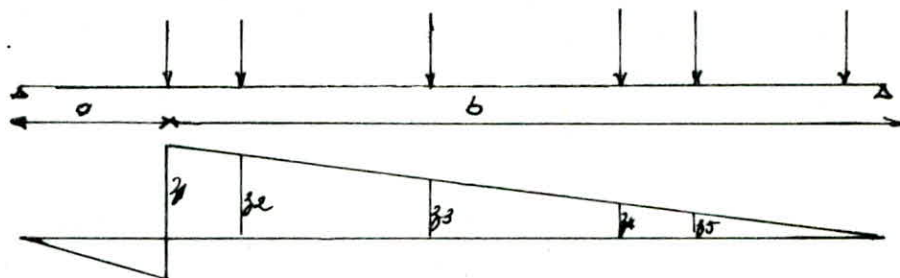
L'inégalité change de sens sous le 3<sup>e</sup> essieu du 2<sup>e</sup> camion.  
même procédé pour les autres sections.

on trouve le résultat suivant.

Section	0	1	2	3	4	5
MP: EPIzi (Nm)	0	239,4	406,8	523,8	590,4	585

Evaluation des efforts tranchants dans chaque section

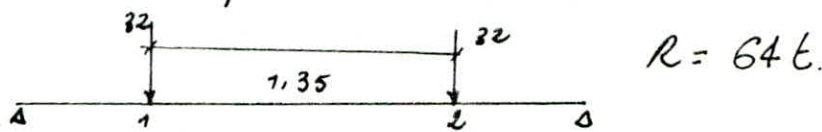
Système Bc: L'effort tranchant est max aux appuis (section 0)



section	0	1	2	3	4	5
a) (m)	0	3	6	9	12	15
b) (m)	30	27	24	21	18	15
T (t)	91,80	79,80	67,8	55,8	43,80	32,40

Efforts dûs aux surcharges Bt.

- Longitudinalement on place 1 tandem par file
- transversalement on place deux tandems.

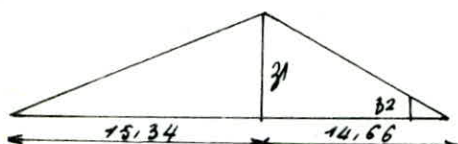
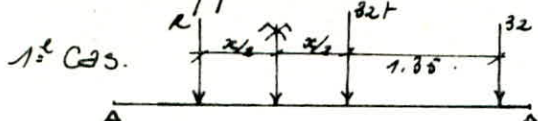


on doit vérifier la relation suivante

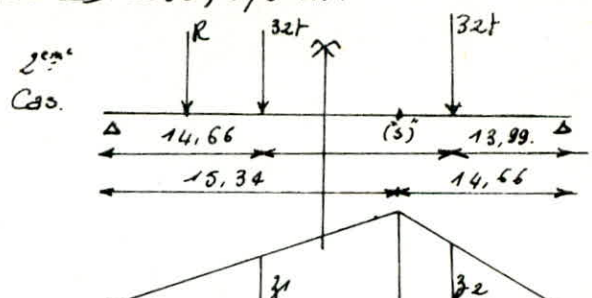
$$\sum_{k=1}^{k-1} P_k \leq \frac{R}{2} \leq \sum_{k=1}^k P_k$$

section 1  $0 \leq 32 \leq 32$  vérifiée  
 section 2  $32 \leq 32 \leq 64$  vérifiée

Point d'application :  $R \alpha = 32 \times 1,35 \Rightarrow x = 0,675 \text{ m.}$



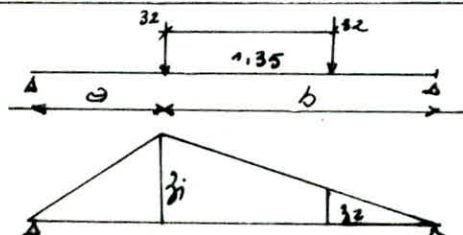
$$M = \sum P_i z_i = 457,92 \text{ tm.}$$



$$M = \sum P_i z_i = 458,14 \text{ tm.}$$

On retiendra le 2<sup>e</sup> cas :

Evaluation de moments fléchissants dans chaque section.



en section 0 le  $M^t$  est nul.

Section 1. 2. 3. 4. 5.

$$a = 3.6.9.12.15 \text{ m.}$$

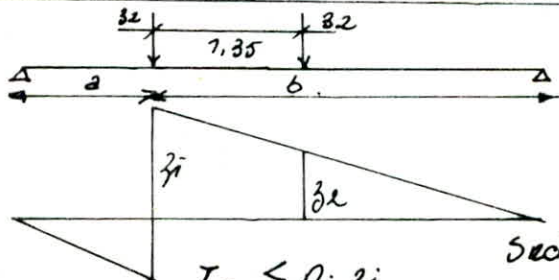
$$b = 27.24.21.18.15.$$

Section ①  $M = \sum P_i z_i = 169,48 \text{ tm.}$  ④  $M = 443,52 \text{ tm.}$

②  $M = 298,56 \text{ tm}$  ⑤  $M = 458,56 \text{ tm.}$

③  $M = 390,24 \text{ tm.}$  Le moment max est à mi longueur :

Evaluation de l'effort tranchant :



$$T = \sum P_i z_i$$

$$T_{\max} = 62,56 \text{ t.}$$

Section : 0. 1. 2. 3. 4. 5.

$$a = 0.3.6.9.12.15 \text{ m}$$

$$b = 27.24.21.18.15 \text{ m.}$$

Section ①  $T = 62,56 \text{ t.}$

②  $T = 56,16 \text{ t.}$

③  $T = 49,76 \text{ t.}$

④  $T = 43,36 \text{ t.}$

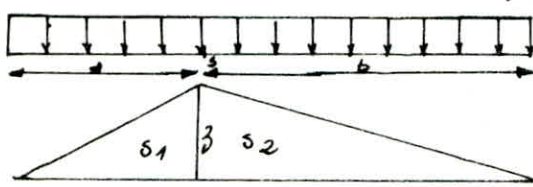
⑤  $T = 36,96 \text{ t.}$

⑥  $T = 30,56 \text{ t.}$

Efforts dûs aux surcharges de trottoirs :

Pour le calcul des poutres principales la surcharge de trottoirs est de  $150 \text{ kg/m}^2$  vu que nos trottoirs ont la même largeur on envisagera un seul cas pour la détermination des efforts. On utilise la ligne d'influence :  $q = 150 \times 1 = 150 \text{ kg/m}^2$ .

Moment fléchissant dans chaque section :



Section ①  $a = 0, b = 30.$  ②  $a = 9 \text{ m}, b = 21 \text{ m.}$

$M = 0.$

$M = 14,175 \text{ tm.}$

③  $a = 3, b = 27.$

④  $a = 12, b = 18.$

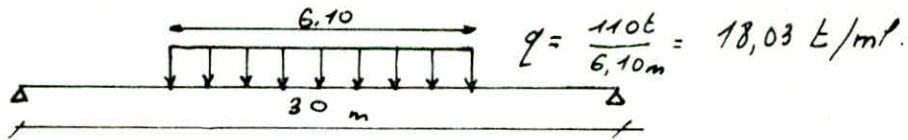
$M = 6,075 \text{ tm.}$

$M = 16,2 \text{ tm.}$

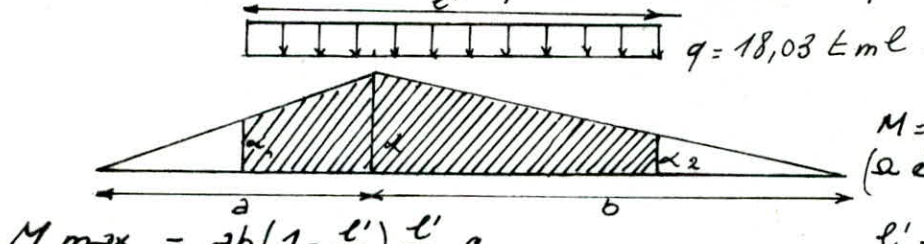
⑤  $a = 6 \text{ m}, b = 24 \text{ m.}$

$M = 10,8 \text{ tm.}$

Efforts dûs à la surcharge MC 120:  
on placera un char sur la travée:



calcul du Moment en chaque section de la poutre:



même chose pour le système D.

$$\text{avec: } q = \frac{240}{18,6} = 12,9 \text{ t/m}^2$$

$$\ell' = 18,6 \text{ m.}$$

Evaluation de l'effort tranchant:

Efforts dûs aux surcharges de trottoirs:

$$q = 100 \text{ kg/m}^2 \times 1 \text{ m} = 150 \text{ kg/m}^2$$

$$\ell = a + b = 30 \text{ m.}$$

$$S^+ = \frac{b^2}{2\ell}$$

$$T = q S^+$$

Section: ①  $a = 0 ; b = 30$ . ②  $a = 6 \text{ m}, b = 24$

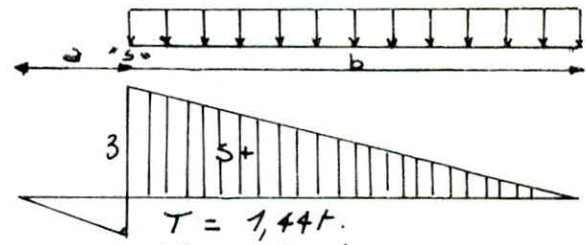
$$T = 2,25 \text{ t.}$$

$$③ a = 9 \text{ m}, b = 21$$

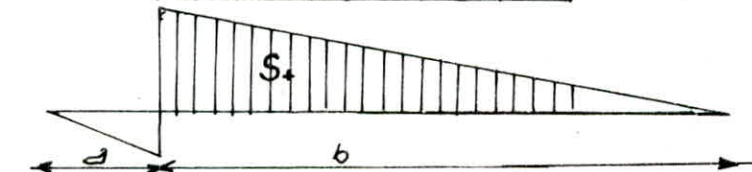
④  $a = 3 \text{ m}; b = 27$ . ⑤  $a = 12 \text{ m}, b = 18$

$$T = 1,82 \text{ t.}$$

$$⑥ a = b = 15 \text{ m}$$



Système MC 120:



$$S_{\max} = b \left(1 - \frac{\ell'}{2b}\right) \frac{\ell'}{\ell}$$

avec:  $\ell' = 6,1 \text{ m}$   
 $\ell = a + b = 30 \text{ m}$ .

$$T = q S_{\max}$$

même chose pour le système D.

$$\text{avec: } \ell' = 18,6 \text{ m.}$$

$$q = \frac{240}{18,6} = 12,903 \text{ t/m}^2$$

Tableau regroupant tous les résultats obtenus

Trois voies système	MC 120 2 voies	$B_L$ 2 voies	$B_C$ 2 voies	2 voies	A 2 voies	C.P.	C.C.P.	section charge	Section 0	Section 1	Section 2	Section 3	Section 4	Section 5
								M (tm)	0	300,99	535,70	702,32	802,65	836,10.
Trois voies système	MC 120 2 voies	$B_L$ 2 voies	$B_C$ 2 voies	2 voies	A 2 voies	C.P.	C.C.P.	T (t)	111,48	89,18	66,88	44,59	22,29	0.
								M (tm)	0	52,75	92,88	121,91	139,32	145,13.
Trois voies système	MC 120 2 voies	$B_L$ 2 voies	$B_C$ 2 voies	2 voies	A 2 voies	C.P.	C.C.P.	T (t)	19,35	15,48	11,61	7,74	3,87	0.
								M (tm)	0	308,20	548,10	719,55	822,6	857,25
Trois voies système	MC 120 2 voies	$B_L$ 2 voies	$B_C$ 2 voies	2 voies	A 2 voies	C.P.	C.C.P.	T (t)	114,45	91,06	92,26	67,96	54,054	41,04.
								M (tm)	0	239,04	406,8	523,8	590,4	585
Trois voies système	MC 120 2 voies	$B_L$ 2 voies	$B_C$ 2 voies	2 voies	A 2 voies	C.P.	C.C.P.	T (t)	91,80	79,80	67,80	65,80	43,83	32,40.
								M (tm)	0	168,48	298,56	390,24	443,52	458,56
Trois voies système	MC 120 2 voies	$B_L$ 2 voies	$B_C$ 2 voies	2 voies	A 2 voies	C.P.	C.C.P.	T (t)	62,56	56,16	49,76	43,36	36,96	30,56.
								M (tm)	0	266,84	483,20	613,88	701,07	730,22
Trois voies système	MC 120 2 voies	$B_L$ 2 voies	$B_C$ 2 voies	2 voies	A 2 voies	C.P.	C.C.P.	T (t)	98,8	87,797	76,82	65,82	54,82	43,82
								M (tm)	0	446,98	794,68	1.030,71	1.178,028	1.227,71
Trois voies système	MC 120 2 voies	$B_L$ 2 voies	$B_C$ 2 voies	2 voies	A 2 voies	C.P.	C.C.P.	T (t)	165,55	141,56	117,57	93,57	69,58	45,58
								M (tm)	0	6,075	10,8	14,175	16,2	16,875
Trois voies système	MC 120 2 voies	$B_L$ 2 voies	$B_C$ 2 voies	2 voies	A 2 voies	C.P.	C.C.P.	T (t)	2,25	1,82	1,44	1,102	0,81	0,562.

## Répartition des efforts dans les poutres principales:

Le calcul des coefficients de répartition sur les poutres principales pour le cas d'un pont à poutre multiplié sous chaussée se fera suivant la méthode de Courbouz dont la théorie suppose que:

- les entretoises sont infiniment rigides
- les entretoises reposent sur des appuis élastiques.
- Ces appuis forment la jonction poutre - entretoise.
- L'largeur du pont est nettement inférieure à sa longueur.
- Calcul du coefficient de répartition :

Les efforts revenants à la poutre  $i$  sont donnés par la formule suivante.

$$M_i = \frac{M}{x} \left[ 1 - 6 \left( \frac{x+1-2i}{x^2-1} \right) \frac{\ell}{N} \right] \text{ avec } M : \text{moment revenant à la poutre } i.$$

$$T_i = \frac{T}{x} \left[ 1 - 6 \left( \frac{x+1-2i}{x^2-1} \right) \frac{\ell}{N} \right]$$

$x$ : nombre de poutre principale.  
 $\ell$ : distance entre axe de symétrie  
 $N$ : espacement entre 2 poutres principales.  
 $T_i$ : l'effort tranchant revenant à la poutre  $i$ .  
 $T$ : l'effort tranchant revenant à la poutre.

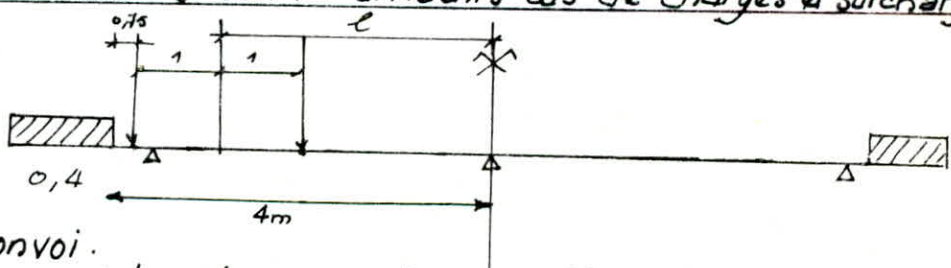
### Coefficient de répartition:

$$\beta = \frac{M_i}{M} = \frac{T_i}{T} = \frac{1}{x} \left[ 1 - 6 \left( \frac{x+1-2i}{x^2-1} \right) \frac{\ell}{N} \right]$$

$$x = 3 \quad \text{et} \quad N = 3,6 \text{ m} ; \quad i = 1, 2, 3.$$

### Calcul de l'excentricité $\ell$ sous les différents cas de charges et surcharges:

1) surcharge: Bc:

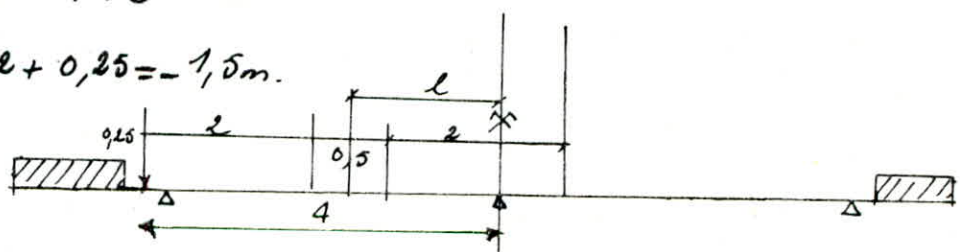


a) cas d'un convoi.

on place le convoi le plus à gauche possible à 0,25m de la bordure du trottoir.

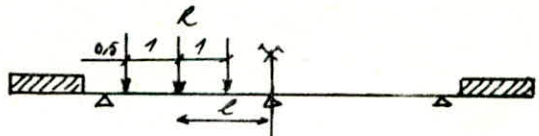
b) cas de deux convois

$$\ell = -4 + 0,25 + 2 + 0,25 = -1,5 \text{ m.}$$

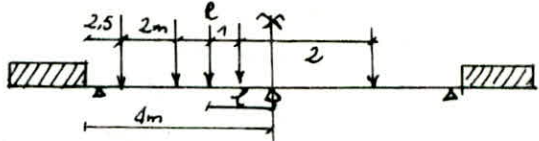


surcharge: Bt:

a) cas d'un tandem.

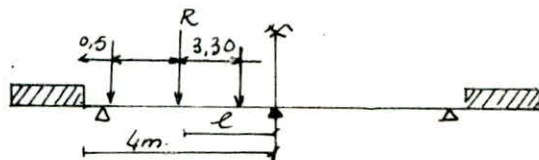


$$b) \text{ cas de 2 tandem.} \\ l = -4 + 0,5 + 2 + 0,5 = -1m$$



surcharge: Mc 120:

$$l = -4 + 0,5 + \frac{3,30}{2} = -1,85.$$

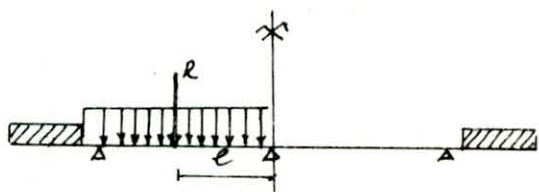


Surcharge A: une seule voie.

$$l = -4 + \frac{4}{2} = -2 \text{ m.}$$

b) cas de deux voies chargées :

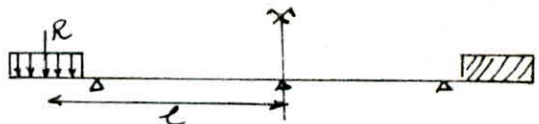
$\ell = 0$  (car la résultante passe par l'axe de symétrie)



## Surchage de trottoirs

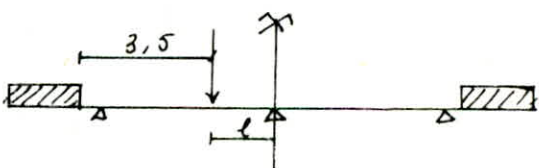
a) Cas d'un trottoir chargé.

$$l = -4 - \frac{1}{2} = -4,5 \text{ m.}$$



b) cas de deux trottoirs chargés :

$\ell = 0$  (car on a 2 trottoirs symétriques  
Par rapport à la poutre N° 2  
et identique)



$$\underline{\text{surchage 0}} : \quad \ell = -4+3, 5 = -0,5 .$$

Coefficient de répartition: pour la poutre N°2       $S = \frac{1}{3} \forall \text{ le chargement.}$

Tableau des  $M_{\infty}$  fléchissants non pondérés non majorés

2

sections charges \ diagonale	0	1	2	3	4	5
C. P.	0	300,99	535,10	702,32	802,65	936,10
C. C. P.	0	52,25	92,48	121,91	139,32	145,13
surcharges A	1 voie	0	154,10	274,05	359,775	411,3
	2 voies	0	308,2	548,10	719,55	822,60
surcharges BC	1 convoi	0	143,64	244,08	314,28	354,24
	2 convois	0	263,34	447,40	576,18	649,44
surcharges Br	1 tandem	0	84,24	149,28	195,12	221,76
	2 tandem.	0	168,48	298,56	390,24	443,52
Mc. 120	0	266,84	483,20	613,38	701,01	730,22
trottoirs	1 trottoir	0	6,075	10,8	14,175	16,2
	2 trottoirs	0	12,150	21,6	28,350	32,4
système D.	0	446,98	794,68	1030,77	1178,028	1.227,71

## Tableau des efforts tranchants non pondérés non majorés.

sections charges \ diagonale	0	1	2	3	4	5
C. P.	111,48	89,18	66,88	44,59	22,29	0
C. C. P	19,35	15,48	11,61	7,74	3,87	0
surcharges A	1 voie	57,07	49,03	46,13	33,98	27,03
	2 voies	114,15	98,06	92,26	67,96	54,05
surcharges BC	1 convoi	55,08	47,88	40,68	33,48	26,28
	2 convois	100,98	87,78	74,58	61,38	49,18
surcharges Br	1 tandem.	31,28	28,08	84,88	21,68	18,48
	2 tandem.	62,56	56,16	49,76	43,36	36,96
Mc 120	98,80	87,797	76,82	65,82	54,81	43,82
trottoirs	1 trottoir	2,25	2,025	1,8	1,5	1,35
	2 trottoirs.	4,50	4,05	3,6	3,00	2,70
Système D	165,55	141,56	117,57	93,57	69,582	45,588

## Section - O - poutre - 2

charges \ diagonale	coefficient répartition	M (Nm)	T(t)	S CMD	M Majore	T Majoré	coefficient de pondération	M. Maj.-pond	T Maj.-pond	
C. P	1/3	0	37,16	1	0	37,16	1,32	0	49,05	
C.C.P	1/3	0	6,45	1	0	6,45	1,32	0	8,51	
surcharges A	1 voie	1/3	0	19,02	1	0	19,02	1,6	0	30,44
	2 voies	1/3	0	38,05	1	0	38,05	1,6	0	60,88
surcharges B C	1 convoi	1/3	0	18,36	1,124	0	20,64	1,6	0	33,02
	2 convois	1/3	0	33,66	1,124	0	37,83	1,6	0	60,53
surcharges B t	1 tandem	1/3	0	10,43	1,124	0	11,72	1,6	0	18,75
	2 tandem	1/3	0	20,85	1,124	0	23,44	1,6	0	37,50
Mc 120	1/3	0	32,93	1,114	0	36,69	1,32	0	48,43	
trottoirs	1 trottoir	1/3	0	0,75	1	0	0,75	1,6	0	1,20
	2 trottoirs	1/3	0	1,5	1	0	1,50	1,6	0	2,40
Systeme D	1/3	0	55,19	1	0	56,19	1,32	0	72,85	

## Section - O - poutre 1 et 3 -

charges \ diagonale	coefficient répartition	M (Nm)	T(t)	S CMD	M Majore	T Majoré	coefficient de pondération	M. Maj.-pond	T Maj.-pond	
C. P	1/3	0	37,16	1	0	37,16	1,32	0	49,05	
C. C. P	1/3	0	6,45	1	0	6,45	1,32	0	8,51	
surcharges A	1 voie	0,611	0	34,87	1	0	34,87	1,6	0	55,79
	2 voies	1/3	0	38,05	1	0	38,05	1,6	0	60,88
surcharges B C	1 convoi	0,715	0	39,38	1,124	0	44,27	1,6	0	70,82
	2 convois	0,541	0	54,63	1,124	0	61,40	1,6	0	98,25
surcharges B t	1 tandem	0,666	0	20,83	1,124	0	23,42	1,6	0	37,47
	2 tandem	0,472	0	29,53	1,124	0	33,19	1,6	0	53,10
Mc 120	0,59	0	58,29	1,114	0	64,93	1,32	0	85,71	
trottoirs	1 trottoir	0,958	0	2,16	1	0	2,16	1,6	0	3,45
	2 trottoirs	0,333	0	1,5	1	0	1,5	1,6	0	2,40
Systeme D.	0,402	0	66,55	1	0	66,55	1,32	0	97,84	

- Section 1 poutre - 2 -

24

charges \ diagonale	coefficient de répartition	M (Nm)	T (t)	S C M D	M Majoré	T Majoré	coefficient de pondération	M Maj.-pond	T Maj.-pond	
C P	1/3	100,33	29,73	1	100,33	29,73	1,32	132,44	39,24	
C C P	1/3	17,42	5,16	1	17,42	5,16	1,32	22,99	6,81	
Surcharges A	1 voie	1/3	51,36	16,34	1	51,36	16,34	1,6	82,18	26,15
	2 voies	1/3	102,73	32,69	1	102,73	32,69	1,6	164,37	52,30
Surcharges Bc	1 convoi	1/3	47,92	15,96	1,124	53,86	17,94	1,6	86,17	28,70
	2 convois	1/3	87,78	29,26	1,124	98,66	32,89	1,6	157,86	52,62
Surcharges Bt	1 tandem	1/3	28,08	9,36	1,124	31,56	10,52	1,6	50,50	16,83
	2 tandem	1/3	56,16	18,72	1,124	63,12	21,04	1,6	101,00	33,67
Mc 120	1/3	88,96	29,27	1,114	99,09	32,60	1,82	130,79	43,04	
Trottoirs	1 trottoir	1/3	2,03	0,68	1	2,03	0,68	1,6	3,24	1,08
	2 trottoirs	1/3	4,05	1,35	1	4,05	1,35	1,6	6,48	2,16
Système D.	1/3	148,99	47,19	1	148,99	47,19	1,32	196,67	62,29	

- Section 1 poutres 1 et 3 -

charges \ diagonale	coefficient de répartition	M (Nm)	T (t)	S C M D	M Majoré	T Majoré	coefficient de pondération	M Maj.-pond	T Maj.-pond	
C. P	0,333	100,3	29,73	1	100,3	29,73	1,32	132,40	39,24	
C. C. P	1/3	17,42	5,16	1	17,42	5,16	1,32	22,99	6,81	
Surcharges A	1 voie	0,611	94,75	29,96	1	94,75	29,96	1,6	150,648	47,94
	2 voies	0,333	102,73	32,36	1	102,73	32,36	1,6	164,37	52
Surcharges Bc	1 convoi	0,715	102,70	34,23	1,124	115,43	38,47	1,6	154,69	61,55
	2 convois	0,541	142,47	47,49	1,124	160,14	53,35	1,6	256,21	85,41
Surcharges Bt	1 tandem	0,666	56,10	18,70	1,124	63,06	21,02	1,6	100,90	33,63
	2 tandem	0,472	79,52	26,51	1,124	89,35	29,80	1,6	143,01	47,68
Mc 120	0,59	157,44	51,80	1,114	175,38	57,71	1,32	231,51	76,17	
Trottoirs	1 trottoir	0,958	5,82	1,94	1	5,82	1,94	1,6	9,31	3,10
	2 trottoirs	0,333	4,01	1,35	1	4,01	1,35	1,6	6,42	2,16
Système D.	0,402	179,68	56,9	1	179,68	56,9	1,32	237,18	66,9	

## Section - 2- poutre . 2-

charges \ diagonale	coefficient répartition	M (tm)	T (t)	S CMD	M Majoré	T Majoré	coefficient de pondération	M Maj.-pond	T Maj.-pond
C. P	1/3	178,13	22,29	1	178,37	22,29	1,32	235,44	22,43
C.C. P	1/3	30,83	3,87	1	30,83	3,87	1,32	40,70	5,11
surcharges A	1 voie	91,35	15,38	1	91,35	15,38	1,6	146,16	24,00
	2 voies	182,7	30,75	1	182,7	30,75	1,6	292,32	49,21
surcharges Bc	1 convoi	81,36	13,56	1,124	91,45	15,24	1,6	146,32	24,39
	2 convois	149,13	26,86	1,124	167,63	27,94	1,6	268,20	44,71
surcharges Bt	1 tandem	49,76	8,29	1,124	55,93	9,32	1,6	89,49	14,91
	2 tandem	99,52	16,59	1,124	111,86	18,64	1,6	178,98	29,83
M <sub>c</sub> 120	1/3	161,07	25,60	1,114	179,43	28,52	1,32	236,85	37,65
trottoirs	1 <sup>1</sup> trottoir	3,60	0,6	1	3,60	0,6	1,6	5,76	0,96
	2 trottoirs	7,2	1,2	1	7,2	1,2	1,6	11,52	1,92
Systeme D.	1/3	264,9	39,19	1	264,9	264,9	1,32	349,65	349,66

## Section - 2- poutres 1 et 3 -

charges \ diagonale	coefficient répartition	M(tm)	T(t)	S CMD	M Majoré	T Majoré	coefficient de pondération	M Maj.-pond	T Maj.-pond	
C. P.	1/3	178,37	22,29	1	178,37	22,29	1,32	235,44	22,43	
..										
C. C. P	1/3	30,83	3,87	1	30,83	3,87	1,32	40,70	5,11	
surcharges A	1 voie	0,611	91,35	15,38	1	91,35	15,38	1,6	146,16	24,60
	2 voies	0,333	182,7	30,75	1	182,7	30,75	1,6	292,32	49,21
surcharges Bc	1 convoi	0,715	81,36	13,56	1,124	91,45	15,24	1,6	146,32	24,39
	2 convois	0,541	149,13	26,86	1,124	167,63	27,94	1,6	268,20	44,71
surcharges Bt	1 tandem	0,666	49,76	8,29	1,124	55,93	9,32	1,6	89,49	14,91
	2 tandem	0,472	99,52	16,59	1,124	111,86	18,64	1,6	178,98	29,83
M <sub>c</sub> 120	0,59	161,07	25,60	1,114	179,43	28,52	1,32	236,85	37,65	
trottoirs	1 <sup>1</sup> trottoir	0,958	3,60	0,6	1	3,60	0,6	1,6	5,76	0,96
	2 trottoirs	0,333	7,2	1,2	1	7,2	1,2	1,6	11,52	1,92
Systeme D	0,402	264,9	39,19	1	264,9	264,9	1,32	349,65	349,66	

## Section. 3. Poutre. 2.

charges	coefficient répartition	M (tm)	T (t)	S C.M.D	M Majoré	T Majoré	coefficient pondération	M Maj.-pond	T Maj.-pond	
C.P	1/3	234,11	14,86	1	234,11	14,86	1,32	309,02	19,62	
C.C.P	1/3	40,64	2,58	1	40,64	2,58	1,32	53,64	3,41	
Surcharge A	1 voie	1/3	119,92	11,32	1	119,92	11,32	1,6	191,88	18,12
	2 voies	1/3	239,85	22,65	1	239,85	22,65	1,6	383,76	36,25
Surcharges Bc	1 convoi	1/3	104,76	11,16	1,124	117,75	12,54	1,6	188,40	20,07
	2 convois	1/3	192,06	20,46	1,124	215,88	23,00	1,6	345,40	36,80
Surcharges B(t)	1 tandem	1/3	65,04	7,23	1,124	73,10	8,12	1,6	116,97	13,00
	2 tandems	1/3	130,08	14,45	1,124	146,21	16,25	1,6	233,94	25,98
Mc 120	1/3	204,46	21,94	1,114	227,77	24,44	1,32	300,65	32,26	
trottoirs	trottoir	1/3	4,73	0,50	1	4,73	0,5	1,6	7,56	0,80
	2 trottoirs	1/3	9,45	1,00	1	9,45	1,0	1,6	15,12	1,6
Système D.	1/3	343,57	31,19	1	343,57	31,19	1,32	453,51	41,17	

## Section. 3. Poutres 1 et 3

charges	coefficient répartition	M (tm)	T (t)	S C M D	M Majoré	T Majoré	coefficient pondération	M Maj.-pond	T Maj.-pond	
C.P	1/3	234,11	14,89	1	234,11	14,89	1,32	309,02	19,62	
C.C.P	1/3	40,64	2,58	1	40,64	2,58	1,32	53,64	3,41	
Surcharge A	1 voie	0,611	219,82	20,76	1	219,82	20,76	1,6	351,71	33,22
	2 voies	0,333	239,84	22,65	1	239,84	22,65	1,6	383,75	36,21
Surcharge Bc	1 convoi	0,715	224,71	23,94	1,124	252,57	26,91	1,6	404,12	43,05
	2 convois	0,541	311,71	33,21	1,124	350,37	37,32	1,6	560,59	59,72
Surcharge B(t)	1 tandem	0,666	129,95	14,44	1,124	146,06	16,83	1,6	233,70	25,97
	2 tandems	0,472	184,19	20,47	1,124	207,03	23,00	1,6	331,25	36,81
Mc 120	0,59	361,89	38,83	1,114	403,15	43,26	1,32	532,16	57,10	
trottoirs	1 trottoir	0,958	13,55	1,44	1	13,55	1,44	1,6	21,68	2,30
	2 trottoirs	0,333	9,45	1	1	9,45	1	1,6	15,12	1,6
Système D	0,402	414,34	37,62	1	414,34	37,62	1,32	546,93	49,65	

## Section 4 - poutre - 2 -

charges	coefficient répartition	M(tm)	T(t)	S C.M.D.	M <sub>Majoré</sub>	T <sub>Majoré</sub>	coefficient de pondération	M <sub>Maj-pond</sub>	T <sub>Maj-pond</sub>
C. P	1/3	267,55	7,43	1	267,55	7,43	1,32	363,17	9,81
C. C. P	1/3	46,44	1,29	1	46,44	1,29	1,32	61,30	1,70
surcharges A	1 voie	137,1	9,01	1	137,1	9,01	1,6	219,36	14,42
	2 voies	274,2	18,02	1	274,2	18,02	1,6	438,72	28,83
surcharges Bc	1 Convoy	118,08	8,76	1,124	132,72	9,84	1,6	212,36	15,74
	2 convois	216,48	16,06	1,124	243,32	14,29	1,6	389,32	22,56
surcharges Bt	1 tandem	73,92	6,16	1,124	83,09	6,92	1,6	132,94	11,05
	2 tandem	147,84	12,32	1,124	166,17	13,85	1,6	265,88	22,16
Mc. 120	1/3	233,67	18,27	1,114	260,31	20,35	1,32	343,61	26,86
trottoirs	trottoir	5,40	0,45	1	5,40	0,45	1,6	8,64	0,72
	2 trottoirs	10,80	0,9	1	1,08	0,9	1,6	17,28	1,44
Systeme D	1/3	392,63	23,2	1	392,63	23,2	1,32	518,28	30,61

## Section 4 - poutres 1 et 3 -

charges.	coefficient répartition	M(tm)	T(t)	S C.M.D	M <sub>Majoré</sub>	T <sub>Majoré</sub>	coefficient de pondération	M <sub>Maj-pond</sub>	T <sub>Maj-pond</sub>	
C. P	1/3	267,55	7,43	1	267,55	7,43	1,32	363,17	9,81	
C. C. P	1/3	46,44	1,29	1	46,44	1,29	1,32	61,30	1,70	
surcharges A	1 voie	0,611	251,30	16,51	1	251,30	16,52	1,6	402,08	26,42
	2 voies	0,333	274,2	18,02	1	274,2	18,02	1,6	438,71	28,83
surcharges Bc	1 Convoy	0,715	253,28	18,79	1,124	284,72	21,12	1,6	455,55	33,79
	2 convois	0,541	351,35	26,07	1,124	394,91	29,30	1,6	631,96	46,88
surcharges Bt	1 tandem	0,666	147,69	12,31	1,124	166,01	13,83	1,6	266,61	22,13
	2 tandem	0,472	209,34	18,56	1,124	235,30	21,20	1,6	376,48	33,92
Mc 120	0,59	413,60	32,34	1,114	460,75	36,02	1,32	608,15	47,55	
trottoirs	1 trottoir	0,958	15,52	1,29	1	15,52	1,29	1,6	24,83	2,07
	2 trottoirs	0,833	10,50	0,90	1	10,8	0,90	1,6	17,28	1,44
Systeme D.	0,402	473,56	27,97	1	473,56	27,97	1,32	625,10	36,92	

## Section 5 - poutre 2-

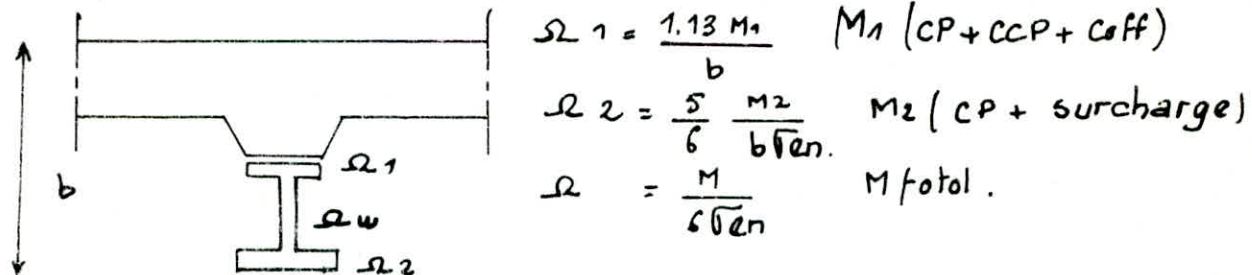
charges \ diagonale	Coefficient de répartition	M (Nm)	T (t)	S C M D	M Majoré	T Majoré	Coefficient de pondération	M Maj.-pond	T Maj.-pond
C. P	1/3	278,70	0	1	278,70	0	1,32	367,88	0
C. C. P	1/3	48,38	0	1	48,38	0	1,32	63,86	0
surcharges A- 1 voie	1/3	142,87	6,83	1	142,87	6,83	1,6	228,6	10,94
	2 voies	1/3	285,75	13,68	1	285,75	13,68	1,6	457,2
surcharges B-C 1 convoi	1/3	117,00	6,48	1,124	131,51	7,28	1,6	210,41	11,65
	2 convois	1/3	214,5	11,88	1,124	251,10	13,35	1,6	385,76
surcharges B-T 1 tandem	1/3	76,43	5,09	1,124	85,90	5,72	1,6	137,45	9,16
	2 tandem	1/3	152,85	10,19	1,124	171,81	11,45	1,6	274,59
MC 120	1/3	243,41	14,60	1,114	271,16	16,27	1,32	357,92	21,47
trottoirs 1 trottoir	1/3	5,63	0,38	1	5,63	0,38	1,6	9,00	0,60
	2 trottoirs	1/3	13,25	0,75	1	13,25	0,75	1,6	21,20
système D	1/3	409,03	15,2	1	409,03	15,2	1,32	539,92	20,058

## section 5 - poutre 1 et 3 -

charges \ diagonale	Coefficient de répartition	M (Nm)	T (t)	S C.M.D	M Majoré	T Majoré	Coefficient de pondération	M Maj.-pond	T Maj.-pond
C. P	1/3	278,70	0	1	278,70	0	1,32	367,88	0
C. C. P	1/3	48,38	0	1	48,38	0	1,32	63,86	0
surcharges A- 1 voie	0,611	261,99	12,53	1	261,99	12,53	1,6	419,02	20,06
	2 voies	1/3	295,75	13,68	1	295,75	13,68	1,6	457,19
surcharges B-C 1 convoi	0,715	250,97	13,90	1,124	292,08	15,62	1,6	451,34	25,00
	2 convois	0,541	348,13	19,28	1,124	391,30	21,67	1,6	626,08
surcharges B-T 1 tandem.	0,666	152,70	10,18	1,124	171,64	11,44	1,6	274,62	18,30
	2 tandem	0,472	216,44	14,42	1,124	243,28	16,21	1,6	389,25
MC 120	0,59	430,83	25,85	1,114	479,94	28,90	1,32	635,53	38,02
trottoirs 1 trottoir	0,958	16,17	1,08	1	16,17	1,08	1,6	25,87	1,72
	2 trottoirs	0,333	13,25	0,75	1	13,25	0,75	1,6	21,20
système D.	0,402	493,29	18,83	1	493,29	15,33	1,32	651,15	24,19

## Etude grossière d'une section mixte :

approximation de la section mixte de base par les formules de prédimensionnement. d'après le CIOLINA



$$\text{Moment fléchissant dû au coffrage : } M_{\text{cof.}} = \frac{9\ell^2}{8} = 78,75 \text{ tm.}$$

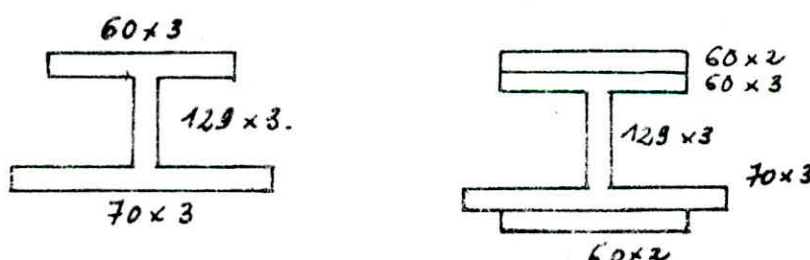
section	0	1	2	3	4	5
M	0	28,35	59,40	66,15	75,60	78,75

Section supérieur ( $CP + CCP + cof.$ ).

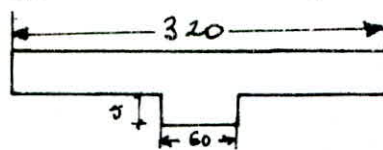
section	0	1	2	3	4	5
$M_1 (\text{tm})$	0	193,74	326,59	429,81	490,07	510,49
Theorique	0	54,07	96,10	126,19	144,21	150,22
réelle	1900	180	180	300	300	300

Section inférieure ( $CP + \text{max surcharge} + \text{trottoir}$ )  
surcharge maximum donnée par système D.

section	0	1	2	3	4	5
$M_2 (\text{tm})$	0	392,57	697,88	909,59	1039,57	1392,99
Theorique	0	85,19	151,45	197,39	225,60	300,105
réelle	210	210	210	330	330	330



Section en béton armé.



$$y_{GB} = 10,56 \text{ cm.}$$

$$I_b = 258734,45 \text{ cm}^4.$$

$$A_{\text{beton}} = 6700 \text{ cm}^2$$

Caractéristique de l'acier au niveau des sections 0, 1, 2.

$$y_{Gd} = 64,95 \text{ cm.} \quad I_d = 2230759,1 \text{ cm}^4. \quad A_{\text{acier}} = 777 \text{ cm}^2$$

Détermination des caractéristiques de la section mixte

$$a_i = \frac{A_b}{M_{\text{cof.}} E_{\text{Ac}}} \quad , \quad b_i = \frac{A_{\text{Ac}}}{E_{\text{Ac}}}$$

$$C = 160 - 10,56 - 64,95 \\ = 84,49$$

$n_i$	$a_i$	$b_i$	$V_{ba'}$	$v_i$	$v_s$
$\infty$	0	94,49	95,05	64,95	70,05
18	27,37	57,12	67,68	92,32	42,68
15	30,84	53,65	64,21	95,79	39,21
6	49,82	34,67	45,23	114,77	20,23

$$I \text{ mixte } IA + \frac{IB}{n} + C^2 \frac{Ab + Aa}{n \sum Ai} \quad \sum Ai = Aa + \frac{Ab}{n}$$

$n$	$\infty$	18	15	6
$I \text{ mixte}$	2230759	4041647,7	4272662,2	5544668

Calcul du moment statique pour le béton :

$$Wb15 = b15 \frac{Ab}{15} = 53,65 \frac{6700}{15} = 23963,67 \text{ cm}^3$$

Vérification de la section (2) (plus sollicitée que la section (0,1))

$$\gamma_{1b} = 56 \text{ kg/cm}^2$$

$$n = 15 \quad \beta = \frac{B15}{AB15} = 0,365$$

coef de pondération retrait = 1,32

" " température = 1,6

$$\gamma_b = \gamma_{1b} \left( 1 - \beta - w \frac{v_b}{I15} \right) = 15,89 \text{ kg/m}^2$$

$$\gamma_s = \gamma_{1b} \left( -n\beta - n w \frac{v_s}{I15} \right) = -491,8 \text{ kg/m}^2$$

$$\gamma_i = \gamma_{1b} \left( -n\beta + n \frac{w b v_i}{I15} \right) = 144,7 \text{ kg/m}^2$$

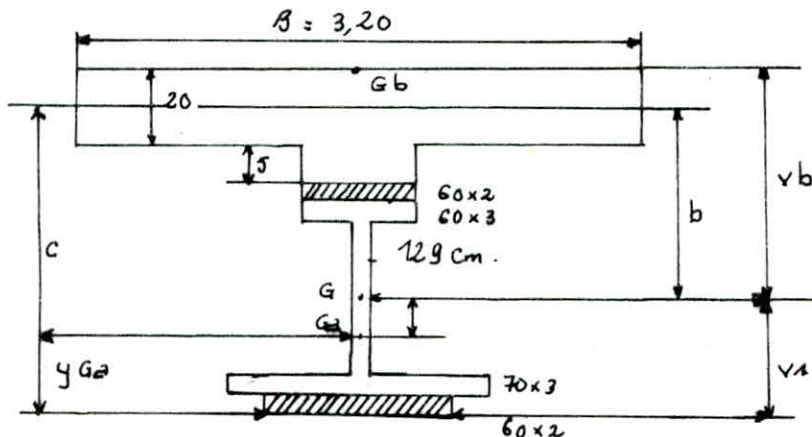
Tableau des caractéristiques de la section

$n$	$\infty$	18	15	6
$I (\text{cm}^4)$	2230759	4041647,7	4272662,2	5544668
$Vb (\text{cm})$	95,05	67,68	64,21	45,23
$Vs (\text{cm})$	70,05	42,69	39,21	20,23
$v_i (\text{cm})$	64,95	92,32	95,79	114,77
$\frac{Vb}{I} (\text{cm}^3)$	23469,32	59717,02	66542,07	122580,28
$n \frac{I}{Vb} (\text{cm}^3)$	$\infty$	1074906,36	999130,15	735529,69
$I/Vs$	31843,24	94696,53	109691,48	274081,46
$I/Vi$	34345,6	43778,6	44604,75	49311,12
$A$			777	
$B$			6700	
$w$			23963,67	

charge	$n$	$M (\text{tm})$	$\gamma_b$	$\gamma_s$	$\gamma_i$
CP	$\infty$	235,45	0	-739,36	695,58
CCP	18	4,07	-3,79	-42,98	92,97
Retrait	15		20,91	-649,17	191,0
temp:	15		8,21	-262,3	97,17
surcharge	6	265,52	-36,10	-96,98	549,80
TOTAL.			-11,37	1790,68	1596,47

## La section (2) passe.

Vérification à la résistance des sections (3.4.5.)  
soit le PRS avec les semelles additionnelles



Caractéristique de la section (3).

$$\begin{aligned} y_{Ga} &= 67,55 \text{ cm} & I_a &= 3358169,9 \text{ cm}^4 & A_a &= 1017 \text{ cm}^2 \\ y_{Gb} &= 10,56 \text{ cm} & I_b &= 258734,45 \text{ cm}^4 & A_b &= 6700 \text{ cm}^2 \\ c &= 160 - 10,56 - 67,55 = 81,89 \text{ cm} \end{aligned}$$

$M_i$	$a_i$	$b_i$	$v_{bi}$	$v_i$	$v_s$	$I_{mixte}$
$\infty$	0	81,89	92,45	67,55	67,51	3358169,9
18	21,94	59,25	70,51	99,49	45,51	5189161,34
15	24,99	56,90	67,46	92,54	42,46	545663,1
6	39,03	39,03	49,59	110,41	24,59	6970575,7

$n$	$\infty$	18	15	6
$\frac{I}{v_b}$	36324,77	73746,44	80887,38	140564,13
$n \frac{I}{v_b}$	$\infty$	1827435,9	1218810,7	843384,78
$\frac{I}{v_s}$	49781,54	114257,55	128513,02	293471,96
$\frac{I}{v_i}$	49713,94	58105,50	59965,45	63133,55
$w$			25415,33	

Differentes valeurs de contraintes au niveau de la section (5).

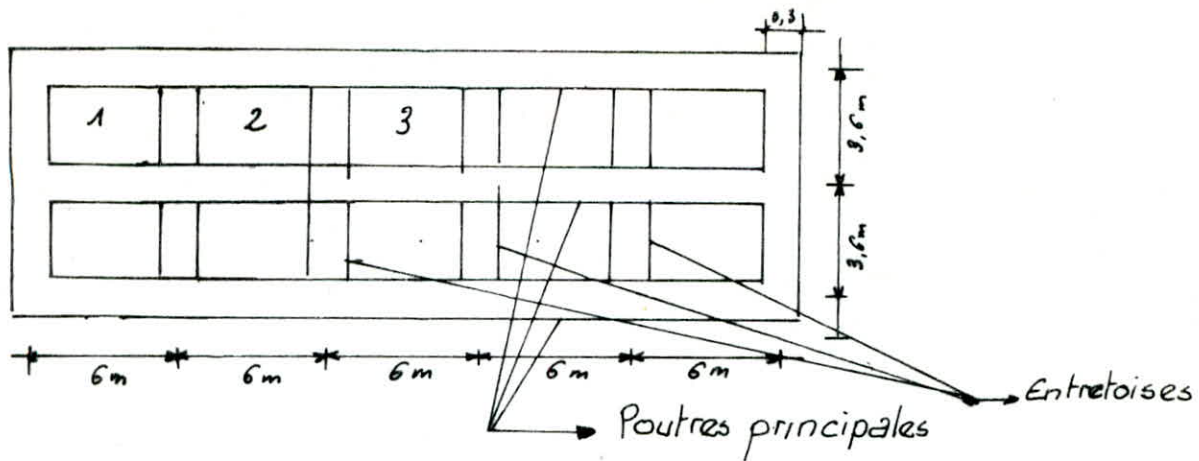
charge	$n$	$M (\text{Nm})$	$\gamma_b (\text{kg/m}^3)$	$\gamma_s \text{ kg/m}^2$	$\gamma_i \text{ kg/m}^2$
C P	$\infty$	367,98	0	-939,90	740,00
C C P	18	63,96	-494	-55,99	-109,9
retrait	15		29,14	-557,46	139,73
température	15		11,37	-225,23	56,459
surcharge	6	677,09	-90,27	-239,83	1072,36
TOTAL			-45,57	1816,41	2118,44
$\gamma$ admissible			160	2400	2400

La section (5) passe à 12 %

Les contraintes Maximums sont au niveau de la semelle inférieure

# 32

## Voilement des âmes de poutres.



étude du panneau N°1

calcul des efforts, sous les différentes types de charge et surcharge.  
a) charge permanente.  $CP = q = 7,432 \text{ t/m}^2$ .

$$M = q \frac{l}{2} x - q \frac{x^2}{2} \quad x = 0,3 + \frac{6}{2} = 3,3 \text{ m.}$$

$$T = q \frac{l}{2} - q x \quad (\text{distance considérée jusqu'au centre du Panneau}) \quad l = 30 \text{ m.}$$

b) Complément de charge permanente CCP.

$$q = 1,290 \text{ t/m}^2 \quad M = q \frac{l}{2} x - q \frac{x^2}{2} \quad x = 3,3 \text{ m.}$$

$$T = q \frac{l}{2} - q x .$$

surcharge de trottoir.

$$q = 0,15 \text{ t/m}^2 \quad M = q \frac{l}{2} x - q \frac{x^2}{2} \quad T = q \frac{l}{2} - q x \quad x = 3,3 \text{ m.}$$

Surcharge BC.

le calcul des efforts dûs aux surcharge BC à 3,3 m seront déterminés par interpolation (car on connaît les efforts dans les sections (1.2.3.4.5.)

même chose pour les panneaux (2) et (3)

sauf pour les panneaux (2)  $x = 9,3 \text{ m.}$

(3)  $x = 15,3 \text{ m.}$

Tableau résumant les différents efforts.

panneau 1.	charge	$M (\text{tm})$	$T (\text{t})$	répartition	coeff. dyn. $f'$	pondération	$M_{\text{maj}} \cdot \text{pond}$	$T_{\text{maj}} \cdot \text{pond}$
	CP	327,416	86,95	1/3	1	1,32	144,05	38,25
	CCP	56,93	15,093	1/3	1	1,32	25,005	6,64
	BC	291,74	86,46	0,541	1,124	1,6	274,11	94,12
	D	491,32	160,75	0,402	1	1,32	265	85,298
	trottoir	6,608	1,755	0,958	1	1,6	10,13	2,69

Panneaux	charge	M (tm)	T (t)	répartition p	coeff. dyn p	pondération	M. Maj - Pond	T. maj - pond
	CP	835,76	2,23	1/3	1	1,32	367,73	0,980
	CCP	145,07	-0,397	1/3	1	1,32	63,83	0,170
	BC	642,45	34,45	0,541	1,124	1,6	625,06	33,51
	D	1211,15	43,04	0,402	1	1,32	646,4	22,93
	Trottoir	16,968	-0,045	0,958	1	1,6	25,85	0,069

### Vérification des contraintes

Panneau 1	n	M (tm)	f <sub>b</sub> kg/cm <sup>2</sup>	f <sub>s</sub> kg/cm <sup>2</sup>	f <sub>i</sub> kg/cm <sup>2</sup>
	CP	∞	144,05	0	-452,34
	CCP	19	25,006	-2,32	-26,4
	Retrait	15		20,31	-649,17
	Δt	15		8,21	-262,3
	surch <sub>BC</sub> + trottoir	6	284,24	-34,53	-92,67
	Total			-9,33	1492,89
	f <sub>i</sub> admissible		2400	2400	2400

Panneau 2	C P	∞	367,73	0	-739,59	739,69
	CCP	18	63,83	-4,8	-55,96	109,85
	retrait	15		28,14	-557,46	139,73
	Δt	15		11,37	-225,23	56,458
	surch <sub>BC</sub> + trottoir	6	672,24	-69	-205,29	921,77
	Total			-34,29	-1792,43	1967,6
	f <sub>i</sub> admissible		2400	2400	2400	2400

### Vérification du voilement.

Panneaux	1	2	3
a (m)	6	6	6
b (m)	1,29	1,29	1,29
c (m)	0,03	0,03	0,03
$\alpha = \frac{a}{b}; a > b$	4,65	4,65	4,66
K <sub>R</sub>	5,52	5,52	5,52
$\Sigma r = \frac{\pi^2 E}{12(1-0.2)} \left(\frac{c}{b}\right)^2$	1026,501	1026,501	1026,501
$\Sigma c = f_c \cdot K_2$	5666,28	5666,28	5666,28
$\Sigma$	316,33	194,21	80,20
$(G/8)^2$	$(3,12) \cdot 10^{-3}$	$1,17 \cdot 10^{-3}$	$0,2 \cdot 10^{-3}$
$\Sigma i$	1294,31	1836,91	2110,52
$\Sigma s$	-1487,08	-1665,68	1814,28
$\psi = \frac{\alpha c}{f_s} \frac{\text{traction}}{\text{compression}}$	-0,8636	-1,1027	-1,163
$S \Sigma$	1,057	1	1
$n \Sigma$	20,50	9,3,9	23,5
$(\Sigma = f_c \cdot K_2)$	21043,27	24533,37	24533,37
$\Sigma = \max(f_s, f_i)$	1487,08	1836,91	2110,52
$(5 \Sigma \times \frac{c}{G})^2$	$5,54 \cdot 10^{-3}$	$5,6 \cdot 10^{-3}$	$7,4 \cdot 10^{-3}$
$(5b \cdot \frac{c}{G})^2 + (\frac{c}{G})^2$	$8,66 \cdot 10^{-4} < 1,8$	$6,77 \cdot 10^{-3} < 1,8$	$7,6 \cdot 10^{-3} < 1,8$
voilement	pas de voilement	pas de voilement	pas de voilement

$$S\Gamma = \begin{cases} 1,8 & \text{si } \psi = 1 \\ 1,4 + 0,4 \psi & \text{si } 1 \geq \psi \geq -1 \\ 1 & \text{si } \psi \leq -1 \end{cases}$$

$$K\Gamma = (1+\psi) K\Gamma(\psi=0) - \psi K\Gamma(\psi=-1) + 10\psi(1+\psi).$$

$$K\Gamma_{\alpha>1} = (\psi=0) = \frac{9,4}{\psi+1,1} ; K\Gamma(\psi=-1) = 23,9 \text{ si } \alpha > 0,667.$$

On doit vérifier que  $(S\Gamma \times \frac{\sigma}{\sigma_x})^2 + \left(\frac{\sigma}{\sigma_x}\right)^2 \leq 1,8$  méthode de raidisseur rigide.  
vérification des contraintes de cisaillement dans les poutres:

On considérera le cas le plus défavorable dans les poutres de rive, poutre 1 ou 3, et on calculera pour chaque section (0, 1, 2, 3, 4, 5) de cette poutre, l'effort tranchant résultant (cp + CCP + surch. max). surcharge max donnée par le système D + surch. trottoir.

Section	0	1	2	3	4	5
$T(t)$	98,25	85,41	72,56	59,72	47,55	38,02.

notre profile à une section d'âme égale à :

$$A = 3 \times 129 = 387,00 \text{ cm}^2.$$

$$\text{on doit vérifier que } \bar{\sigma} = \frac{T}{A_{\text{âme}}} \leq \bar{\sigma} = \frac{\sigma_{\text{en}}}{1,54}$$

Section	0	1	2	3	4	5
$\sigma_{\text{bar}}$	253,78	220,7	187,49	154,32	122,87	98,24
$\bar{\sigma}$	155,8	155,8	155,8	155,8	155,8	155,8

# Déformation

## Calcul de la flèche

- On considérera la poutre de rive 1 ou 3 dont les efforts non majeurs et non pondérés sont les plus défavorables.
- L'inertie de ces poutres est variable c'est pourquoi on calcule la déformation à l'aide de l'intégral de "MOHR"

### a) charge permanente C.P

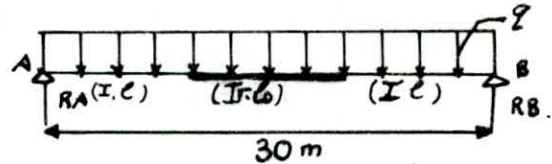
$$L = \ell_0 + 2\ell$$

$$\ell = \alpha L = 0,2666 \times 30 = 8$$

$$\ell_0 = \beta L = 0,4666 \times 30 = 14$$

$$\frac{L}{2} = (\alpha + \beta)L = L = 0,5L$$

$$R_A = R_B = \frac{qL}{2}; \quad M(x) = q \frac{L}{2}x - q \frac{x^2}{2} = \frac{q}{2}x(L-x)$$



On applique une charge unitaire au milieu de la travée

$$\bar{R}_A = \bar{R}_B = \frac{1}{2} \quad (\bar{P}=1) \rightarrow \bar{M}(x) = \frac{1}{2}x \quad (x < \frac{L}{2})$$

Le chargement est symétrique donc :

$$\frac{s_0}{2} = \int_0^{L/2} \frac{\bar{M}\bar{M}}{EI_x} dx = \int_0^{\frac{L}{2}} \frac{1}{EI_x} \frac{q^2}{2} (L-x) \cdot \frac{1}{2}x dx + \int_{\frac{L}{2}}^{L+\frac{L}{2}} \frac{1}{EI_x} \frac{q^2}{2} (L-x) \cdot \frac{1}{2}x dx.$$

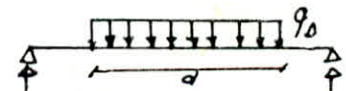
$$\Rightarrow s = \frac{5qL^4}{384EI_n} + \frac{\alpha^3 qL^4}{24EI_n} [I_n - I] = \frac{5qL^4}{384EI_n} + 2,510^{-3} \frac{qL^4}{EI_n} [I_n - I]$$

$$\text{si } I_x = I \text{ on retrouve la formule habituelle } s = \frac{5qL^4}{384EI_n}$$

### 2 - Surcharge D.

Le convoi exceptionnel D donne le moment max donc la flèche max

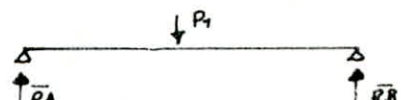
$$q_0 = \frac{s_0 \cdot S}{d} = \frac{240 \times 0,402}{18,6} = 5,18 \text{ kN/m.}$$



$$R_A = R_B = q_0 \frac{d}{2}, \quad M(x) = q_0 \frac{d}{2}x - q_0 \frac{1}{2}(x - (L-d))^2 \quad \forall x > \frac{L}{2} - \frac{d}{2}$$

Soit la charge unitaire placée au milieu

$$\bar{R}_A = \bar{R}_B = \frac{1}{2} \Rightarrow \bar{M}(x) = \frac{1}{2}x \quad (\forall x < \frac{L}{2})$$



En raison de la symétrie on a.

$$\frac{s}{2} = \frac{q_0}{4EI_x} \int_0^{\frac{L}{2}} [x^2 - x^2 + x(L-d) - (\frac{L-d}{2})^2] x dx + \frac{q_0}{4EI_x} \int_{\frac{L}{2}}^{L+\frac{L}{2}} [\frac{L}{2}x - x^2 + x(L-d) - (\frac{L-d}{2})^2] x dx$$

$$\Rightarrow s = \frac{q_0}{384EI_x} \left[ \frac{1+I_x-I}{I} \right] [12L^3d - L^4 - 6d^2L^2]$$

Résultat sous forme de Tableau.

	$M_{max}$ $\text{kg}/\text{m}^2$	$I \text{ cm}^4$	$I_r \text{ cm}^4$	$E d_r / \text{cm}^2$	$L (\text{cm})$	$q \text{ kg}/\text{m}^2$	$S (\text{cm})$
C P	278.700	2230759	3358161.9	$21 \cdot 10^5$	3000	/	2,07
C. C. P	48370	9041647,7	5199861.34	"	"	429.9	0.437
surcharge trottoir	16166	5544668	6970575.7	"	"	143.69	0.108
Systeme D		5544668	6970575.7	"	"	5190	3,17
Effet de retrait	20129482 Kg on	/	3456663,7	"	"	/	0,98

Pour le retrait  $M_{retrait} = N \cdot w \cdot \bar{b}_1 b$  avec  $N = 15; \bar{b}_1 b = 56 \text{ kg/cm}^2$   
 $w = 23963,67 \text{ cm}^3$  ( $M_e$  statique du béton)

$$\text{donc la flèche total } \frac{f}{total} = \frac{S}{CP} + \frac{S}{CCP} + \frac{S}{D} + \frac{f}{retrait} = \underline{\underline{6.765 \text{ cm}}}$$

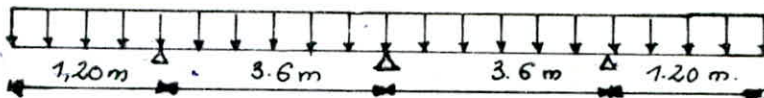
remarque : lors de l'usinage de la poutre on doit prévoir une contre flèche de 6,8 cm = 68 mm.

**ENTRETIENS**

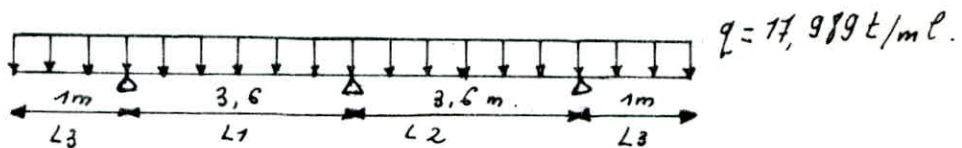
## Les entretoises d'about

- L'entretoise d'about est une poutre continue reposant sur 3 appuis fixes, elle est soumise aux efforts ramenés par les vérins, car les plus défavorable lors du réglage du tablier et lors du changement des appareils d'appuis après leur vieillissement et au poids propre du tablier.

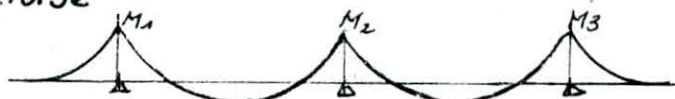
$$q = qp + CCP = 8,722 \text{ t/m}^2$$



- Longueur total de l'entretoise est de 7,20 m.
- poids propre du tablier/m<sup>2</sup> = 8,722 t/m<sup>2</sup>.
- poids repris par un fil d'appuis  $R = \frac{8,722 \times 30}{1,32} = 172,7 \text{ t}$ .
- charge unitaire répartie transversalement :  $q = \frac{172,7}{(7,2) + (2 \times 1,20)} = 17,989 \text{ t/m}^2$ .



La partie résistante du trottoir est de 1m elle est supposée continue avec l'entretoise



$$- M_1 = M_3 = - \frac{q \ell^2}{2} = - 17,989 \times \frac{1,0^2}{2} = - 9 \text{ t.m.}$$

nous déterminons  $M_2$  par l'équation de 3 moments.

$$\ell \cdot M_1 + 2(\ell_1 + \ell_2) M_2 + \ell_2 M_3 = - \frac{6}{24} \left( -q \ell^3 - \frac{q \ell^3}{2} \right) \Rightarrow M_2 = 49,28 \text{ t.m.}$$

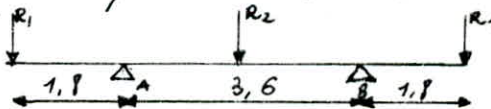
Calcul des réactions des poutres sur les entretoises.

$$R_1 = R_3 = - \frac{M_1 + M_2}{\ell} + q \ell_3 + q \frac{\ell}{2} = 39,18 \text{ t.}$$

$$R_2 = 2 \left( \frac{M_1 - M_2}{\ell_1} \right) + q \frac{\ell_1}{2} + q \frac{\ell}{2} = 2 \left( \frac{M_3 - M_2}{\ell} \right) + q \ell = 87,138 \text{ t.}$$

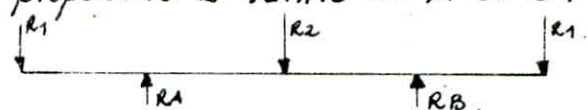
verification: Il faut que  $E \ell_i = q \ell \Rightarrow 2 \times 39,18 = 17,989 \times 3,2 = 165,498$ .

entretoise d'about.



Pour le réglage du tablier nous proposons 2 vérins en A et B.

$$R_A = R_B = \frac{R_1 + R_2 + R_3}{2} = 82,74 \text{ t.}$$



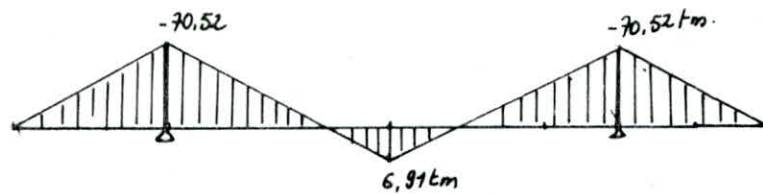
calcul des moments en A et B.

$$M_A = M_B = - R_1 \times 1,80 = - 70,52 \text{ t.m.}$$

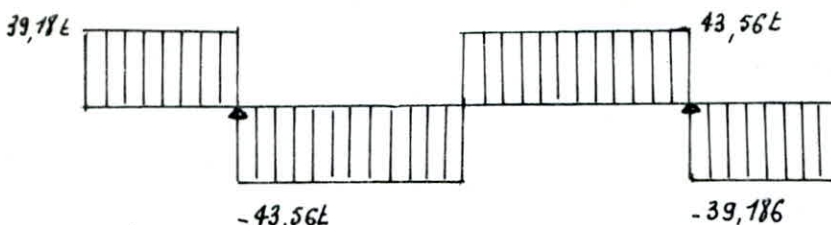
calcul du moment à mi travée :

$$M_E = - R_1 \times 3,60 + R_3 \times 1,80 = 6,91 \text{ t.m.}$$

## Diagramme du moment fléchissant.



## Diagramme de l'effort tranchant:



### choix et vérification du profil:

nous considérons un profil différent que celui des entretoises intermédiaires. soit semelles inférieur et supérieur identiques nous prenons un HEB 450.

### caractéristique du profil HEB 450:

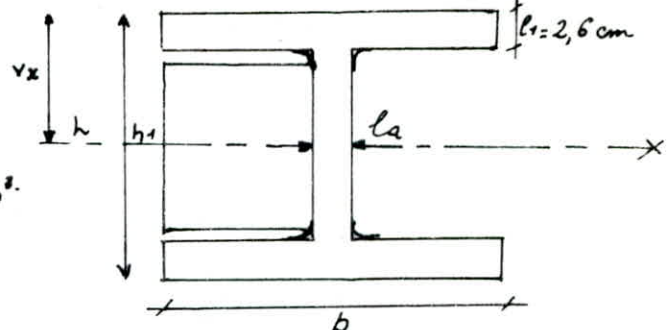
$$\begin{aligned} h &= 45 \text{ cm} & h_1 &= 23,4 \text{ cm} \\ b &= 30 \text{ cm} & C_A &= 2,6 \text{ cm} \\ l_a &= 1,4 \text{ cm} & W_x &= \frac{I_x}{V_x} = 3550 \text{ cm}^3 \\ A &= 218 \text{ cm}^2 & & \end{aligned}$$

### vérification à la résistance:

$$M_{\max} = 70,52 \text{ t.m}$$

$$b_f = \frac{M_{\max}}{W} = \frac{7052000}{3550} = 19,96,47 < b_a = 2400 \quad \text{vérifier.}$$

$$G = \frac{T_{\max}}{(h - e_f) \times l_a} = \frac{43560}{39,8 \times 1,4} = 781,76 \text{ kg/cm}^2 < G = \frac{5}{1,54} = 1558,4 \quad \text{vérifier.}$$



Raidisseur: nous prévoyons des raidisseurs aux point d'application. des vairins qui contreront les réactions pour cela nous utilisons la théorie du fascicule 61 titre II Art. 18 « conception et calcul des ponts et construction métallique en acier ». Ces raidisseurs verticaux sont appelés aussi raidisseur principaux. ils sont définis par une inertie  $J$  et une sections  $\Omega$ .

$$\gamma = \frac{E J}{b D} \quad (\text{ou } J = 0,092 b t^3 \Omega) \quad J: \text{inertie du raidisseur.}$$

$D$ : inertie de  $l_a$ .

soit le raidisseur de section  $\Omega = 14,3 \times 1 = 14,3 \text{ cm}^2$

$$S = \frac{\Omega}{b t} = \frac{14,3}{39,8 \times 1,4} = 0,256 \quad (\text{section relative})$$

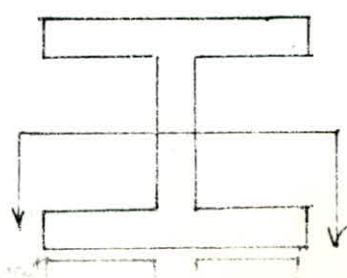
$$J = 0,092 b t^3 \Omega \Rightarrow \gamma = \frac{J}{0,092 b t^3} \quad \text{avec } J = 2 \left( \frac{1 \times 14,3}{3} \right)^3 = 1949,47 \text{ cm}^4$$

$$\gamma = \frac{J}{0,092 b t^3} = \frac{1949,47}{0,092 \times 39,8 \times 1,4} = 532,40$$

section minimale imposée d'après tableau titre II fasc 61.

$$\text{et de } \gamma_{\min} = 0,2 \left( \frac{b}{50 t} \right)^3 = 0,2 \left( \frac{39,8}{50 \times 1} \right)^3 = 6,10087 \text{ donc la}$$

section choisie est convenable.

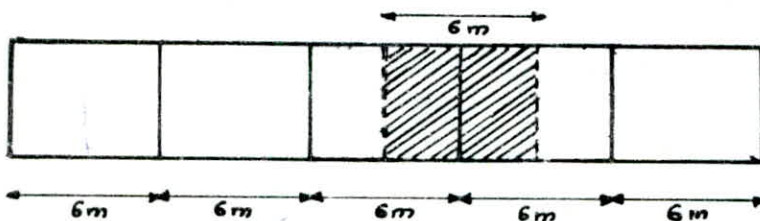


## Entretaises intermédiaires.

Le rôle des entretaises est double. Elles doivent d'une part garantir l'inéformabilité du contour de la section et d'autre part assurer la liaison entre les différents éléments de l'ouvrage.

La dalle ne repose pas sur les entretaises intermédiaires qui doivent résister aux efforts de répartition qui résultent en leur noeud pour avoir des effets les plus défavorables.

Les charges et surcharges doivent être placées longitudinalement dans la position la plus défavorable à l'aide du tracé de ligne d'influence de réaction.



a) charge permanente plus complément de charge permanente.

$$CP + CCP = 7,432 + 1,29 = 8,722 \text{ t/m}.$$

$$q = \frac{8,722}{10} = 0,8722 \text{ t/m}^2 = 872,2 \text{ kg/cm}^2$$

soit  $R$  la réaction qui revient à l'entretaise  $R = q\ell$ .

b) surcharge A:

$$A = 951,25 \text{ kg/cm}^2 \quad R_{\max} = A \cdot \ell \quad \text{avec } \ell = 6 \text{ m.}$$

c) Trottoir :

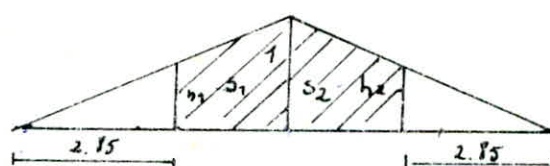
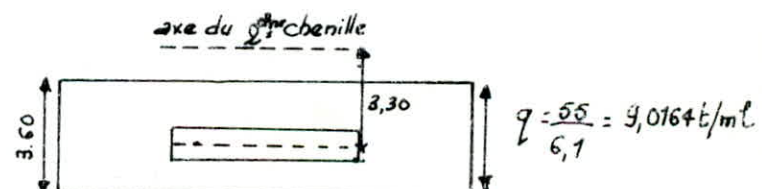
$$q = 150 \text{ kg/m}^2 \quad R_{\max} = q\ell.$$

d) surcharge Mc 120 :

$$h_1 = h_2 = \frac{2,85 \times 1}{6} = 0,4916$$

$$R_{\max} = q \times (s_1 + s_2)$$

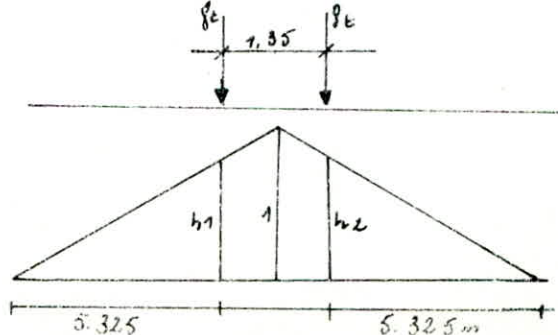
$$s_1 + s_2 = 2,5 \left[ 2 \left( 1 + 0,4916 \times 3,05 \right) \right] = 4,55$$



e) surcharge Bt:

$$h_1 = h_2 = \frac{5,325 \times 1}{6} = 0,8875$$

$$R_{\max} = \Sigma q \cdot h$$

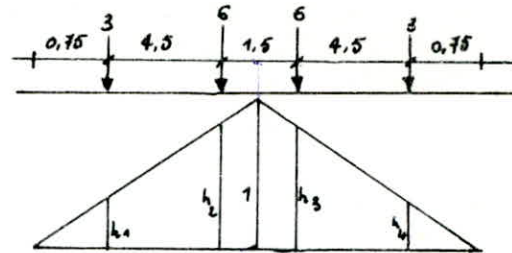


### f) Surcharge BC:

$$h_1 = h_4 = \frac{0,75 \times 1}{6} = 0,125$$

$$h_2 = h_3 = \frac{5,25 \times 1}{6} = 0,875$$

$$R_{\max} = \sum P_i \cdot h_i$$



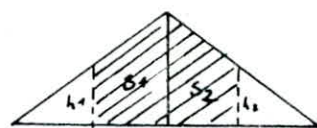
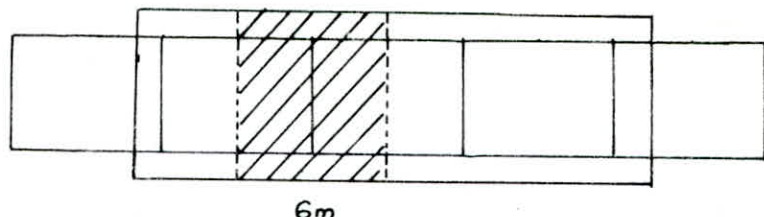
### g) Système D.

$$q = 12,903 \text{ kN/m}$$

$$h_1 = h_2 = \frac{3}{6} = 0,5$$

$$R_{\max} = q(S_1 + S_2)$$

$$S_1 + S_2 = 4,5.$$



### Résultats:

charge réaction	CP + CCP	A	brettoirs.	MC 120	Bt	Bc	D
$R_{\max}$	5,233	5.707	0,9	41,021	14,2	11,25	58,06

### répartition transversale:

La répartition transversale se fait suivant la méthode de COURBON, on détermine le coefficient d'influence par graphique que nous allons présenter par l'effort tranchant et le moment fléchissant.

Calcul des réactions: elle est donnée par COURBON.

$$R_i = \frac{P}{n} \left[ 1 + \epsilon \left( \frac{n+1-2i}{n-1} \right) \frac{\alpha}{N} \right]$$

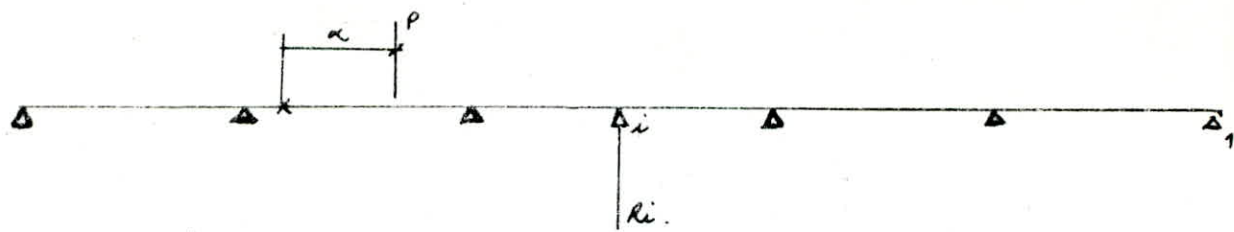
$$R_i = \text{Réaction } i$$

$$n = \text{nombre de poutre}$$

$$P = \text{charge située } \alpha / \text{origine } O.$$

$$N =$$

Dans notre cas, nous avons un pont à 3 poutres sous chaussée.



$R_i$  = Réaction i

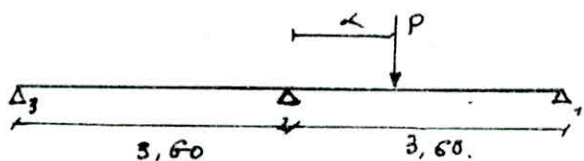
N = Nombre de poutre = 3.

P = charge située à  $\alpha$  de l'origine O.

N = de poutres = 3, 60 m.

dans notre cas nous avons un pont à 3 poutres sous chaussées.

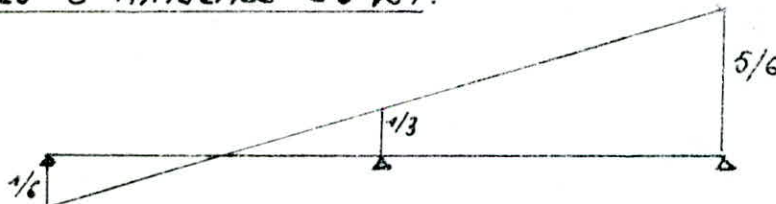
### - Gradié des Lignes d'influence de réaction $R_1, R_2, R_3$



origine en 2.

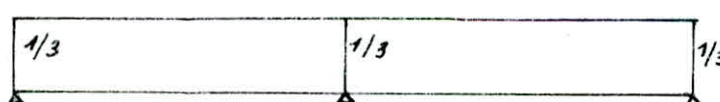
$$\begin{cases} R_1 = P/3 \left(1 + \frac{3}{2} \frac{\alpha}{N}\right) \\ R_2 = P/3 \\ R_3 = P/3 \left[1 - \frac{3}{2} \frac{\alpha}{N}\right] \end{cases}$$

#### a) Lignes d'influence de $R_1$ .



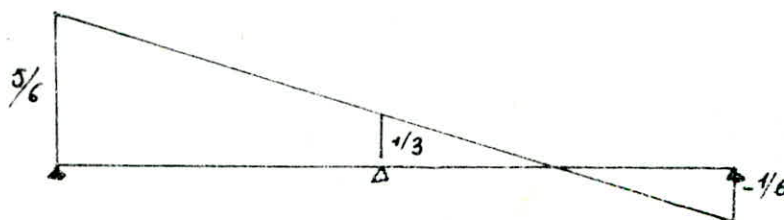
$$R_1 \begin{cases} 5/6 P \rightarrow \alpha = N \\ P/3 \rightarrow \alpha = 0 \\ -P/6 \rightarrow \alpha = -N \end{cases}$$

#### b) Lignes d'influence de $R_2$ .



$$R_2 \begin{cases} \alpha = N \\ P/3 \Rightarrow \alpha = 0 \\ \alpha = -N \end{cases}$$

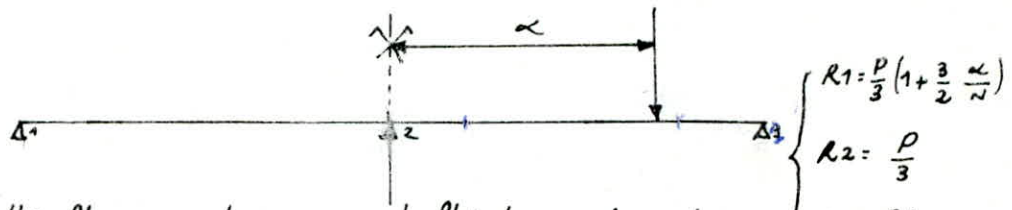
#### c) Lignes d'influence de $R_3$ .



$$R_3 \begin{cases} -P/6 \rightarrow \alpha = N \\ P/6 \rightarrow \alpha = 0 \\ 5P/6 \rightarrow \alpha = -N \end{cases}$$

## 2 - Ligne d'influence des moments fléchissants dans l'entretoise.

rappelons:



### 1 - Ligne d'influence du moment fléchissant au pt 2.

$$\alpha > x \quad M = \frac{P}{3} \left( 1 + \frac{3}{2} \frac{\alpha}{N} \right) (N - x) - P(d - x)$$

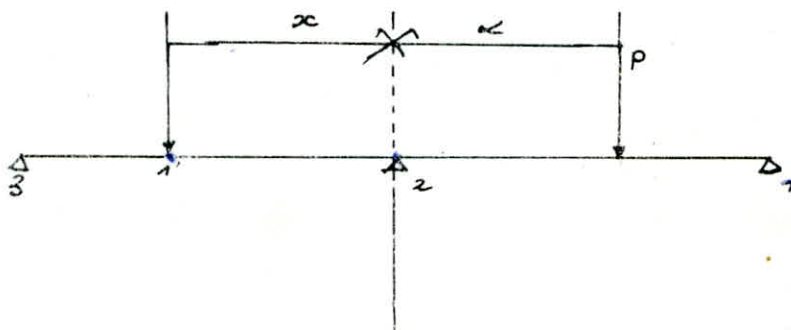
$$\text{origine en } 2 \Rightarrow x = 0 \text{ et pour } \alpha = N \rightarrow M_1 = \frac{-N}{6} = -\frac{3,6}{6} = -0,600$$

$$\alpha < x \quad M = \frac{P}{3} \left( 1 + \frac{3}{2} \frac{\alpha}{N} \right) (N - x)$$

$$\text{origine en } 2 \Rightarrow x = 0 \text{ et pour } \alpha = -N \rightarrow M_2 = \frac{-N}{6} = -0,600$$

$$\alpha = 0 \text{ et } x = 0 \Rightarrow M = \frac{N}{3} = \frac{3,6}{3} = +1,2.$$

### 2 - Ligne d'influence au milieu du panneau "1-2"



$$\alpha > x, \quad M = R_1(N+x) - P(\alpha+x) + R_2 x = (N+x) \frac{P}{3} \left( 1 + \frac{3}{2} \frac{\alpha}{N} \right) - P(\alpha+x) + \frac{P}{3} x.$$

$$\alpha < x ; \quad M = R_1(N+x) + R_2 x = \frac{P}{3} \left( 1 + \frac{3}{2} \frac{\alpha}{N} \right) + \frac{P}{3} x.$$

en particulier pour:

$$x = -\frac{N}{2} \text{ et } \alpha > x \rightarrow M = \frac{P}{3} \left( 1 + \frac{3}{2} \frac{\alpha}{N} \right) \left( \frac{3}{2} N \right) + \frac{P}{3} \frac{N}{2} - P \left( \frac{3}{2} N \right) = -\frac{N}{12} = -0,3.$$

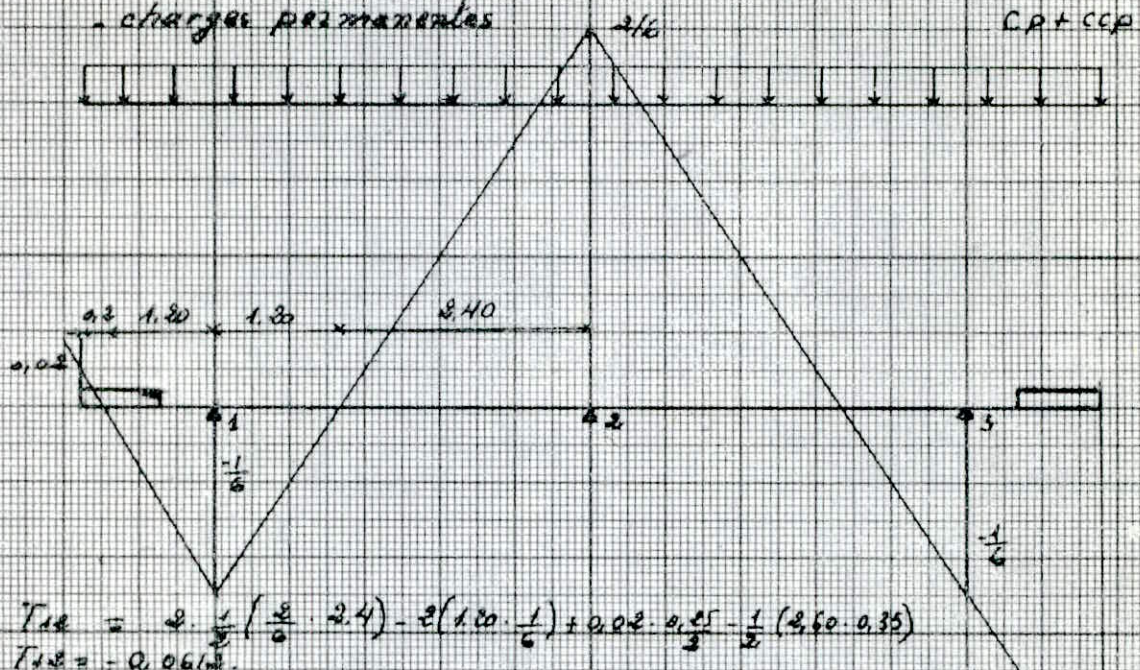
$$x = -\frac{N}{2} \text{ et } (\alpha = -N) \rightarrow M = -\frac{N}{12} = -0,300$$

3) Calcul de l'ordonnée de la ligne d'influence pour  $\alpha = -\frac{N}{2}$  et  $x = -\frac{N}{2}$

$$M = R_1(N + \frac{N}{2}) + R_2(\frac{N}{2}) = \frac{P}{3} \left( 1 + \frac{3}{2} \frac{\alpha}{N} \right) \left( -\frac{N}{2} \right) \left( N + \frac{N}{2} \right) + \frac{P}{3} \left( \frac{N}{2} \right) = 1,05.$$

Diagrammes d'influences des efforts tranchants.

- charges permanentes



Diagrammes d'influence des moments fléchissants  
- charges permanentes

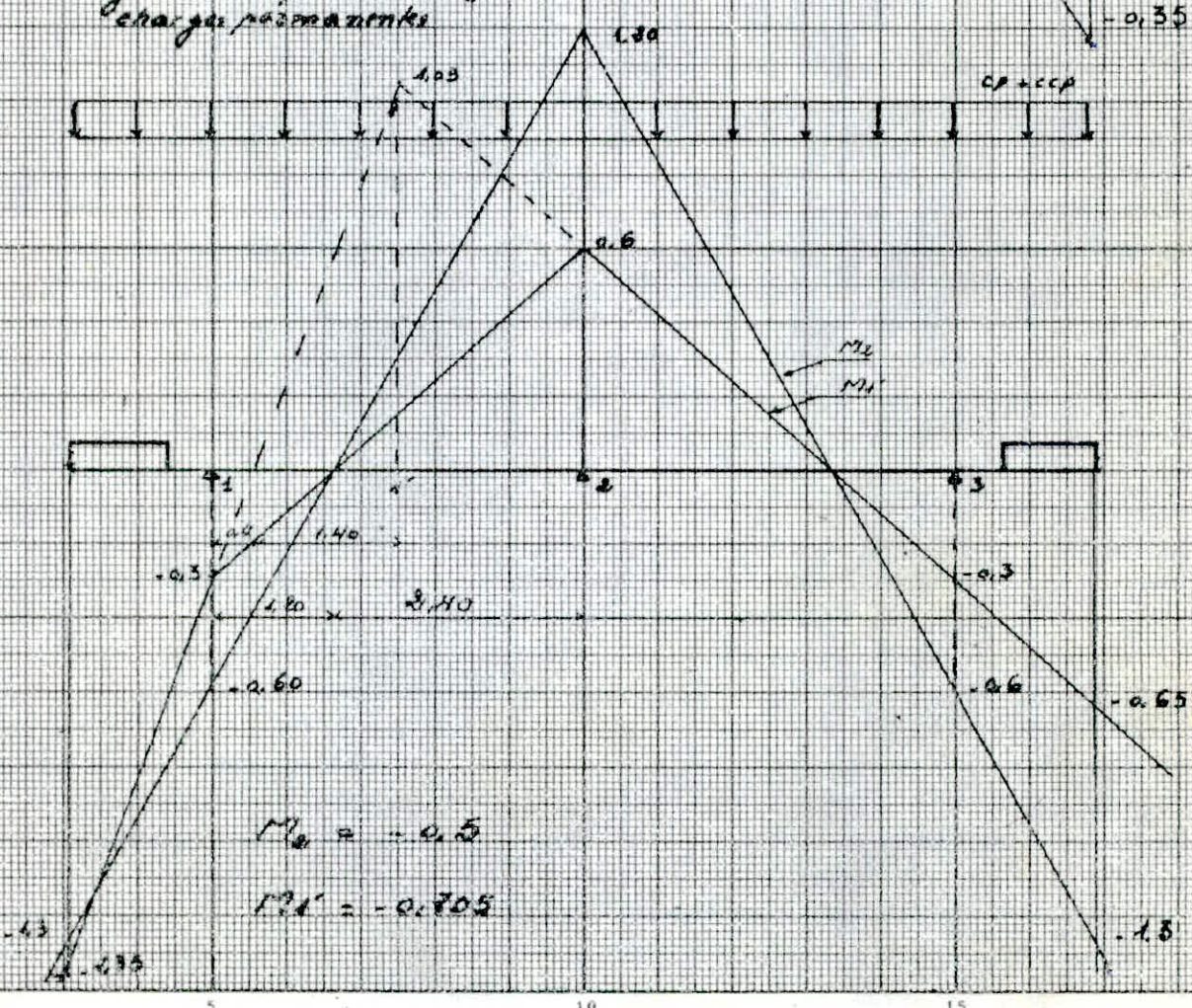


Diagramme d'influence des efforts tranchants  
Système A

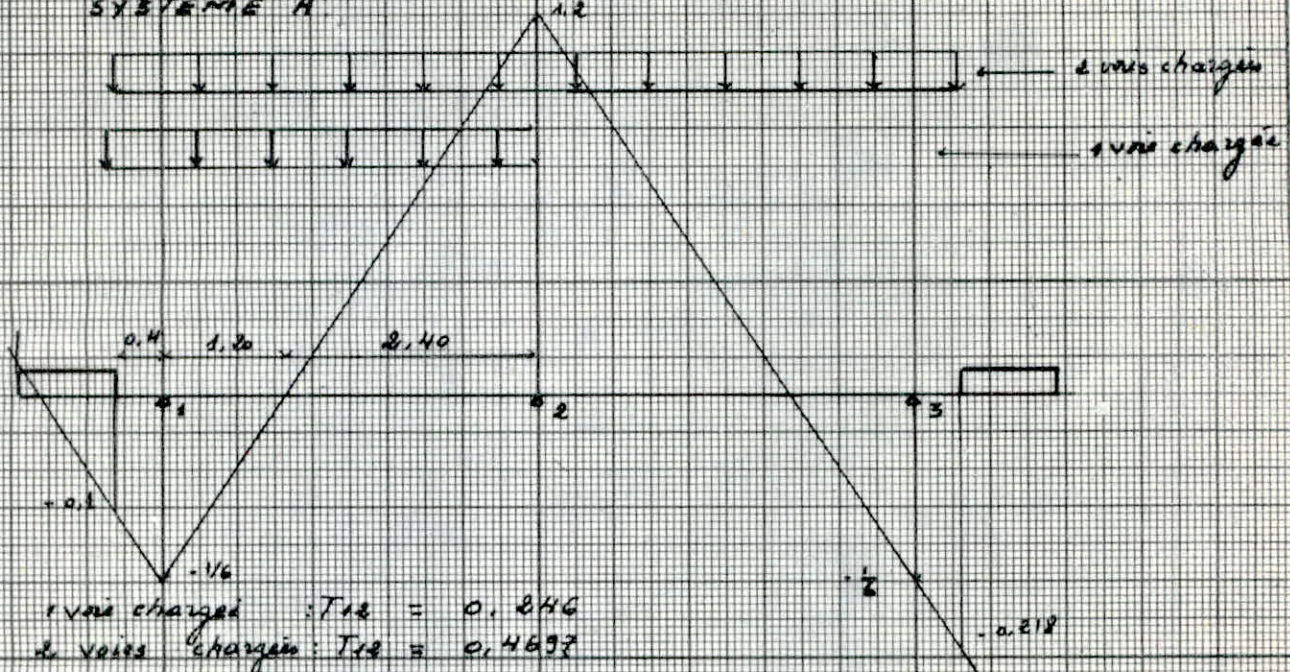
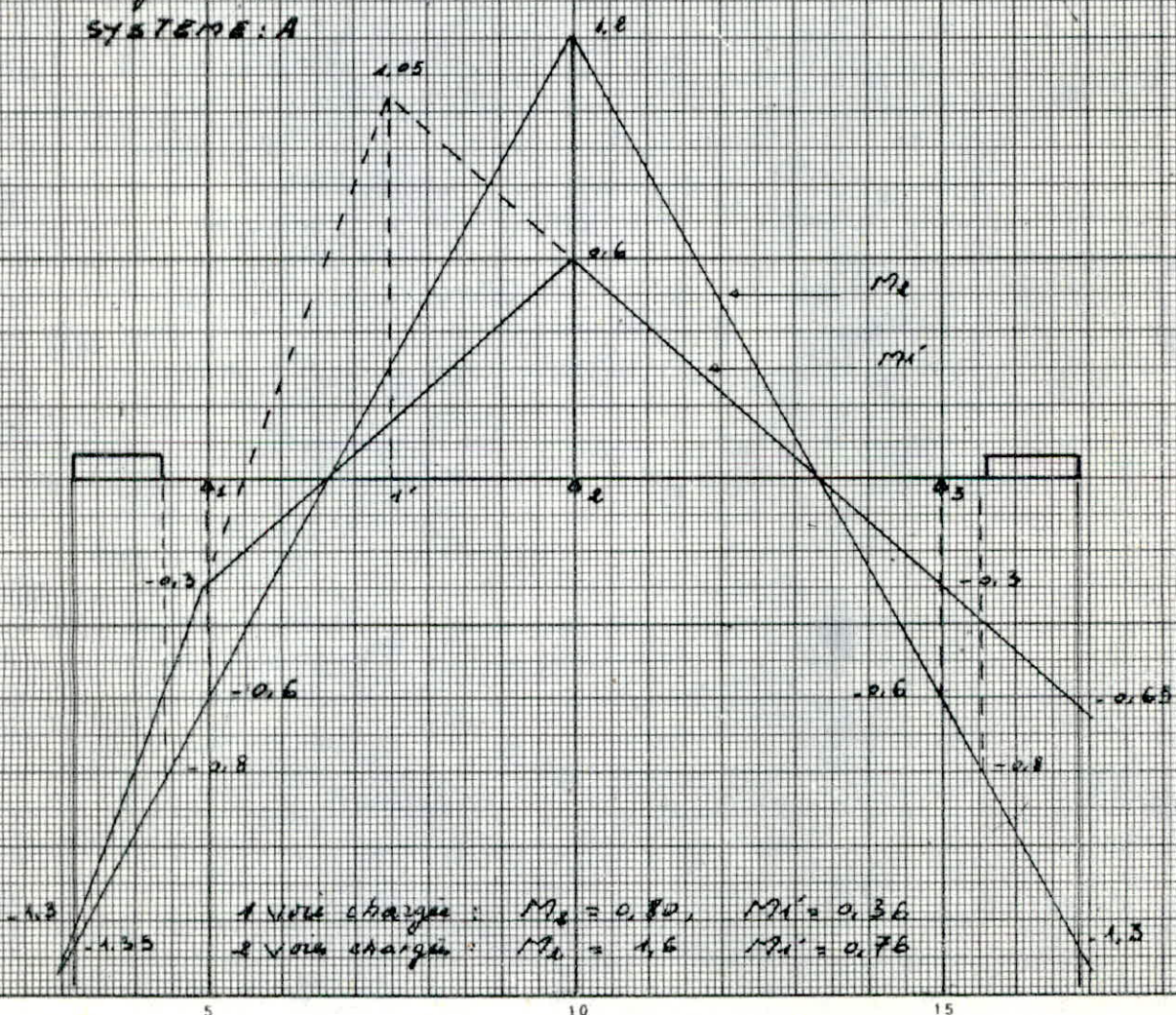


Diagramme d'influence des moments fléchissants

Système A



15

0

5

## Lignes d'influences des efforts tranchants

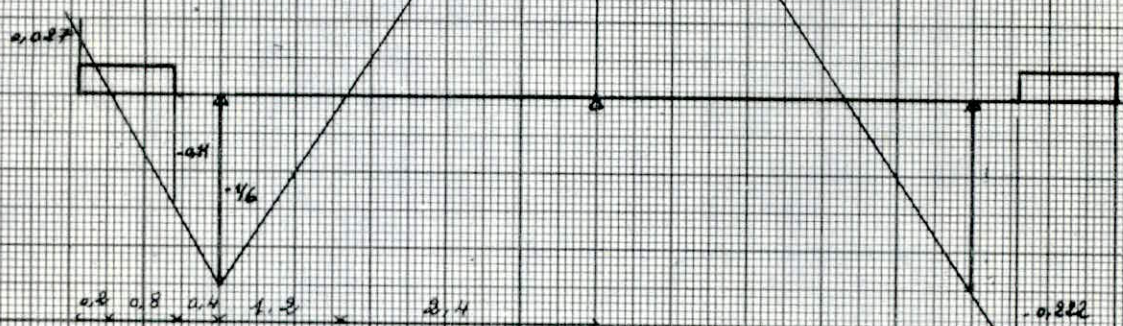
### SURCHARGE DE TROTTOIR

\* 1<sup>er</sup> seul trottoir chargé

$$T_{12} = -\frac{1}{2}(0.8 \times 0.11) + \frac{1}{2}(0.027 \times 0.2) = -0.0413$$

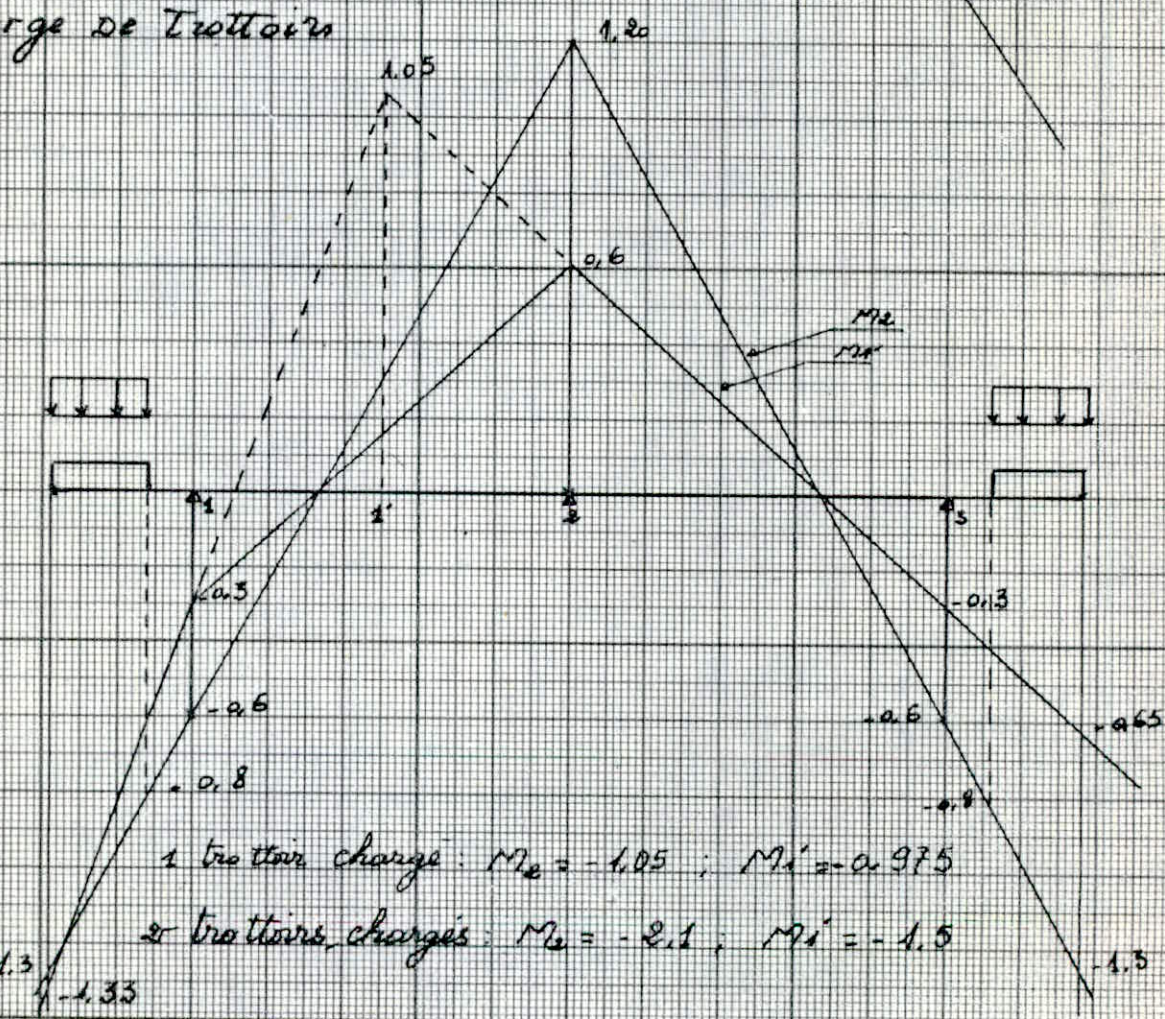
\* 2<sup>er</sup> trottoir chargé

$$T_{12} = -0.3388$$



## Lignes d'influences des moments fléchissants

### SURCHARGE DE TROTTOIRS

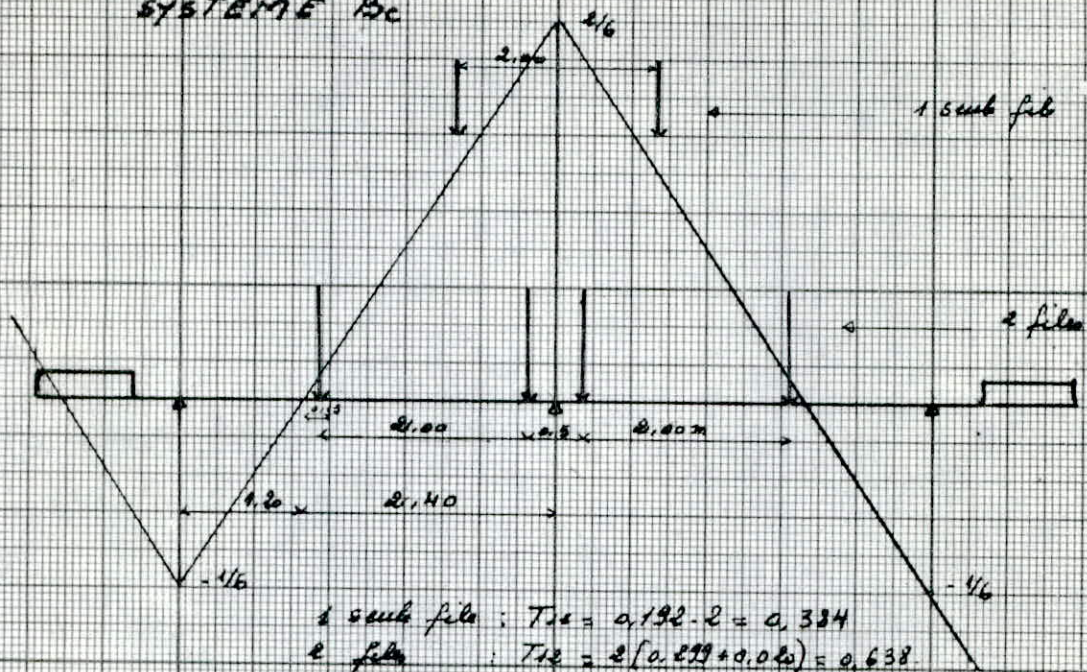


1<sup>er</sup> trottoir chargé :  $M_2 = -1.05$  ;  $M_1' = -0.975$

2<sup>er</sup> trottoir chargé :  $M_2 = -2.1$  ;  $M_1' = -1.0$

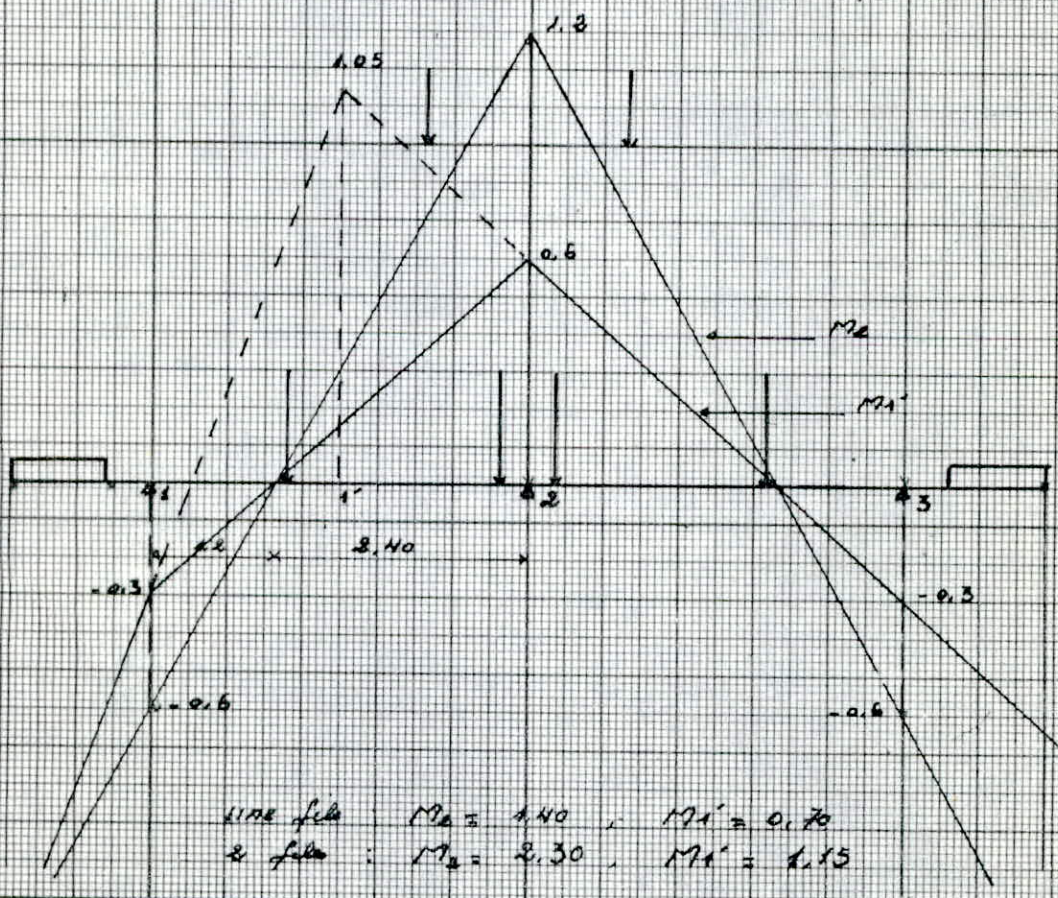
Diagrammes d'influence des effets tranchants.

SYSTÈME BC



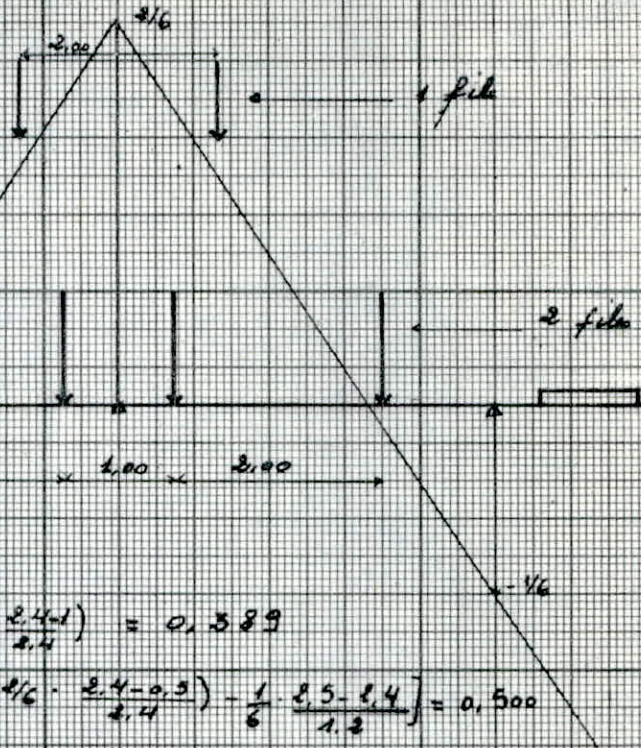
Diagrammes d'influence des moments fléchissants

SYSTÈME BC



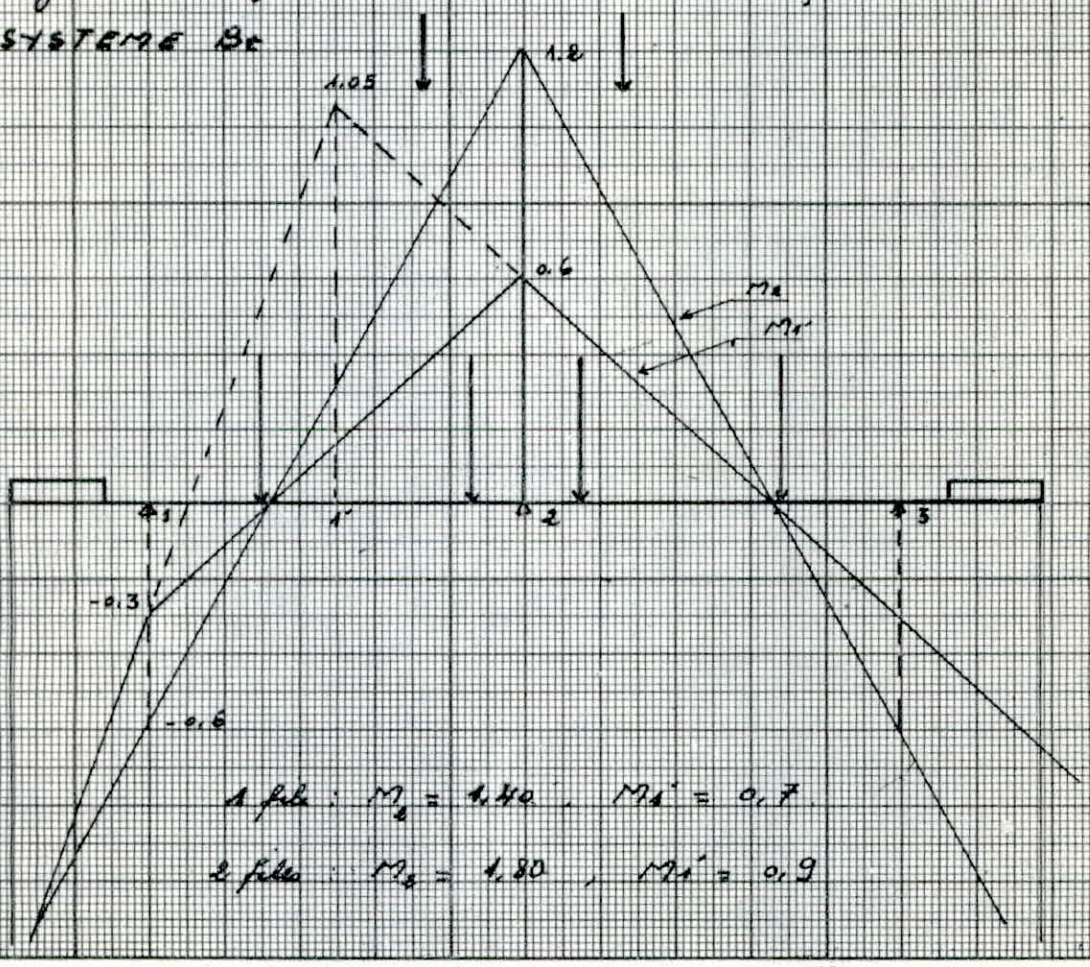
Dessin d'influences des effets tranchants.

Système Bc



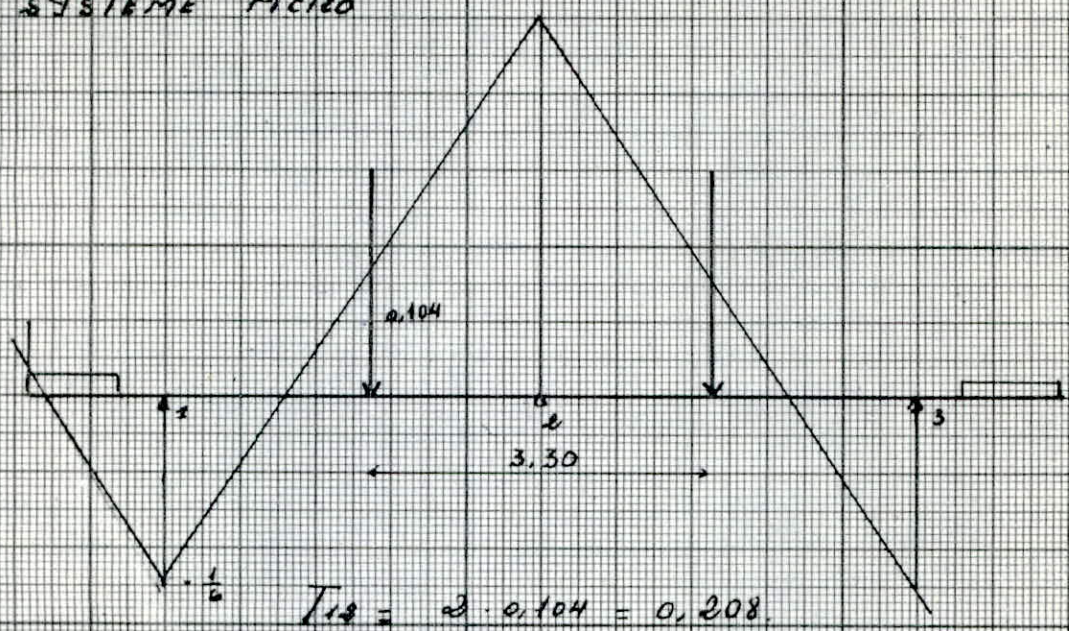
Dessin d'influence des moments fléchissants.

Système Bc



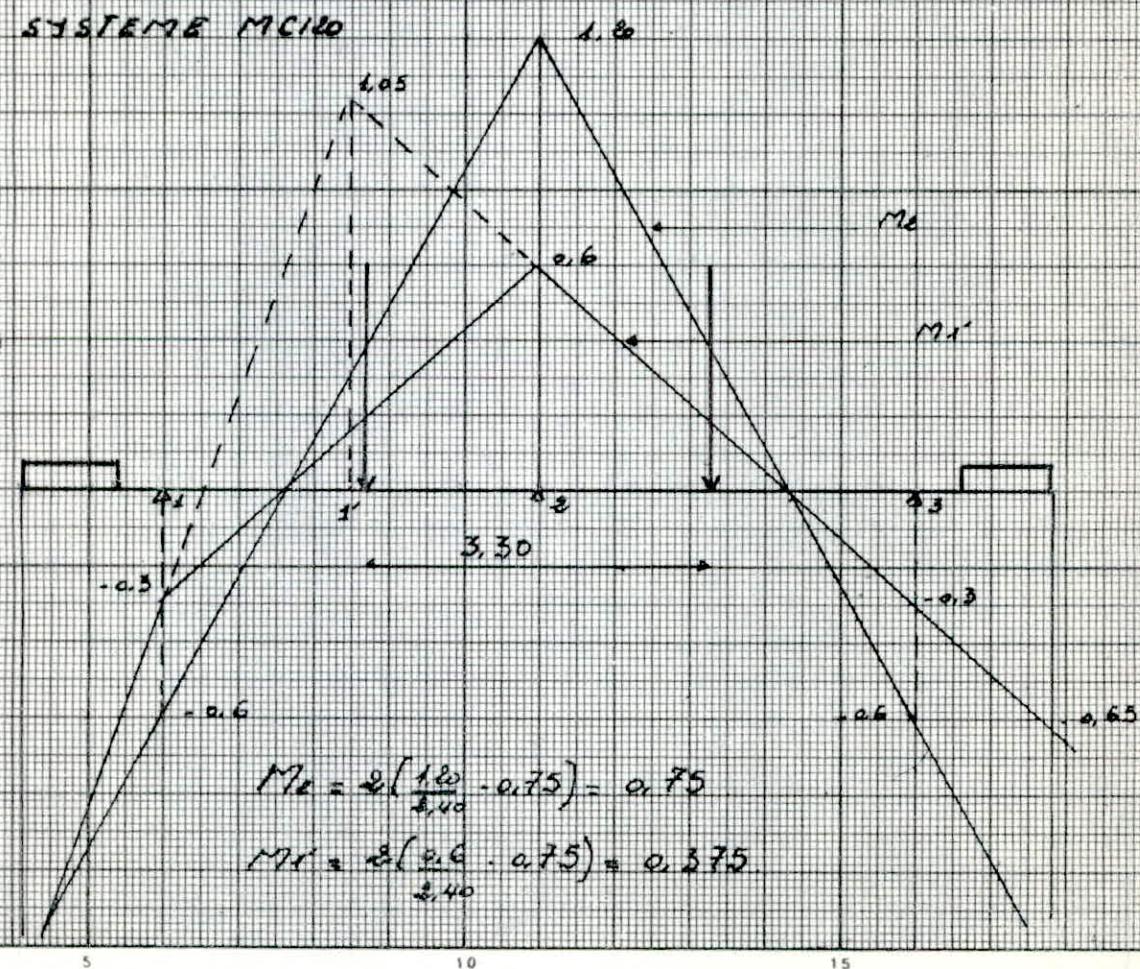
Lignes d'influences - des moments fléchissants

SYSTÈME MC160



Lignes d'influences - des moments fléchissants.

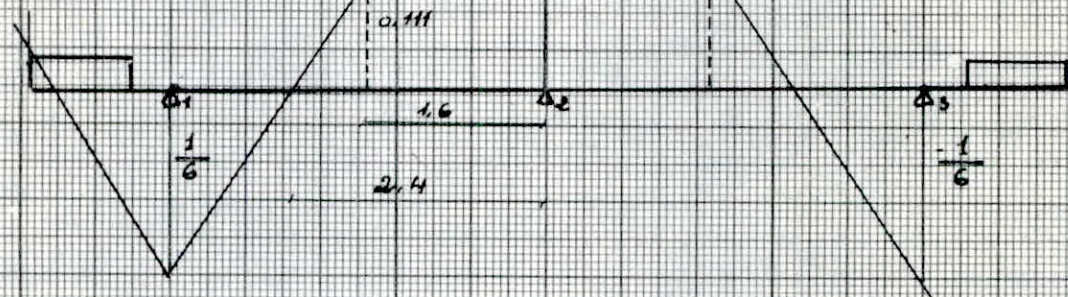
SYSTÈME MC160



Diagrammes d'influences des efforts tranchants

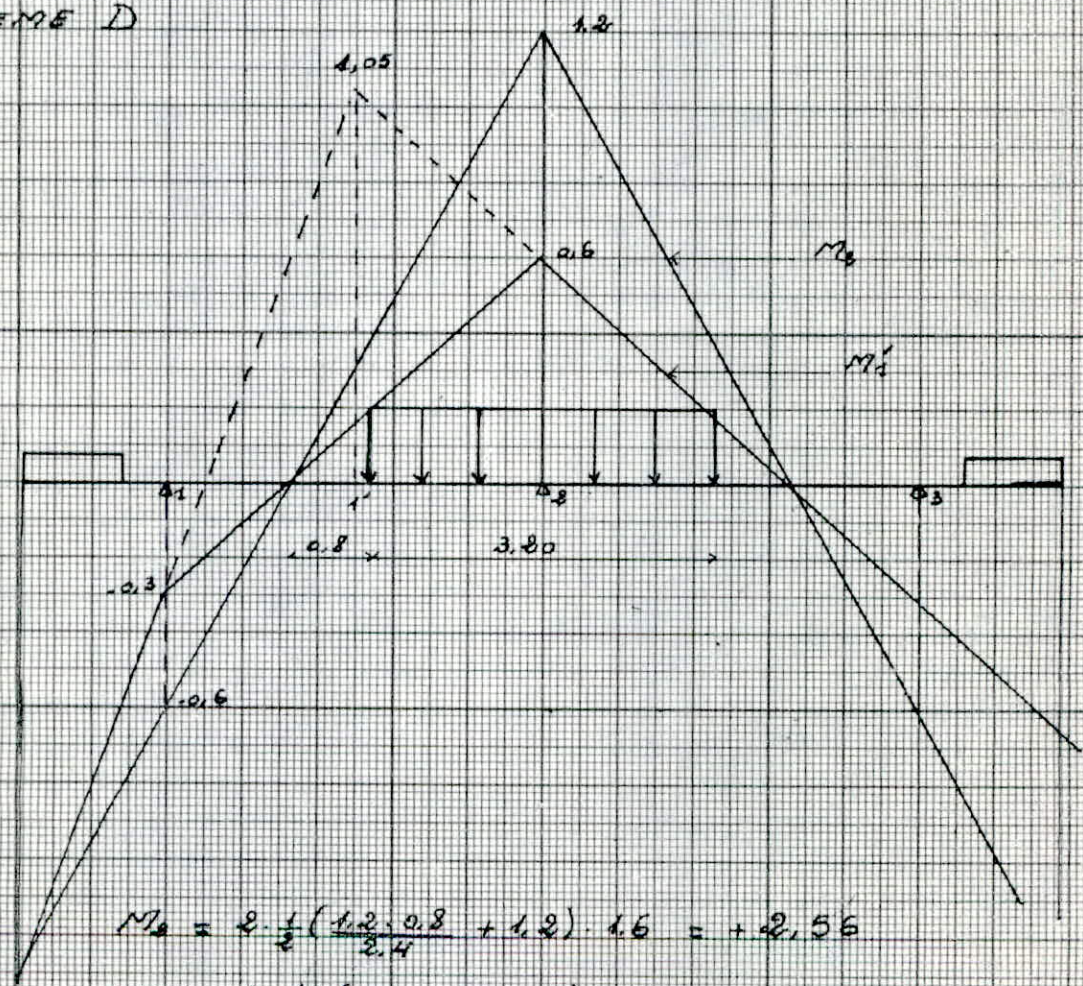
Système D

$$T_{123} = \frac{2}{3} \cdot \frac{1}{2} (0,441 + \frac{2}{6}) \cdot 1,6 = 0,711$$



Diagrammes d'influences des moments fléchissants

Système D



$$M_3 = 2 \cdot \frac{1}{2} \left( \frac{1,2 \cdot 0,8}{2,4} + 1,2 \right) \cdot 1,6 = + 2,56$$

$$M_2 = 2 \cdot \frac{1}{2} \left( \frac{0,6 \cdot 0,8}{2,4} + 0,6 \right) \cdot 1,6 = + 1,28$$

# Tableau des efforts tranchants

solicitation	R max t/m <sup>2</sup>	coefficient d'influence	b <sub>i</sub>	f	coefficient de pondération	Efforts. Tranchants
charge permanente CP + CCP	5,233	-0,0612			1,32	-0,422
A(t)	1 voie	5,707	0,246		1,6	2,246
	2 voies	5,707	0,4697		1,6	4,288
Bc	1 file	11,25	0,384	1,2	1,124	9,322
	2 files	11,25	0,638	1,1	1,124	14,198
Bt	1 file	14,2	0,389		1,124	9,934
	2 files	14,2	0,500		1,124	12,768
Mc 120	41,02	0,208		1,124	1,32	12,546
Système D	58,06	0,711			1,32	54,490
trottoirs	1 trottoir chargé.	0,9	-0,0413		1,6	-0,059
	2 trottoirs chargés	0,9	-0,8828		1,6	-0,479

# Tableau des moments fléchissants.

solicitation	R max t/m <sup>2</sup>	coefficient d'influence	b	f	coefficient de pond	M <sub>1</sub> (tm)	M <sub>2</sub> (bm)
		1	2				
CP + CCP	5,233	0,705	-0,5			1,82	4,87 -3,455
A(t)	1 voie	5,707	0,36	0,8		1,6	3,287 7,805
	2 voies	11,25	0,76	1,6		1,6	6,94 14,601
Bc	1 file	11,25	0,70	1,40	1,2	1,124	1,6 16,99 33,99
	2 files	14,2	1,15	2,30	1,1	1,124	1,6 25,59 51,186
Bt	1 file	14,2	0,7	1,40	1	1,124	1,6 17,87 35,75
	2 files	14,2	0,9	1,80	1	1,124	1,6 22,98 45,96
Mc 120	41,02	0,375	0,75		1,114	1,32	22,62 45,24
Système D	58,06	1,28	2,56			1,82	98,09 196,19
trottoirs	1 trottoir chargé	0,9	-0,915	-1,05		1,6	-1,404 -1,512
	2 trottoirs chargés.	0,9	-1,5	-2,1		1,6	-2,16 -3,024

# Combinaison des efforts.

51

$CP + \text{Surch } (<_0)$   
 $CP + \text{Surch } (>_0)$

la surface prise en compte étant la surcharge max.

Résultat obtenu

$$M_{\max} = 192,73 \text{ Em.} \quad \text{sous le système D.}$$

$$T_{\max} = 54,068 \text{ E}$$

Dimensionnement

Choix du profil: m prend un profil dont les caractéristiques sont:

$$h = 900 \text{ mm} \quad b = 300 \text{ mm.}$$

$$a = 17 \text{ mm.} \quad e = 33 \text{ mm.}$$

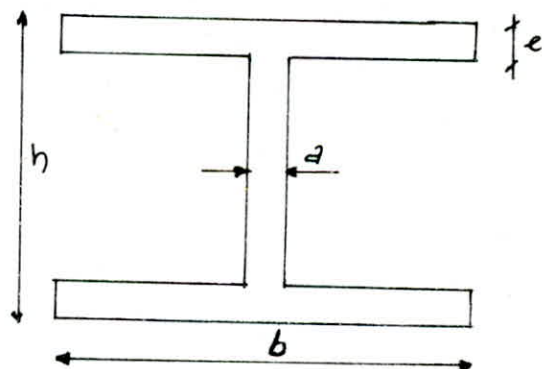
$$W_x = 8685 \text{ cm}^3.$$

Vérification des contraintes.

$$\sigma = \frac{M_{\max}}{W_x} = \frac{192,73 \cdot 10^5}{8685} = 2219,11 \text{ kg/cm}^2 < 2400 \text{ kg/cm}^2$$

$$\tau = \frac{T_{\max}}{A_r} = \frac{54,068 \times 10^3}{(80 - 2 \times 3,3) \times 1,7} = 433,20 \text{ kg/cm}^2 < \frac{2400}{1,54} = 1558,44 \text{ kg/cm}^2$$

La vérification à la résistance est satisfaite.



**CONNECTEURS**

## - Les connecteurs -

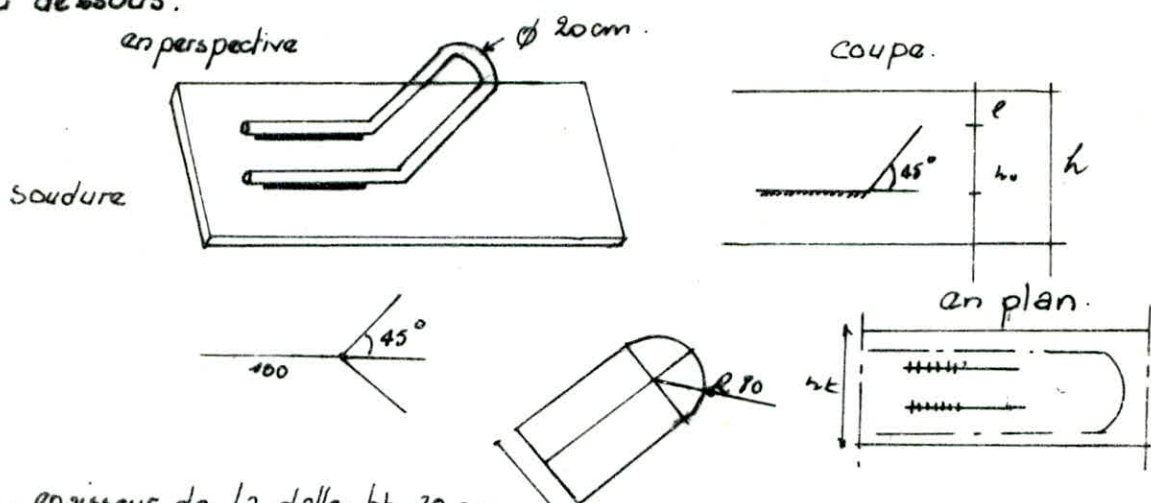
Les connecteurs ont pour but d'empêcher le glissement et le soulevement du béton par rapport à l'acier. Ils sont ancrés dans le béton par adhérence et fixés à la membrure de la poutre par soudure.

Ils doivent assurer une liaison aussi continue que possible en les deux matériaux ont donc disposé à cet effet un grand nombre de petits connecteurs dont l'espacement ne dépasse pas trois fois l'épaisseur de la dalle.

Il existe plusieurs types de connecteurs.

- Connecteur à buter, connecteur à ancrage, connecteur à buter et ancrage.

En ce qui nous concerne on prendra un connecteur à ancrage schématisé ci-dessous.



- épaisseur de la dalle:  $ht = 20 \text{ cm}$
- la distance entre extrémité du connecteur et fibres extérieur de la dalle  $e = 3 \text{ cm}$ .
- Rayon de courbure du connecteur  $r = 8 \text{ cm}$ .
- $d$  : distance du centre de courbure du tracé du connecteur et le plus proche  $d = 3 + 8 = 11 \text{ cm}$ .
- $\phi$  : diamètre de la barre  $\phi 20$
- $f_{ck} = 1600 \text{ kg/cm}^2$ ,  $f_{cbo}$  contrainte de compression du béton  $= 82,5 \text{ kg/cm}^2$   
le rayon de courbure doit satisfaire à la condition de non écrasement du béton (Art 30. 6.2 du titre VII du CPC) dans la boucle du connecteur. La condition est représentée par la formule suivante.

$$\rho_b = \geq 0,70 \sqrt{\frac{f_{ck}}{f_{cbo}}} \left( 1 + \frac{\phi}{d} \right)^{-1} \quad \beta = 1 \text{ pour un seul lit}$$

$$\rho_b \geq 45,8 \text{ mm} = 4,58 \text{ cm} \quad \text{donc } \rho_b = 8 \text{ cm} > 4,58 \text{ cm vérifier.}$$

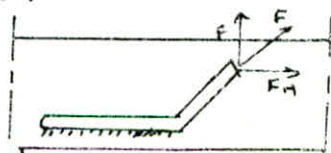
Effort que peut transmettre un connecteur

Nous pouvons faire travailler le connecteur à son taux de travail max puisque la condition de non écrasement du béton est satisfait.

un connecteur peut transmettre, dans son plan un effort max égal à.

$$F = 2 \pi \bar{b} n = 2 \pi \frac{\phi^2}{4}; \bar{b} n = 2 \pi \frac{4,58^2}{4} \times 1600.$$

$$F = 10058,1 \text{ kg.}$$



Le connecteur est incliné de  $45^\circ$ , donc l'effort qu'il doit reprendre se décompose en un effort horizontal et en un effort vertical.

$$(F_H, F_V) \quad F_H = F_V = \frac{\sqrt{2}F}{2}$$

Nous tenons compte d'un coefficient de frottement acier-béton = 0,40  
 $F_H = 0,4 F_V$  (c'est que  $F_V$  équilibre une force due au  $f_k = 0,4 F_V$ )  
 donc l'effort de glissement que pourra reprendre le connecteur est:

$$G_1 = F_H + F_H' = \frac{\sqrt{2}F}{2} + 0,4 \frac{\sqrt{2}F}{2} = 0,99F = 9952,57 \text{ kg/par connecteur.}$$

nous faisons le calcul sur des tronçons de poutres de longueur  $\ell/6 = 5 \text{ m}$ .  
 il faut que le nombre de connecteur soit suffisant pour s'opposer aux efforts de glissement dû aux sollicitations suivantes

A) CCP + retrait partiel + surcharge.

B) CCP + retrait total.

C) CCP + retrait total + surcharge.

Effort de retrait:

$$\bar{b}_b = \sum b \varepsilon_r = 56 \text{ bar (retrait total)}$$

$$\bar{b}_b = E_b \varepsilon = 1,5 \times 10^4 = 21 \text{ bar (retrait partiel).}$$

$$-2b = (1+1,90) \times 0,02 = 0,56 \text{ m}^2 = 5600 \text{ cm}^2$$

a) Effort de traction agissant sur la section du béton développé par le retrait total est:

$$F = \bar{b}_b \Omega b = 56 \times 5600 = 313600 \text{ kg.}$$

$$\text{glissement unitaire } G = \frac{-F}{\ell} = \frac{-313600}{5} = -62720 \text{ kg/m.}$$

$$\text{retrait partiel: } F = -21 \times 5600 = 117600 \text{ kg.}$$

$$G = \frac{F}{\ell} = \frac{117600}{5} = 23520 \text{ kg/m.}$$

### Complément de charge permanente

$$\text{CCP} = g = 1,29 t/\text{m} = 1290 \text{ kg/m.}$$

$$T_0 = \frac{g\ell}{2} = \frac{1290 \times 30}{2} = 19350 \text{ kg.}$$

$$T_1 = g \frac{\ell}{2} = -g \times 5 = 12900 \text{ kg.}$$

$$T_2 = g \frac{\ell}{2} - g(5+5) = 6450 \text{ kg.}$$

$$T_3 = g \frac{\ell}{2} - g \frac{\ell}{2} = 0$$

Surcharge de trottoir

$$\text{Section } ① \quad x = a = 0.$$

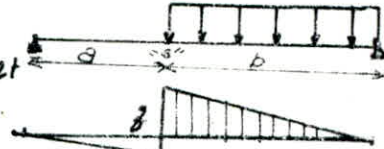
$$T = 2,25t.$$

$$\text{Section } ② \quad x = a = 5 \text{ m} ; b = 25 \text{ m.}$$

$$T = \frac{gb^2}{2c} = 1,56t.$$

$$\text{Section } ③ \quad T = 1t$$

$$\text{Section } ④ \quad T = 0,562t$$



# Combinaisons des Efforts

charge G	CCP	SURCH max	SURCH trott	RETRAIT TOTAL	RETRAIT PARTIEL	a max(+)	b min(-)	c max(-)
G(0-1)	4478,84	68601,61	2408,91	-62720	-23520	75489,36	-23520	-62720
G(1-2)	3582,44	59639,27	2164,52	-68720	-23520	65386,23	-23520	-68720
G(2-3)	2192,9	45368,1	1719,43			49280,4		
G(3-4)	1463,36	37339,9	1438,07			40244,3		
G(4-5)	729,53	29730,6	1294,26			31754,41		

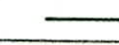
dans le cas où l'effort de glissement  $G > 0 \Rightarrow$  

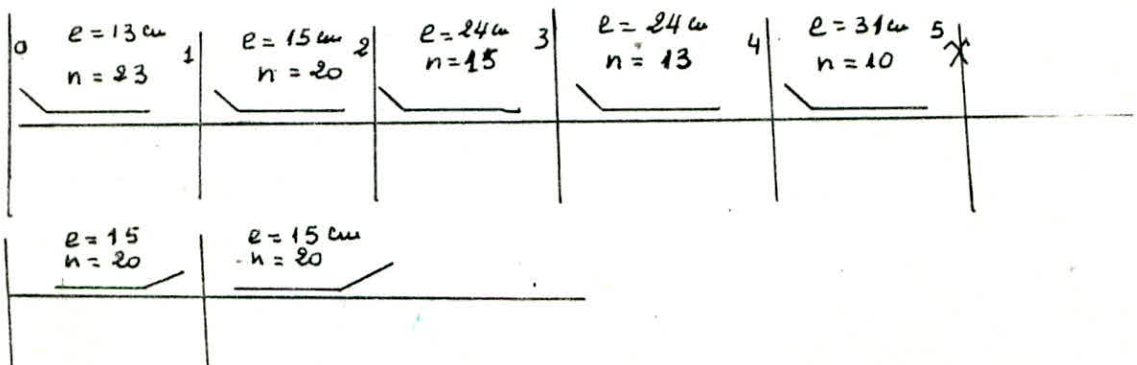
" " " "

" " " "

Nombre de Connecteurs et choix des espacements  
L'effort de glissement que pourra reprendre le connecteur est:

$$G_c = 9952,57 \text{ kg / connecteur}$$

SECTION	$e_0 \approx 13 \text{ cm}$		nombre de connecteur : 23	
0-1	$e_1 \approx 15 \text{ cm}$		nbr : 20	
1-2	$e_0 = 15 \text{ cm}$		nbr : 20	
	$e_1 = 15 \text{ cm}$		nbr : 20	
2-3	$e_0 = 20 \text{ cm}$		nbr : 15	
3-4	$e_0 = 24 \text{ cm}$		nbr : 13	
4-5	$e_0 = 31 \text{ cm}$		nbr : 10	



## Surcharge sous (MC 120, BC).

nous étudions que le système MC/120 pour la section 0 et le système BC qui nous donne les efforts tranchants les plus prépondérants pour les sections 0, 1, 2.

nous avons trouvé  $T_0 = 91,8 \text{ t.}$

section 0  $a = 5 \text{ m.}$

$$T = \Sigma P_i z_i = 71,76 \text{ t.}$$

section 0  $a = 10 \text{ m.}$

$$T = \Sigma P_i z_i = 51,72 \text{ t.}$$

section 0

$$T = 43,82. \text{ (sous MC 120).}$$

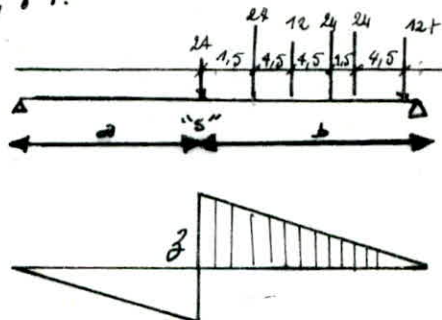


Tableau des efforts tranchants répartis, pondérés et majorés.

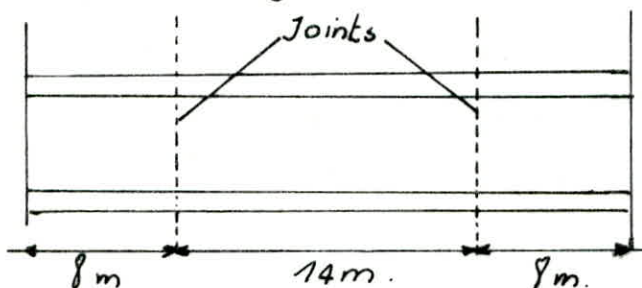
type de charge	coefficients				section 0	section 1	section 2	section 3
	pond	maj. $\delta$	$P$	$b$	$T_0 (\text{t})$	$T_1 (\text{t})$	$T_2 (\text{t})$	$T_3 (\text{t})$
C.C.P	1,82	/	1/3	/	8,514	5,676	2,838	0
MC 120	1,82	1,114	0,59.	/	/	/	/	38,02
BC. 2 files.	1,6	1,164	0,541.	1,1	98,247	76,8	55,35	/
surcharges de trottoirs	1,6	-	0,958	/	3,45	2,4	1,533	0,86.

# **ASS'SEMBLAGES'**

# Joints.

## Présentation:

les poutres métalliques ont une longueur de 30 m. elles ne peuvent pas être transportées de leur lieu de fabrication au chantier pour cela on réalise les assemblages des poutres, par l'intermédiaire des joints.



on utilise des boulons HR 10/8 Ø 24 pour l'assemblage on prendra un coefficient de frottement égal à  $\mu = 0,3$  en supposant que les surfaces à serrer sont simplement brossées.

## principe de calcul:

par plan de frottement et par boulon, il est possible de développer dans un assemblage comportant des boulons HR l'effort suivant  $f_r = 0,8 \gamma_c \Omega$  pour des éléments soumis à un chargement dynamique vu qu'il y a déplacement décharges.

$\Omega$  section résistante du boulon (CM66)  $\Omega = 353 \text{ mm}^2$

$$\gamma_c = 90 \text{ kg/mm}^2 \Rightarrow f_r = 7624,8 \text{ kg par boulon.}$$

Joints boulonnés de la semelle supérieure celle ci étant comprimée la contrainte normale de compression sera calculée en section brute sous l'effet de  $f_a + f_b$  (ciOLINA)

la section considérée est à 8m de l'appui  
le tableau des efforts pondérés majorés (CP, CCP, surcharge max. trottoir).

charges + efforts	CP	CCP	BC	Trottoir
M (tm)	291,77	49,95	519,82	20,24
T (t)	22,83	3,97	64	2,53.

la vérification de la section mixte à 8m de l'appui nous donne  $\gamma_s$

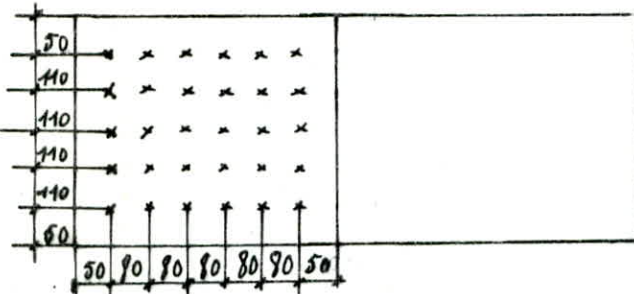
$$\gamma_s = (\gamma_s(\text{cp}) + \gamma_s(\text{ccp}) + \gamma_s(s+t) + \gamma_s \text{ retrait} + \gamma_s \text{ température}) = 1570,88 \text{ kg/cm}^2.$$

section de la semelle supérieure  $A = 60 \times 3 + 60 \times 2 = 300 \text{ cm}^2$ .

l'effort de compression est  $N = 300 \times 1570,88 = 471265,03 \text{ kg}$ .

Il y a 2 plans de frottement  $f_r = 2 \times 7624,8 = 15249,6 \text{ kg}$

Le nombre de boulons  $n = \frac{471265,05}{15249,6} - 30,02$   
 on prendra 30 Boulons de HR 10/9 Ø24.



Vérification des couvres joints.

chaque couvre joint (sup et inf) reprend la moitié de l'effort total.

$$\text{soit } \frac{F}{2} = \frac{471265,03}{2} = 117916,26 \text{ kg.}$$

on choisit un couvre joint de 2,5 cm d'épaisseur  
 la section brute  $\approx 2,5 \times 24 = 60 \text{ cm}^2$ .

section	I	II	III	IV	V
$F_a (\text{kg})$	0	$\frac{3}{15} \cdot \frac{F}{4}$	$\frac{6}{15} \cdot \frac{F}{4}$	$\frac{9}{15} \cdot \frac{F}{4}$	$\frac{12}{15} \cdot \frac{F}{4}$
$F_b (\text{kg})$	$\frac{3}{15} \cdot \frac{F}{4}$				
$F_a + F_b$	23563,75	47126,50	70689,75	94253,01	117916,26
$A$	$24 \times 2,5$	$24 \times 2,5$	60	60	60
$f (\text{kg/cm}^2)$	392,72	785,44	1178,16	1570,88	1963,60

Justification de la semelle supérieure assemblée

l'effort total, repris par cette semelle est de  $F = 471265,03 \text{ kg}$ .

Tableau résumant les valeurs en chaque section.

Section	I	II	III	IV	V
$F_a (\text{kg})$	$\frac{12}{15} F$	$\frac{9}{15} F$	$\frac{6}{15} F$	$\frac{3}{15} F$	0
$F_b (\text{kg})$	$\frac{3}{15} F$	$\frac{3}{15} F$	$\frac{3}{15} F$	$\frac{3}{15} F$	$\frac{3}{15} F$
$F_a + F_b$	471265,03	877012,02	282759,02	188506,01	94253,01
$f (\text{kg/cm}^2)$	300	300	300	300	300
$f (\text{kg/cm}^2)$	1570,99	1256,71	942,53	628,35	314,18

Joint boulonné de la semelle inférieur  
la semelle inférieur étant tendue ou il exerce des contraintes de traction.

$F_a + F_b$  en section brute

$F_a + 0,6F_b$  en section nette.

la contrainte de cisaillement est :  $\gamma_i$ .

$$\gamma_i = (\gamma_R + \gamma_t + \gamma_{CCP} + \gamma_{CP} - \gamma_{surcharge}) = 1668,27 \text{ kg/cm}^2$$

section de la semelle inférieur :  $S = 60 \times 2 + 70 \times 3 = 330 \text{ cm}^2$

$$F = S \gamma_i = 330 \times 1668,27 = 550529,10 \text{ Kg}$$

le nombre de boulons  $N = \frac{550529,1}{152,49,6} = 36,10$ .

le joint à une épaisseur de 2,5 cm.

calcul des justifications pour 1 demi couvre joint.

section	I	II	III	IV	V	VI
$F_a (\text{kg})$	0	$\frac{3F}{18}$	$\frac{6F}{18}$	$\frac{8F}{18}$	$\frac{19F}{19}$	$\frac{15F}{19}$
$F_b (\text{kg})$	$\frac{3}{19}F$	22938,71	-	-	-	-
$F_a + F_b$	22938,71	45971,43	68816,14	91754,84	114633,56	137632,27
section	94	94	84	84	84	84
$\gamma_i \text{ kg/cm}^2$	273,08	546,16	819	1092,32	1365,4	1638,48
$F_a + 0,6F_b$	13763,26	36701,95	59640,66	82579,36	105518,08	129456,78
sect. nette	62,4	62,4	62,4	62,4	62,4	62,4
$\gamma \text{ kg/cm}^2$	220,21	587,23	954,25	1321,27	1698,29	2055,31

$$\text{Section nette} = 28 \times 3 - (2,4 \times 3 \times 3) = 62,4 \text{ m}^2$$

$$F = \frac{F}{4} = 137632,28 \text{ kg}$$

calcul des justifications de la semelle inférieure assemblé l'effort total repris par cette section.

Section	I	II	III	IV	V	VI
$F_a (\text{kg})$	$\frac{10}{19} F$	$\frac{12}{18} F$	$\frac{6}{19} F$	$\frac{6}{19} F$	$\frac{3}{19} F$	0
$F_b (\text{kg})$	$\frac{3}{18} F$	91754,85	91754,85	91754,85	91754,85	91754,85
$F_a, F_b (\text{kg})$	550529,1	458774,25	367010,40	275264,55	193509,7	91754,85
Section	330	330	330	330	330	330
$\gamma (\text{kg/cm}^3)$	1668,27	1390,23	1112,18	834,14	656,09	278,05
$F_a + 0,6 f_b$ kg	513827,16	422072,31	330317,46	238562,61	146807,76	55052,91
Section nette ( $\text{cm}^2$ )	294	294	294	294	294	294
$\gamma \text{kg/cm}^3$	1747,71	1435,62	1123,53	911,44	499,35	187,25

Section nette  $330 - 2,4(3+2) \cdot 3 = 294$ .

Joint boulonné au niveau de l'âme cisailleé, l'effort tranchant qui sollicite l'âme cisailleé est :

$$T = 22,99 + 3,97 + 2,53 + 64 = 93,39 t.$$

$$\int r = 15249,6 \text{ kg.}$$

$$n = \frac{93,39 \cdot 10^3}{15249,6} = 6,16.$$

Section nette du couvre joint  $S = 10 \times 1 - 2,4 \times 1 = 7,6 \text{ cm}^2$

$$T = \frac{F}{A_{\text{nette}}} = \frac{4002,86}{7,6} = 526,69 \text{ kg/cm}^2.$$

Vérification du couvre joint sous l'effet du moment parasite.

$$M = \frac{I \cdot l}{2}$$

$$l = 55 + 55 + 10 = 0,12 \text{ m.}$$

$$M = \frac{93,39}{2} \times 0,12 = 560 \text{ tm.}$$

$$W \text{ Moment statique } \frac{I}{V} = \frac{bh^3}{12} \cdot \frac{2}{h} = \frac{bh^2}{12}$$

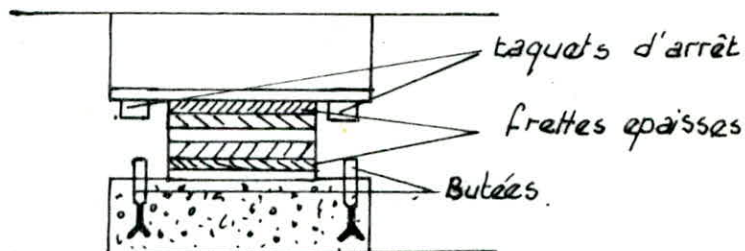
$$\gamma = \frac{M}{W} = \frac{5,6 \cdot 10^5}{23 \times 120 \cdot 2} = 8,78 \text{ kg/m}^2$$

**APPAREILS**  
**D'APPUI**

# Appareils d'appuis

## 1 Présentation:

les appareils d'appuis sont généralement en élastomère  
Prété composé par plusieurs feuilles d'élastomère adhérées par  
vulcanisation à des frettés de métal. Ils sont placés entre le tablier et ses  
appuis permettant ainsi la transmission des charges et l'absorption des  
déformations et translation respectivement par rotation et distorsion.  
l'appareil d'appui est équipé d'un dispositif antichemininement sans empêcher  
les déformations de se produire (écrasement distortion et rotation)



Pour le calcul des réactions d'appuis on considérera les efforts aménés  
par les poutres de rives, lesquelles sont les plus sollicitées,

$$\text{rotation due au retrait } M \left( \Delta \xrightarrow{\Delta} \right)$$

$n=15$ ;  $I_{15}$  béton:  $4272662,2 \text{ cm}^4$

$$\gamma_A = \frac{1}{3} \frac{M_R l}{E I} \quad \text{et} \quad \gamma_B = \frac{1}{6} \frac{M_R l}{E I}$$

$$w = 53,65 \frac{6700}{15} = 23963,67 \text{ cm}^3$$

$$M_R = n \cdot w \cdot \gamma_{16} = 23963,67 \times 56 = 1341965,33 \text{ kg/cm.}$$

$$\gamma_{\max} = \gamma_A + \gamma_B = \frac{M_R l}{2 E I} = 2.251.10^{-3} \text{ rad}$$

répartition des efforts:

On utilisera la méthode de Courbon pour  
la répartition transversale.

Le tableau suivant donnera les efforts pondérés et majorés

8

Tableau des efforts pondérés et majorés

charges.	coef de rép	$R(t)$	$\gamma_{\text{red.}}$	$\text{Mag. } \beta$	$R. \text{maj}$	$\gamma_{\text{maj}}$	coef. pond.	$\text{Epond. maj}$	$\gamma_{\text{maj. pond}}$	
$C P$	0,333.	37,16.	$1,73 \cdot 10^{-2}$ $0,593 \cdot 10^{-2}$	1	37,16	$0,593 \cdot 10^{-2}$	1	37,16	$0,593 \cdot 10^{-2}$	
$C C P$	1/3.	6,45	$1,709 \cdot 10^{-3}$ $0,569 \cdot 10^{-3}$	1	6,45	$0,569 \cdot 10^{-3}$	1	6,45	$0,569 \cdot 10^{-3}$	
$A$	1 voie	0,611.	34,83.	$3,675 \cdot 10^{-3}$ $2,246 \cdot 10^{-3}$	1	34,83.	$2,246 \cdot 10^{-3}$	1,2	$41,8$	$2,696 \cdot 10^{-3}$
	2 voie	0,333.	38,04.	$7,351 \cdot 10^{-3}$ $2,45 \cdot 10^{-3}$	1	38,04	$2,45 \cdot 10^{-3}$	1,2	$45,64$	$2,94 \cdot 10^{-3}$
$B_c$	1 voie	0,715	32,82.	$2,02 \cdot 10^{-3}$ $1,44 \cdot 10^{-3}$	1,124	36,99.	$1,618 \cdot 10^{-3}$	1,2	$44,267$	$1,942 \cdot 10^{-3}$
	2 voie	0,541.	49,66	$3,587 \cdot 10^{-3}$ $1,94 \cdot 10^{-3}$	1,124	55,817	$2,18 \cdot 10^{-3}$	1,2	$66,98$	$2,616 \cdot 10^{-3}$
$BC$ minimum.	0,715	20,16	$0,149 \cdot 10^3$ $0,105 \cdot 10^{-3}$	1,124	22,66	$0,119 \cdot 10^3$	1,2	27,19	$0,141 \cdot 10^3$	
$B_f$	1voie	0,666	20,83.	$1,522 \cdot 10^{-3}$ $1,018 \cdot 10^{-3}$	1,124	23,41	1,138	1,2	$28,09$	$1,366 \cdot 10^{-3}$
	2 voies	0,472	29,53.	$3,03 \cdot 10^{-3}$ $1,43 \cdot 10^{-3}$	1,124	33,19	$1,607 \cdot 10^{-3}$	1,2	$39,83$	$1,928 \cdot 10^{-3}$
$MC 120$	0,59.	58,30	$5,344 \cdot 10^{-3}$ $3,135 \cdot 10^{-3}$	1,114	64,94	$3,492 \cdot 10^{-3}$	1,2	77,93	$4,190 \cdot 10^{-3}$	
Système D.	0,402.	66,57	$1,159 \cdot 10^{-3}$ $4,661 \cdot 10^{-3}$	1	66,57	$0,867 \cdot 10^{-2}$	1.	79,88	$5,591 \cdot 10^{-3}$	
retrait.	0,333.	/	$0,750 \cdot 10^{-3}$	1	/	$0,750 \cdot 10^{-3}$	1,2	/	$0,750 \cdot 10^{-3}$	
brocheir.	1.	0,958	2,15	$0,138 \cdot 10^{-3}$	1	2,15	$0,138 \cdot 10^{-3}$	1,2	2,58	$0,165 \cdot 10^{-3}$
	2.	0,333.	1,5.	$0,096 \cdot 10^{-3}$	1.	1,5	$0,096 \cdot 10^{-3}$	1,2	1,8	$0,115 \cdot 10^{-3}$

## 2 - Calcul des efforts horizontaux :

effort dus au freinage surcharge A :  $F_A = \frac{A}{20 + 0,0036 s}$

$$\tilde{F}_A = F_A \cdot s.$$

on a 3 poutres principales reposant chacune sur 2 appuis ( $2 \times 3$ )

$$\tilde{F} = \frac{\tilde{F}_A}{6}$$

efforts dus au freinage surcharge Bc.

$$F_{Bc} = 30t \quad F = \frac{F_{Bc}}{6}$$

Dilatation : l'allongement est pris égal à  $3/10 \text{ mm/m}$ .

Pour un appui  $\mu = \frac{3 \times 30}{2 \times 10} = 4,5 \text{ mm par mètre linéaire}$

effort du au séisme.

Pour le séisme, la force horizontale peut cisailier l'appareil d'appui on tiendra compte d'une force horizontale qui sera prise égale à  $\frac{1}{10}$  du poids propre du tablier et du complément de charge.

$$F_s = \frac{(CP + CCP) \cdot t}{10}$$

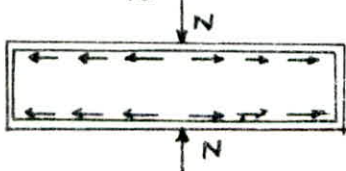
charges	surcharge A	surcharge Bc	seisme
F	1,825t	5t	4,36t.

Dimensionnement :

Principe de dimensionnement des appareils d'appuis est basé sur la limitation des contraintes de cisaillement qui se développent dans l'élastomère au niveau des plans de fretteage. Ces contraintes proviennent surtout des efforts appliqués et des déformations imposées à l'appareil d'appui, les théories développées se basent sur l'incompressibilité de l'élastomère, les expressions permettant de calculer la valeur des contraintes sont fonction du module de cisaillement  $G$ ,  $G \approx 8 \text{ kg/cm}^2$ .

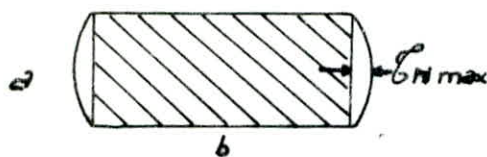
Compression : dans un effort normal, des contraintes de cisaillement  $\sigma_r$  apparaissent au niveau du plan de fretteage, les contraintes maximales se situent sur les bords de chaque feuillet et particulièrement au niveau des grands côtés ce qui veut dire que les premières dégradations de l'appareil d'appuis ne peuvent apparaître qu'en ces endroits.

$$\sigma_N = \frac{1,6 Y_{en}}{\beta}, \text{ ou } \beta = \frac{a-b}{2t(a+b)} ; \quad \gamma = \frac{N}{a-b}.$$



effort normal appliqué  
au milieu du grand.  
 $\sigma_{\max}$  cote cod à  $\frac{b}{2}$

## Distribution des Contraintes le long du côté (a).



dimensionnement de l'appareil d'appui  
 $N = R_{cp} + R_{ccp} + L_{surch} + L_{bot}$   
 $= 37,16 + 6,45 + 2,58 + 79,78 = 126,07 \text{ t.}$

$$\gamma_m = \frac{N}{a \cdot b} \leq 150 \Rightarrow ab \geq \frac{N}{150} = \frac{126,07 \cdot 10^3}{150} = 840,4667 \text{ cm}^2.$$

on prend  $a = 30 \text{ cm}$ .

$$b = 60 \text{ cm.} \quad ab = 1800 \text{ cm}^2.$$

épaisseur du frotte :  $t = 1 \text{ cm}$ .

nombre de frotte :  $n = 5$ .

$$\beta = \frac{a \cdot b}{2t(a+b)} = \frac{1800}{2 \times 1,2 (30 \times 60)} = 7,333.$$

$$\gamma_m = \frac{N}{ab} = \frac{126,07 \cdot 10^3}{1800} = 70,04 \text{ kg/cm}^2.$$

$$L_s \geq \frac{a}{\beta} = \frac{\gamma_m}{\gamma_m} \text{ acier utilisé E=24.}$$

$$L_s = \frac{30}{7,333} \cdot \frac{70,04}{2400} = 0,105 \text{ cm.}$$

condition de non flambement.

$$\frac{a}{10} < T < \frac{a}{5} \quad \frac{80}{10} \leq G \leq \frac{80}{5} \text{ condition vérifiée}$$

$$\gamma_m = \frac{N}{ab} \quad G_N = \frac{1,5 \gamma_m}{\beta}.$$

charges	$N (\text{t})$	$\gamma_m \text{ kg/cm}^2$	$G_N (\text{kg/cm}^2)$
CP	37,16	20,64	3,716
CCP	6,45	3,593	0,645
A 2 voies	45,64	25,36	4,564
Bc 2 convoies.	66,99	37,21	6,698
BT 2 tandems.	39,93	22,13	3,983
Mc 120	77,93	43,29	7,793
Surcharge trottoir	2,58	1,433	0,258
Système D	79,78	44,88	7,988
Bc min	27,19	15,11	2,319

Contraintes moyennes dues à CP + CCP + surcharge max + surch. trottoir

$$\gamma_m = 20,64 + 3,593 + 44,88 + 1,433 = 70,04 \text{ kg/cm}^2.$$

$$G_N = 3,716 + 0,645 + 7,988 + 0,258 = 12,61 \text{ kg/cm}^2.$$

Contraintes de distorsion dues au freinage et au séisme.

$$\operatorname{tg} \delta = \frac{F}{2G \cdot a \cdot b} \quad G_4 = 2G \text{ kg/cm}^2 \quad U = T \operatorname{tg} \delta.$$

$$T = n \cdot L_s = 5 \times 32 = 6 \text{ cm} ; G = \text{module d'élasticité transversale} \\ G = 8 \text{ kg/cm}^2.$$

Forces.	$\operatorname{tg} \gamma$	$G_H \text{ kg/cm}^2$	$M \text{ cm.}$
$F_A = 1,095 t$	0,038	0,608	0,228
$F_B c = 5t$	0,173	2,778	1,038.
$F_S = 4,36 t$	0,151	4,422	0,906.

Distorsion de rotation.

$\gamma$  = angle de rotation de la poutre.

$V$  = Distance de la fibre la plus sollicitée à l'axe neutre de la section mixte.

$U$  = Distorsion  $U = V \gamma$

$\operatorname{tg} \gamma = \frac{U}{V}$   $G_H = G \operatorname{tg} \gamma$   $H = a \cdot b \cdot G_H$ .  
la rotation de la dilatation est de  $3 \cdot 10^{-3} \text{ rad.}$

$n$	charges	$V \text{ (cm)}$	$C \text{ (rad)}$	$U \text{ (cm)}$	$E \operatorname{tg} \gamma$	$G_H \text{ (kg/cm}^2)$	$H \text{ kg}$
$\infty$	$C_P$	64,95	$0,593 \cdot 10^{-2}$	0,384	$6,40 \cdot 10^2$	0,51	918,00
19	$C_{CP}$	92,32	$0,569 \cdot 10^{-3}$	0,052	$9,66 \cdot 10^{-3}$	0,07	126,00
15	retrait	95,79	$0,78 \cdot 10^{-3}$	0,071	$1,17 \cdot 10^{-3}$	0,009	16,20
15	Dilatation	95,79	$3 \cdot 10^{-3}$	0,287	$4,78 \cdot 10^{-2}$	0,286	514
6	A. 2 voies	114,77	$2,94 \cdot 10^{-3}$	$3,37 \cdot 10^{-1}$	$5,63 \cdot 10^{-2}$	$4,5 \cdot 10^{-1}$	810
6	B.C. 2 voies	114,77	$2,617 \cdot 10^{-3}$	$3,00 \cdot 10^1$	$5,07 \cdot 10^{-2}$	$4,01 \cdot 10^{-1}$	721
6	B.T. 2 bandes	114,77	$1,928 \cdot 10^3$	$2,44 \cdot 10^{-1}$	$3,69 \cdot 10^{-2}$	$2,95 \cdot 10^{-1}$	513
6	$M_C 120$	114,77	$4,191 \cdot 10^{-3}$	$4,91 \cdot 10^{-1}$	$8,03 \cdot 10^{-2}$	$6,427 \cdot 10^{-1}$	1155
6	système $\triangleright$	114,77	$4,661 \cdot 10^{-3}$	$5,349 \cdot 10^{-1}$	$8,93 \cdot 10^{-2}$	$7,15 \cdot 10^{-1}$	1297
6	surcharge $\downarrow$	114,77	$0,115 \cdot 10^3$	$1,33 \cdot 10^{-2}$	$2,218 \cdot 10^{-2}$	$1,774 \cdot 10^{-2}$	31,96
6	B.C. Min.	114,77	$0,105 \cdot 10^3$	0,012	$2,00 \cdot 10^{-2}$	$1,610 \cdot 10^{-2}$	48,80

$G_H \text{ max} = G_{Hcp} + G_{HCCP} + G_{Hret} + G_{Hdil} + G_{Hsurch.} + G_{Htot} = 1,61 \text{ rad.}$   
rotation due aux déformations montage =  $\gamma_0 = 3 \cdot 10^{-3} \text{ rad.}$

$G_{1T} = \gamma_0 + G_{cp} + G_{ccp} + G_{rot} + G_x$ .

$G_x = G_{MC 120}; G_{SD}, G_{BT}, G_{BC}, G_A$ .

$G_{2T} = \gamma_0 + G_{cp} + G_{ccp} + G_{BCmin}$ .

contraintes sans.  $G_{iT}$ . (d'après document SETRA).

$$G_{i1} = \frac{G}{2} \left( \frac{a}{c} \right)^2 \frac{G_{1T}}{n}$$

$G_{i1} = 7,14; G_{i2} = 6,91; G_{i3} = 6,12; G_{i4} = 5,78; G_{i5} = 4,8; G_{i6} = 6,28$   
Limitation des contraintes de cisaillement. (selon SETRA) sans freinage :

$$G = G_N + G_H + G_C \leq 5G$$

cisaillement. Force horizontale. rotation

$$G = 21,36 \leq 5G = 40 \text{ kg/cm}^2$$

avec freinage :  $G = 23,43 \leq 5G = 40 \text{ kg/cm}^2$ .

Pour la somme des contraintes de cisaillement, on doit vérifier que

$$\mathcal{G}_{H1} + 0,5 \mathcal{G}_{H2} \leq 0,7 G.$$

$\mathcal{G}_{H1}$  somme des contraintes de cisaillement.

$$\mathcal{G}_{H2} = \frac{H_2}{a \cdot b} = \frac{5000}{1800} = 2,78 \text{ kg/cm}^2.$$

$$\mathcal{G}_{H1} + 0,5 \mathcal{G}_{H2} = 2,269 < 0,7 \times 8 = 5,6 \text{ kg/cm}^2.$$

Seisme plus freinage (effort max. système D)

$$\mathcal{G}_N = \mathcal{G}_{Ncp} + \mathcal{G}_{Nccp} + \mathcal{G}_{Ntrottoir} + \mathcal{G}_{NO} = 12,61 \text{ kg/cm}^2$$

$$\mathcal{G}_H = \mathcal{G}_{Hf} + \mathcal{G}_{HSi} + \mathcal{G}_{H dil} + \mathcal{G}_{H retrait} = 5,495 \text{ kg/cm}^2$$

$$\mathcal{G}_C = 7,14.$$

$$\mathcal{G} = \mathcal{G}_N + \mathcal{G}_H + \mathcal{G}_C = 25,25 \leq 40 \text{ kg/cm}^2.$$

On doit vérifier que  $\mathcal{G}_{H1} + 0,5 \mathcal{G}_{H2} \leq 0,7 G$

$$\mathcal{G}_{H1} = \mathcal{G}_{Hcp} + \mathcal{G}_{Hccp} + \mathcal{G}_{H retrait} + \mathcal{G}_{H dil} = 0,875.$$

$$\mathcal{G}_{H2} = \frac{BC + \text{seisme}}{a \cdot b} = \frac{5000 + 43600}{60 \times 30} = 5,20 \text{ kg/cm}^2.$$

$$\mathcal{G}_{H1} + 0,5 \mathcal{G}_{H2} = 3,475 < 0,7 G = 5,6 \text{ kg/cm}^2.$$

selon SETRA : La limitation de la contrainte moyenne de compression  $\gamma_m$  est calculée comme suit :  $\gamma_m \frac{N}{a \cdot b} = 70.04 \text{ kg/cm}^2 < 150 \text{ kg/cm}^2$ .

la contrainte moyenne de cisaillement est inférieur à 150, valeur fixée par les règles de la SETRA donc la surface d'impact de l'appareil d'appui est convenable ( $30 \times 60$ )

Condition de non glissement et de non cheminement.  
d'après "SETRA" il faut vérifier les 2 conditions suivantes.

$$\gamma_{min} \frac{N}{a \cdot b} \geq 20 \text{ kg/cm}^2 \quad \text{et} \quad H = f \cdot N.$$

$$\gamma_{min} = \frac{Ncp + Nccp + NBcm_{min}}{a \cdot b} = \frac{70.900}{1800} = 39,33 \text{ kg/cm}^2 > 20 \text{ kg/cm}^2$$

$$f = 0,12 + \frac{0,2}{\gamma_{min}} = 0,12 + \frac{0,2}{39,33} = 0,1251.$$

$$f \cdot N = 8857,08 \text{ kg}.$$

au freinage  $H = 5000 < 8857,08 \text{ kg}$ .

au seisme  $H_{Si} = 43600 < 8857,08 \text{ kg}$ .

au freinage + Seisme =  $9360 > 8857,08 \text{ kg} \quad \pm 6\%$ .

il y a lieu de prévoir des butées parasismiques.

condition de non soulèvement

verification à faire.

$$\alpha t \leq \frac{3}{\beta} \left( \frac{E}{d} \right)^2 \gamma_{\text{max}}^{\text{mm}} \quad \alpha t = \frac{C_i T}{n}; \gamma_m = 70,04.$$

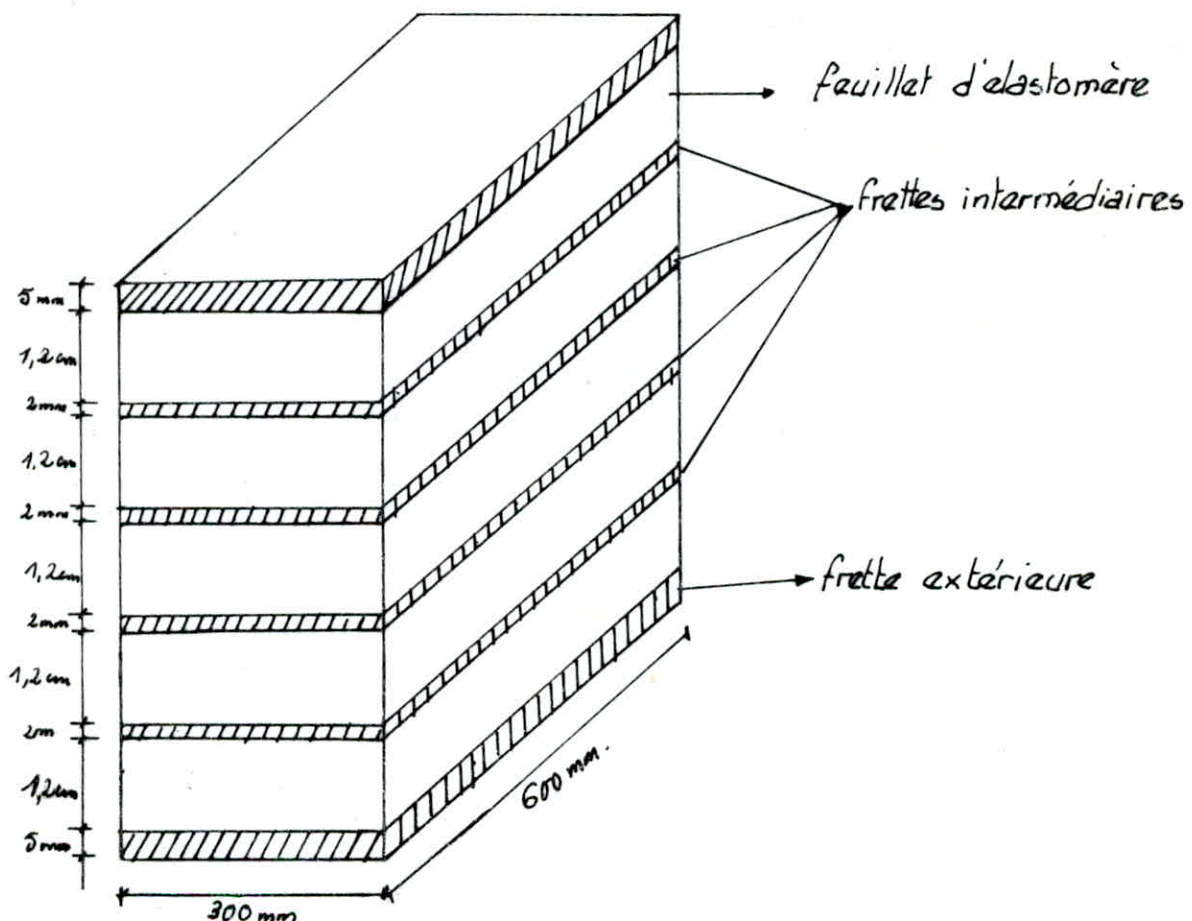
$$\begin{aligned} \alpha t_1 &= 2,95 \cdot 10^{-3} < 5,04 \cdot 10^{-3} \text{ rad} & \alpha t_2 &= 2,76 \cdot 10^{-3} < 5,00 \cdot 10^{-3} \text{ rad.} \\ \alpha t_3 &= 1,44 \cdot 10^{-3} < 4,52 \cdot 10^{-3} \text{ rad} & \alpha t_4 &= 2,31 \cdot 10^{-3} < 3,44 \cdot 10^{-3} \text{ rad.} \\ \alpha t_5 &= 1,92 \cdot 10^{-3} < 2,83 \cdot 10^{-3} \text{ rad.} & \alpha t_6 &= 2,51 \cdot 10^{-3} < 3,67 \cdot 10^{-3} \text{ rad} \end{aligned}$$

Conclusion: il n'y a pas risque de soulèvement.

Dimensionnement des frettés.

$$E_s > \frac{a}{\beta} \frac{\gamma_m}{\gamma_e} = \frac{30 \times 70,04}{8,333 \times 2400} = 1,05 \text{ mm.}$$

La SETRA préconise une épaisseur minimale de  $t \geq 2 \text{ mm}$ .  
on prendra  $T_S = 2 \text{ mm}$ .



**PILE**

## La pile

Le pont à quatre travées reposent sur 3 piles intermédiaires de différentes hauteur.

Ces hauteurs sont conditionnées par le profile en travers du relevé topographique et par le niveau de la chaussée finie.

Nous nous sommes intéressé particulièrement à la pile médiane qui présente une hauteur importante et qui de ce fait est la plus exposée aux risques de flambement.

Cette pile se compose de 2 fûts évidés surmonté d'un chevêtre.

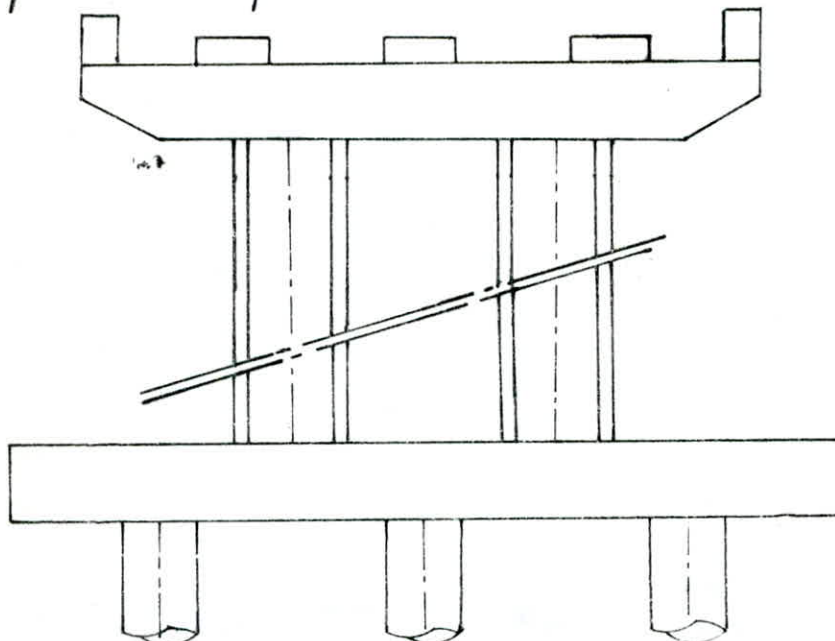
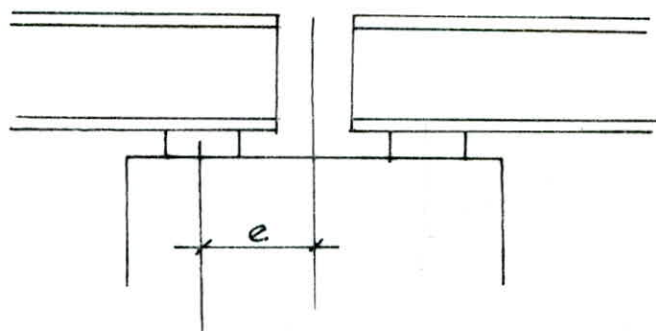


Tableau récapitulatif des charges permanentes

Éléments	Dimensions	$N$ (à sec)	$N_{au}$ (PHE)
tablier	Dalle + poutre principale + entretoise	387,2 t	337,2 t
Oés d'appui	$3(0,7 \times 1 \times 0,25) \times 2,5$	1,31 t	1,31 t
chevêtre	$[1,7 \times 1,6 \times 9] - [0,8 \times 0,8 \times 1,7] \times 2,5$	58,48 t	30,40 t
Fûts	$2 \times 3,14 \times \frac{(1,7^2 - 1,1^2)}{4} \times 19,75 \times 2,5$	90,94 t	47,29 t
Semelle	$4 \times 11 \times 1 \times 2,5$	110 t	57,2 t
Butee parasismiq - u <sub>2</sub>	$2(1 \times 0,3 \times 1,70) \times 2,5$	2,55 t	2,55 t
$\Sigma$		600,48 t	475,95 t

efforts dûs aux surcharges d'exploitation.

On envisage tous les cas possibles de changement et on calculera dans chaque cas l'effort normal ( $N$ ) le moment dans le sens longitudinal du pont ( $M_l$ ) qui est dû à l'excentrement d'e l'appareil d'appui par rapport à l'axe du chevêtre, cet excentrement sera traduit selon le schéma suivant



$$\text{donc } M_l = N \cdot e.$$

l'effort normal ( $N$ ) provoque aussi un moment transversal  $M_t = N \cdot d$  où  $d$  est la distance dans le sens transversal du pont entre l'axe du système porteur (coefficient de répartition poutres principales) et le point d'application de la résultante de surcharge considérée. On calculera l'effort de freinage.

tous les efforts sont exprimés sous forme tabulaire.

Une travée chargée :

$e$  : excentricité en les réactions d'appuis de l'axe du chevêtre

$d$  : excentricité des résultantes des surcharges de l'axe de la chaussée.

surcharge	$N (t)$	$H (t)$	$d (m)$	$M_t (tm)$	$\ell (m)$	$n_e (tm)$
A	voie 1	68,48		2,00	136,96	0,30
	voies 2	186,98		0	0	0,30
freinage		5,48			21	115,08
Bc	voie 1	55,08		2,75	151,47	0,30
	voies 2	100,98 <sup>1,2</sup>		1,75	151,47	0,30
freinage		15			21	315,00
Bc min	33,84		2,75	93,06	0,30	10,15
Bt	landau 1	87,54		2,5	93,94	0,30
	landau 2	75,07		1	75,07	0,30
Mc 120	118,56		1,71	202,73	0,30	35,57
système D	199,0		0,5	99,50	0,30	59,40
$\frac{\text{t}}{\text{t}}$	1	2,7	4,6	12,15	0,30	0,81
	2	5,4	0	0	0,30	1,62

↑ Bc. Bt. Mc 120. syst. D. (pondérés)

A

## 2 travées chargées:

Surcharges	$N(t)$	$H(t)$	$d(m)$	$Mt(tm)$	$C(m)$	$Mc(tm)$
A	1voie	136,96		2,00	273,93	0,30
	2voies	273,03		0	0	0,30
Freinage		7,27			21	152,73
Bc	1voie	59,04		2,75	162,36	0,30
	2voies	129,81		1,5	194,92	0,30
Freinage		15			21	315
Bc min	34,45		2,75	94,73	0,30	0
Bt	1band	37,53		2,5	93,92	0,30
	2band	75,07		1	75,07	0,30
MC 120	125,26		1,71	214,19	0,30	0
Systemed	127,64		0,5	60,82	0,30	0
Total	1	5,4	4,5	24,3	0,30	0
Total	2	10,9	0	0	0,30	0

Etude du fut.

1 détermination des efforts: Les efforts s'exerçant sont donnés par le changement  $Bc \text{ min}$ .

$$CP + Bc \text{ min} + \text{surchar trottoir} + \text{freinage} + \text{effet de courant}.$$

$$CP = 65,66 + 31,92 + 337,2 + 1,31 = 437,23 t.$$

$$CP + \text{surcharge} = 437,23 + 5,4 + 33,94 = 476,47 t.$$

L'effort normal revenant pour chaque fut est de.

$$Nf = \frac{476,47}{2} = 238,23 t.$$

effet de courant.  $h = 5 \text{ m. hauteur maximum de crue.}$

$$fc = KSV^2 \quad v = 5 \text{ m/s vitesse au niveau supérieur.}$$

$S = \text{surface de contacte de l'eau avec le fut}$

$$fc = 35 \times 5 \times 1,7 \times 2,5 = 7,437 t.$$

$$Mt_c = 7,437 \times 16,71 = 123,53 \text{ tm.}$$

$$Mt_T = 123,53 + 24,3 + 5,076 + 93,78 = 246,09 \text{ tm}$$

Le moment ( $Mt$ ) transversal agit sur les 2 fûts comme étant un couple de force de traction et de compression.

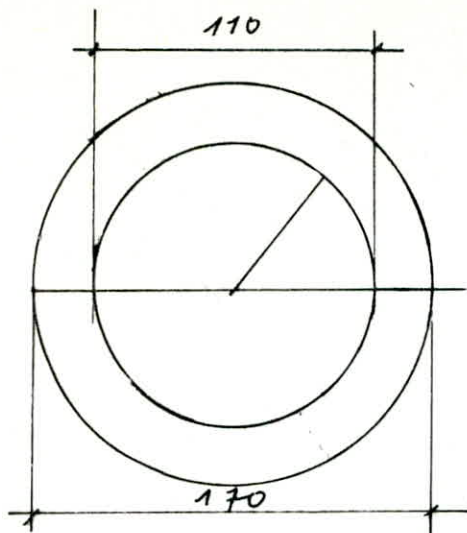
$$N: Mt = \frac{246,09}{5} = 49,21 t.$$

L'effort normal, s'exerçant sur le fut quand le couple de force exerce une compression sur celui-ci est.

$$N = 238,25 + 49,21 = 287,44 t.$$

Le moment longitudinal créé par l'effort de freinage est de 320,076 tm. L'effort revenant pour chaque fut est de 160,038 t.

Le fut est soumis à un effort normal  $N$  et un moment fléchissant  $M \Rightarrow$  il est soumis à une flexion composée



$$\begin{aligned} i &= 50,61 \\ \lambda &= 75,66 \end{aligned}$$

$50 < \lambda < 150$  cet élancement en flexion composée provoque une excentricité additionnelle.

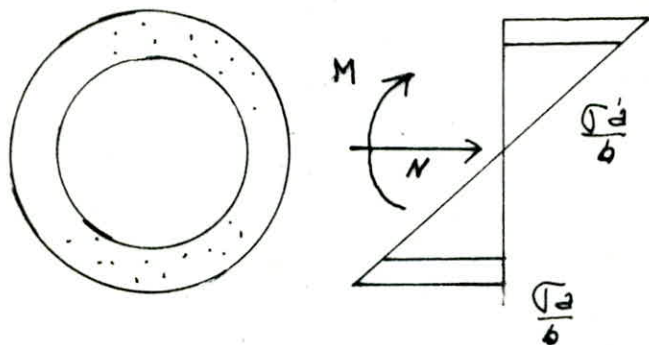
$$f_c = \frac{8i^2}{V} (1 + \gamma) 10^{-3} (\lambda' - 50)^{3/2}$$

$$\lambda'^2 = \lambda^2 + \frac{33000}{1+0,63} \quad \frac{e}{ht} = 114,65 \Rightarrow f_c = 2,20 \text{ m}$$

$$\text{excentricité total} = e + f_c = 2,75 \text{ m.}$$

$\ell > \frac{R}{2} \Rightarrow$  la section est partiellement comprimée

$$M_G = N \cdot e = 2,75 \times 2.87,44 = 792,41.$$



## II ferrailage :

ferrailage d'après CHARRON.  $\eta = 1,96$      $\bar{\omega} = 2,45$   
 $\mu = 0,26$      $K = 24,6$ .

$$\Rightarrow A = \bar{\omega} \frac{\beta}{100} = 323,10 \text{ cm}^2$$

$$\text{on prendra } A = 329,72 \text{ cm}^2 = 41 T 32.$$

## verification des contraintes :

$$\sigma_b = \frac{\sigma_a}{K} = \frac{2670}{24,6} = 108,53 \text{ kg/cm}^2$$

$$\sigma_a = 15 \times 108,53 = 1.618,04 \text{ kg/cm}^2.$$

### Armature transversale :

on mettra des cercles en HA12. Espaces de 20 cm en zone courante par contre à la base du fût au doit

$$\text{Avoir } \gamma = 4 > \frac{0,4 \cdot \phi e^2 \gamma_{\text{en } l'}}{\phi t^2 \text{ Gant}} = \frac{0,4 \times (32)^2 \cdot 2670}{12^2 \cdot 2850} = 2,71$$

On gardera le même espace t=20 cm on disposera les cercles en 2 couronnes.

verification à la résistance sous les sollicitations du 2<sup>e</sup> genre  
la contrainte la plus défavorable.

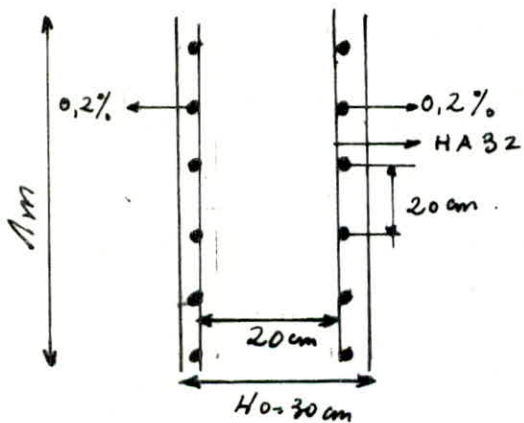
CP + Bemis + freinage + si

l'effet du séisme sous le fût se produit par une force horizontale H de direction quelconque et une force verticale V ascendante ou descendante.

Conclusion : la section d'aciéris trouvée en service normal & reste valable en service exceptionnel.

verification de l'effort tranchant sous la sollicitation du séisme

soit  $H = 49,90 \text{ kN}$ .



Soit la vérification d'après  
MARIUS DIVERS

$$S = 30 \times 100 = 3000 \text{ cm}^2$$

$$A = S \times w = 3000 \times \frac{0,4}{100} = 12 \text{ m}^2$$

$$A_{\text{ex}} - A_{\text{int}} = \frac{A}{2} = 6 \text{ cm}^2 \Rightarrow 6,78 \text{ cm}^2 \rightarrow 6 \cdot \text{HA 12.}$$

$$\Gamma_{\text{dm}} = \frac{100 H}{1,6 s_m \cdot \sum c_w h_o} = \frac{100 \times 49,900}{1,6 \times 1,4 \times 0,4 \times 0,3} = 1956,66 \text{ kg/cm}^2$$

## Etude du chevêtre

Le chevêtre est une poutre rigide de dimension  $9 \times 1,6 \times 1,7$  qui assure l'assise des poutres principales par l'intermédiaire des appuis et transmet les différentes sollicitations vers les 2 fûts constituant la pile. Le schéma statique est une poutre encastrée aux fûts.

Les efforts agissant sur le chevêtre

Le poids propre du chevêtre  $g = 6,8 \text{ t/m}^2$   
charge du tablier reprise par dés d'appuis  $P_1 = \frac{337,2}{3} = 112,0 \text{ t}$ .

butee para sismique 2 butés  $2,4 \text{ t}$   $P_2 = 1,2 \text{ t}$   
dés d'appuis  $P_3 = \frac{1,31}{3} = 0,43 \text{ t}$ .

surcharges reparties d'après M<sup>r</sup> COURBON.

Tableau des valeurs majorées pondérées

les charges	surcharges A - 2 voies (t)	B C 2 convois (t)	système MC 120 (t)	système D (t)	surcharge trottoirs (t)
valeurs	45,66	73,66	77,91 t	79,86 t	1,72

La surcharge Maximum est donnée par le système D.

$$\Sigma \text{ surcharge : } S_1 = 79,86 + 1,72 = 81,58 \text{ t.}$$

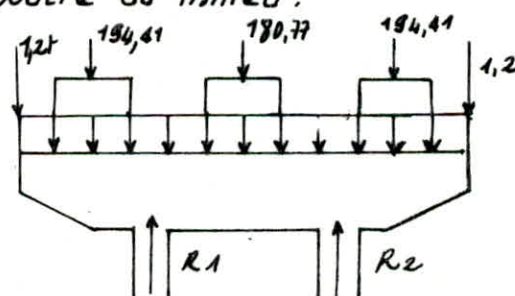
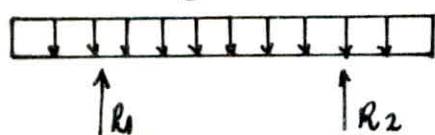
Pour la poutre du milieu  $S_2 = 66,22 + 1,72 = 67,94 \text{ t}$ .  
Somme des surcharges ponctuelles sur poutres de rives.

$$P_1 + P_3 + S_1 = 194,41 \text{ t.}$$

Sommes des surcharges sur poutre du milieu.

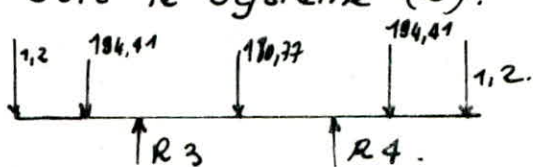
schéma statique :  
calcul des réactions.

soit le système (1)



soit le système (2).

$$R_3 = R_4 = \frac{\Sigma V}{2} = 285,98 \text{ t.}$$



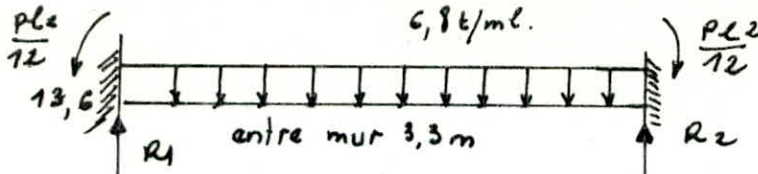
Calcul des moments sous la charge repartie.

a) en console :  $M = \frac{-q a^2}{2} = 13,6 \text{ tm.}$

sous les charges ponctuelles :  $M = -194,41 \times 1,2 + 1,2 \times 2 = -276,24 \text{ tm}$

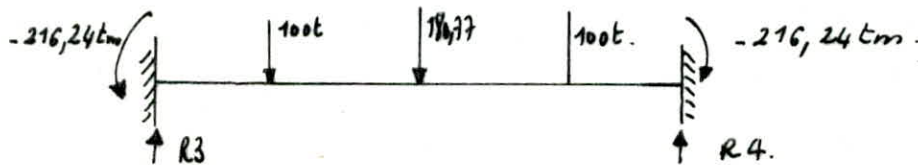
b) à mi-travée :

sous les charges reparties.



$$M_t = -13,6 - 6,8 \frac{(3,3)^2}{12} + 30,60 \times 1,65 - 6,8 \times \frac{1,65}{2}^2 = 21,48 \text{ t.m}$$

sous les surcharges ponctuelles.



$$M_t = 285,98 \times 1,65 - 216,24 - 180,77 \times \frac{3,3}{8} = 181,06 \text{ t.m.}$$

Moment du niveau des appuis.

$$M = -13,6 - 216,24 - 14,6 - 112,98 - 2,4 = -259,38 \text{ t.m.}$$

Moment à mi travée

$$M = 21,48 + 181,06 = +202,53 \text{ t.m.}$$

efforts tranchants:

$$\text{sous appuis: } T = 13,8 + 194,4 = 208,2 \text{ t.m.}$$

$$\text{en travée: } T = 6,8 \times 3,3 + 180,77 - 30,60 - 285,98 = -101,72 \text{ t.}$$

Vérification des contraintes:

$$\bar{\sigma}_b = \frac{\bar{\sigma}_a}{K} = \frac{2670}{46,98} = 56,55 \text{ kg/cm}^2 < 165 \text{ kg/m}^2$$

$$\bar{\tau}_b = \frac{208,20 \cdot 10^{-3}}{7,9 \cdot 156 \cdot 170} = 9,03 \text{ kg/m}^2 \leq \bar{\tau}_b = 24,85 \text{ kg/m}^2$$

$$\bar{\sigma}_b' = \frac{2670}{54,09} = 49,36 \text{ kg/m}^2 < 165 \text{ kg/m}^2.$$

$$\bar{\tau}_b = \frac{101,72 \cdot 10^{-3}}{7,9 \cdot 156 \cdot 170} = 4,38 \text{ kg/m}^2 < \bar{\tau}_b = 24,85 \text{ kg/m}^2$$

Ferraillage: Armatures Supérieurs

$$M = 259,39 \text{ t.m. } h = 155 \text{ cm } \bar{\sigma}_a = 2670 \text{ kg/cm}^2 = 170 \text{ cm.}$$

$$\mu = 0,0357 \rightarrow K = 46,98 \rightarrow \Sigma = 0,9192.$$

$$A = \frac{M}{\Sigma h \bar{\sigma}_a} = \frac{259,39 \cdot 10^5}{0,9192 \cdot 2670 \cdot 155} = 69,1842 \text{ cm}^2.$$

$$15 HA25 \rightarrow 73,62 \text{ cm}^2.$$

Armature inférieure:

$$M = 202,53 \text{ t.m. } h = 155 \text{ m. } \bar{\sigma}_a' = 2670 \text{ kg/cm}^2 \quad b = 170 \text{ cm.}$$

$$\mu = 0,0279 \rightarrow \Sigma = 0,9276 \quad K = 54,09.$$

$$A = 52,75 \text{ cm}^2 \rightarrow 11 HA25 \rightarrow 53,00 \text{ cm}^2.$$

espacement:

$$\bar{F}_{at} = \bar{f}_{at} \cdot \bar{\sigma}_{en} : \quad \bar{\sigma}_{en} = 4200 \text{ kg/m}^2$$

$$\bar{f}_{at} = \max \left\{ 2,3 ; \left[ 1 - 0,3 \frac{\bar{\sigma}_b}{\bar{\sigma}_b} \right] \right\} = 2/3$$

$$\bar{f}_{at} = 2800$$

sur l'appui :  $t = \frac{\bar{f}_{at} \cdot A_f \cdot B}{T}$

$$A_f = 12 \times 10 = 9,42 \text{ m}^2$$

$$t = \frac{2800 \times 9,42 \times 7/8,05}{209,2 \cdot 10^3} = 11 \text{ cm.}$$

au niveau de l'appui on prendra des espacements de 11 cm.  
sur la travée on prendra des espacements de 20 cm.

# Calcul des fondations

74

## I Resultat du rapport de sol:

au droit de la fondation le sondage effectué a donné le profil suivant

Sol I	$c_u = 0,6 \text{ bar}$ $C_u = 20,5$ $\gamma = 1,93 \text{ t/m}^3$	$c'_{res} = 0,32 \text{ bar}$ $C'_{res} = 10$
15m		
Sol II	$c_u = 3,0$ $C_u = 0$ $\gamma = 1,93 \text{ t/m}^3$	
35m		

Les propriétés mécanique du sol (I) étant plus faible à long terme, donc plus défavorable sont retenues pour le calcul de la fondation.

## II Dimensionnement de la fondation :

a) en premier lieu on a fait reprendre les efforts pour une fondation superficielle.  
le coefficient de sécurité calculé été alors inférieur à celui prescrit par le règlement fsl 3 par conséquent cette solution a été écartée.  
on a opté pour un type de fondation profonde pour faire augmenter le coefficient de sécurité.

calcul des pieux : on se propose le groupe de pieux suivant.

a) sollicitation à la tête de chaque pieu.

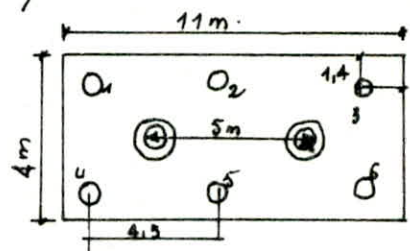
effort le plus défavorable est donc

$$N = CP + A_{av} \cdot 2t \cdot \text{trou} 2t - 2t_{fr} + \text{Freinage}$$

$$N = 748,24 \text{ t} \quad M_f = 273,93 \text{ t.m} \quad n_f = 152,78 \text{ t.m.}$$

$$I_x = 4524 \text{ t}^2 = 40,69.$$

$$I_y = 62 \times 1^2 = 3,0144$$



d'après la S.E.T.R.A la charge  $Q$  produite sur le pieu par le couple d'efforts ( $Q$  v.  $M_f$ ,  $M_e$ ) est donné par.

$$Q = \frac{QV}{n} \pm \left( \frac{M_y X}{I_y} \pm \frac{M_x Y}{I_x} \right) \alpha_m \quad \begin{array}{c} M_x \\ \swarrow \\ \text{Pieu} \\ \uparrow \\ M_y \end{array}$$

les efforts sur chaque pieu :

$$\begin{array}{ccccccc} Q_1 & Q_2 & Q_3 & Q_4 & Q_5 & Q_6 \\ 135,03 \text{ t} & 150,24 \text{ t} & 165,48 \text{ t} & 84,16 \text{ t} & 98,37 \text{ t} & 119,57 \text{ t} \end{array}$$

b) recherche de la profondeur nécessaire du pieu le plus chargé :

on suppose en premier lieu que le pieu est ancré dans le sol I on considère l'effet de pointe et l'effet de frottement.

Pour  $\varphi = 10^\circ$ ,  $\alpha = 0,285$   
pour  $\beta = 0,8 \text{ m}$ .

$$\gamma = 1$$

$$N_f = 2,49$$

$$N_c = 8,45$$

posons l'équation

$$\frac{Q_P}{3} + \frac{Q_f}{2} = F_{max} \quad F_{max} = 165,48 \text{ t} \Rightarrow D = 16,5 \text{ m}$$

D>15: donc la base du pieu est ancrée dans le sol II ce qui fait réduire considérablement l'effet de pointe.

On suppose donc le pieu ancré dans les sols (I) et (II)

$$f_m = f_{m1} + f_{m2}$$

$$f_{m1} = \alpha \gamma \frac{D}{2} + \beta c \quad \text{pour } c = 0,32 \text{ bar.}$$

$$f_{m2} = \alpha \gamma \frac{D}{2} + \beta c \quad \text{pour } c = 3 \text{ bar.} \quad \left| \begin{array}{l} \alpha = 0 \\ \beta = 1 \end{array} \right. \Rightarrow f_{m2} = c$$

$$f_m = \alpha \gamma \frac{D}{2} + \beta c + c_2$$

$$Q_f = (\alpha \gamma \frac{D}{2} + \beta c) D.M.B + c (D-15) M.B = 460,65 t$$

$$Q_P = (\delta D N_q + 1,2 N_c C) \frac{\pi D^2}{4} \quad \text{pour} \quad \left| \begin{array}{l} c = 3 b \\ c = 0 \end{array} \right. \quad \left| \begin{array}{l} N \delta = 0 \\ N q = 1 \\ N c = 51 \end{array} \right.$$

$$Q_P = 93,695 t$$

$$q_d = \frac{Q_f}{3} + \frac{Q_P}{2} > F_{max}$$

Le pieu a une portance de 200t. ce qui est supérieur à  $F_{max}$ .

### Vérification de l'arrachement.

Dans la vérification du 2<sup>em</sup> genre un pieu travaille en traction => risque d'arrachement.

#### \* Principe de calcul à l'arrachement Calcul de la traction admissible.

$$\gamma V_d 15m = \gamma h = 1,93 \times 15 = 28,95 t/m^2$$

$$\gamma v_d 16,5 = \gamma_h(15) + \gamma_h 1,5 = 28,95 + 1,5 \times 1,95 = 30,37 t/m^2$$

Effort de cisaillement

$$\gamma_{15 \times 2} = \gamma_v \cdot \operatorname{tg} \gamma = 28,95 \operatorname{tg} 10^\circ \quad (\text{dans la première couche}).$$

$$= 5,104 t/m^2$$

La traction admissible pour la 1<sup>re</sup> couche

$$T_d = \frac{\gamma_{15 \times 0} \cdot P}{2} = \frac{5,104 \times 15 \times 2,51}{2} = 96,16 t.$$

$$\text{Sous sécurité: } T_d = \frac{96,16}{2} = 48,08 t$$

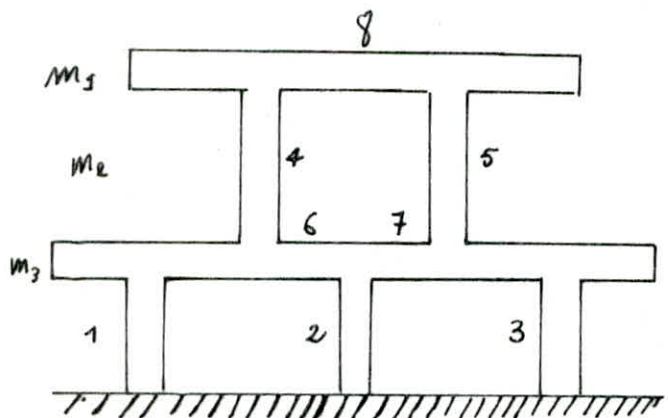
Le pieux qui s'exerce à l'arrachement à une force de traction de 39,37 t < 48,08 => pas de risque d'arrachement

## Ferrailage du pieu.

### I Calcul dynamique de la structure.

on modélise la structure portante du tablier (fut, chevêtre, semelle, fondation) comme un portique à 2 niveaux, où les poteaux du premier niveau sont les pieux, et les poteaux du second niveau sont les fûts. Pour cela nous appliquons la méthode de HOLZER (celle-ci nous permet de déterminer) les différents modes de vibrations.

### II Calcul des Rigidités



valeur des rigidités.

$$R_1 = R_3 = 13,47 \cdot 10^{-3} E$$

$$R_2 = 19,3 \cdot 10^{-3} E$$

$$R_4 = R_5 = 42,81 \cdot 10^{-3} E$$

$$E_b = 21 \cdot 10^9 \sqrt{\sigma_j} = 3,45 \cdot 10^8 \text{ kg/m}^2$$

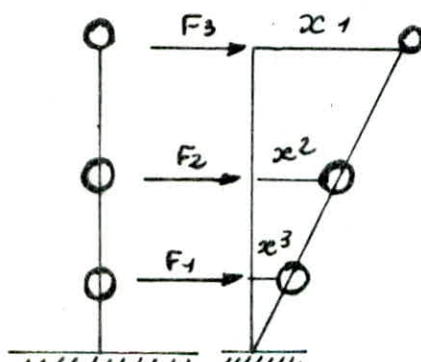
$$\begin{aligned} R_3 &= R_4 + R_5 = 20,54 \cdot 10^4 \text{ N/m.} \\ R_2 &= R_4 + R_5 = 29,54 \cdot 10^4 \text{ N/m.} \\ R_1 &= R_1 + R_2 + R_3 = 14,23 \cdot 10^4 \text{ N/m.} \end{aligned}$$

Les masses :

$$m_1 = 395,686$$

$$m_2 = 131,8 \text{ t.}$$

$$m_3 = 110 \text{ t.}$$



$$x_j = 1 = x_j - \frac{\omega^2}{R_j} \sum_{j=1}^n m_k \times k.$$

$$x_1 = x_2 - \frac{L \omega^2}{R_2} = \sum_{j=1}^n m_k \times k.$$

La condition à la base peut être formulée comme suit :

$$\frac{\omega^2}{R_1} \sum_{k=1}^n m_k \times R = x_2 - \frac{\omega^2}{R_2} \sum_{k=1}^n m_k \times k.$$

après plusieurs itérations

$\omega^2 = 20$  nous donne des vibrations de 1<sup>er</sup> mode.

K	M <sub>k</sub> kg	m <sub>k</sub> ω <sup>2</sup>	X K	m <sub>k</sub> ω <sup>2</sup> × k	R <sub>k</sub> · 10 <sup>6</sup>	$\frac{\sum m_k \times k}{R_k}$
3	395680	7,9136 · 10 <sup>6</sup>	1	7,9136 · 10 <sup>6</sup>	29,54	0,26784
2	131900	2,636 · 10 <sup>6</sup>	0,782	1,62251 · 10 <sup>6</sup>	29,54	0,333
1	110000	2,2 · 10 <sup>6</sup>	0,39913	0,879 · 10 <sup>6</sup>	14,23	0,3947

$$0,39913 \approx 0,3947$$

$$\omega^2 = 20 \Rightarrow T = \frac{2\pi}{\omega} = 1,4 \text{ seconde.}$$

$$x_i^1 = \begin{cases} x_3^1 = 1 \\ x_2^1 = 0,782 \\ x_3^1 = 0,4 \end{cases}$$

$$\eta = \frac{\left( \sum_{k=1}^3 m_k x_{(k)}^2 \right)^2}{\sum_{k=1}^3 m_k x_k^{(1)2}} = 0,932 > 0,98$$

le premier est acceptable.

$$V = ABDQ = 0,72 \times 0,89 \times 1,3 \times 0,66 = 0,09152.$$

$F_{ik} = m_k x_{ik}$  si  $x_{ik} \leq (BT_i) \phi_{ik}$ .

$$F_1 = 4,46 t \quad F_2 = 9,782 t \quad F_3 = 40,723 t.$$

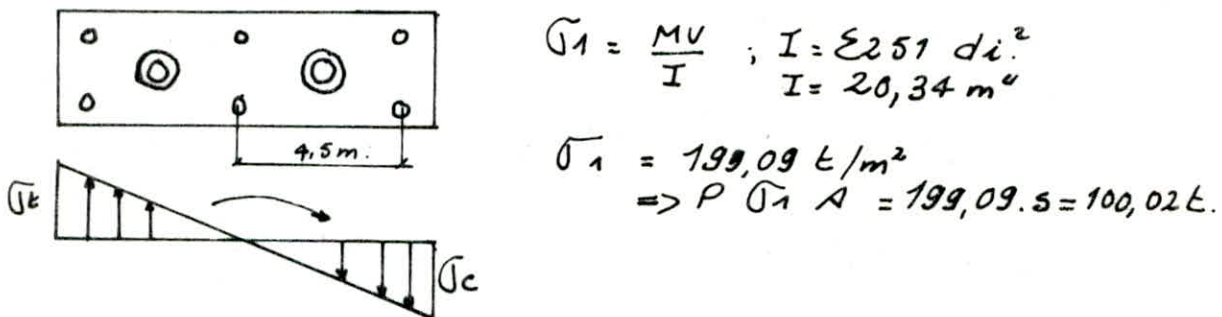
$$\text{Le moment } M = F_3 \times l_3 + F_2 \times h_2 \\ = 40,723 \times 20 + 9,783 \times 10 = 900,29 t.m.$$

l'effort tranchant en tête des pieux.

$$T = F_1 + F_2 + F_3 = 54,367 t$$

I Les efforts agissant sur chaque pieu.

Le moment sismique se décompose en effort normal.



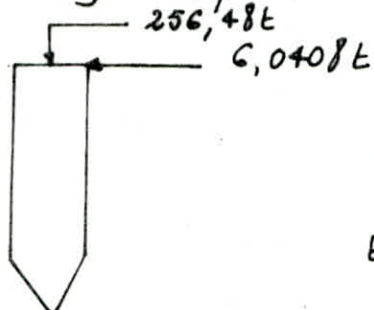
sous la sollicitation du 2<sup>ème</sup> genre.

l'effort agissant est de  $G + 1,2P + S = 265,50 \text{ t}$

l'effort horizontal agissant sur un pieu.

$$h_s = \frac{H}{6} = \frac{54,367}{6} = 6,0408 \text{ t.}$$

II Ferrailage du pieu.



le comportement d'un élément flexible dans le sol peut s'exprimer mathématiquement à l'aide de l'équation différentielle du quatrième ordre.

$$EI - \frac{d^4 y}{dx^4} + cby = 0$$

$b$  = diamètre du pieu  $b = 0,8 \text{ m}$   $b' = 1,5b = 1,2 \text{ m}$

$I$  = inertie de la section  $I = (0,8)^4 \cdot \frac{64}{3} = 20 \cdot 10^{-3} \text{ m}^4$

$E$  = Module d'élasticité du matériau  $1,15 \cdot 10^6 \text{ t/m}^2$

Le moment de flexion à la côte 2 du à un effort horizontal  $T_0$  est donné par la formule (d'après MARCEL FORNI)

$$M_c = T_0 \times A$$

$$\alpha \text{ étant la longueur élastique } \alpha = \sqrt{\frac{4EI}{cb}}$$

$$A = \frac{\ell^2}{\alpha} \sin \frac{\pi}{\alpha}$$

$C$  = Coefficient de réaction du sol.

$$\alpha = \sqrt[4]{\frac{4 \times 1,15 \cdot 10^6 \cdot 20 \cdot 10^{-3}}{4500 \times 1,2}} = 2,0316.$$

0m	0
1.m	$A = 0,0053$
2.m	$A = 0,0064$
3.m	$A = 0,0053$
4.m	$A = 0,0048$
5m	$A = 0,0037$
6m	$A = 0,0027$

$$\begin{aligned} M_{\max} &= T_0 \alpha A_{\max} \\ A_{\max} &= 0,0064 \\ \Rightarrow M_{\max} &= 6,0408 \times 2,0316 \times 0,0064 \\ &= 0,0785 \text{ tm.} \end{aligned}$$

Ferraillage d'après P. CHARRON.

$$\ell = \frac{M}{N} = \frac{0,078 \cdot 10^5}{265,48 \cdot 10^3} = 0,0296 \text{ m} \quad \angle \frac{R}{4} \Rightarrow \text{La section est}$$

entièrement comprimée

$$\beta = \frac{4 \cdot \ell}{R} = \frac{4 \times 0,0296}{40} = 0,003.$$

$$\omega = \frac{35}{40} = \frac{\pi}{R} = 0,875 \quad B = 5024 \text{ cm}^2.$$

$$f = \frac{\sigma_b \cdot B}{N} = \frac{165 \cdot 5024}{265480} = 3,1225.$$

$$C = 0,045 \cdot (0,875)^2 \cdot 3,1225 = 0,1076.$$

$$\varepsilon = f - 1 - \beta = 3,1225 - 1 - 0,003 = 2,1195.$$

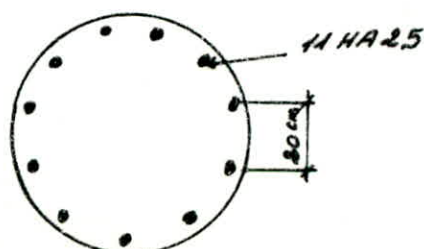
$$D = 0,15 [f \cdot B + 20 (\sqrt{f} - 1)]$$

$$= 0,15 [3,1225 - 0,003 + 2 \times (0,875)^2 (3,1225 - 1)] = 0,955$$

$$\bar{w} = \frac{-D + \sqrt{D^2 - 4CE}}{2C} \quad \text{L}0 \Rightarrow \text{on doit mettre une section d'armature minimum on mettra } 1\% \text{ cad. } A = \frac{1 \cdot 5024}{100} = 50,24 \text{ cm}^2$$

$$\Rightarrow 54,01 \text{ cm}^2 \rightarrow 11 \text{ HA 25.}$$

Pour les armatures transversale on mettra des cercles de HA 10. espacés de 20 cm.



## Ferraillage de la semelle.

I nappe longitudinale.

On adopte la méthode RDM. On supposera que la semelle est appuyée sur les 2 fûts et soumise aux réactions des pieux  $F_1, F_2, F_3$  étant les pieux.

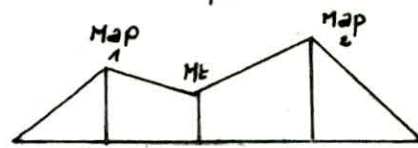
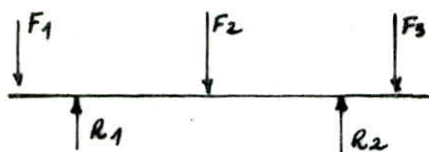


diagramme des moments.

La vérification à la résistance de la semelle sous la sollicitation du 2<sup>e</sup> genre.

La combinaison des efforts à prendre est la même que la sollicitation du 1<sup>er</sup> genre plus le séisme au (PBE).

$$V = 2 \cdot 5 (CP + 0,5 PV) = 2 \times 0,1 (600,48 + 0,3 (5,4 + 136,96)) = 134,33 t.$$

$$N_{\text{SUP}} = 600,48 + 5,4 + 136,96 + 134,33 = 877,17 t.$$

$$M_t(x) = 921,52 + 24,3 + 273 = 1219,75 \text{ tm.}$$

$$n_t(y) = 152,73 \text{ tm.}$$

les efforts sur chaque pieu sont.

$$\begin{aligned} Q_1 &= 61,97 t \\ Q_2 &= 196,86 t \end{aligned}$$

$$\begin{aligned} Q_3 &= 331,76 t \\ Q_4 &= -39,37 t \end{aligned}$$

$$\begin{aligned} Q_5 &= 95,52 t \\ Q_6 &= 230,41 t. \end{aligned}$$

sous la sollicitation du 2<sup>e</sup> genre.

$$f_1 = 61,97 t \quad f_2 = 292,38 t \quad f_3 = 562,17 t.$$

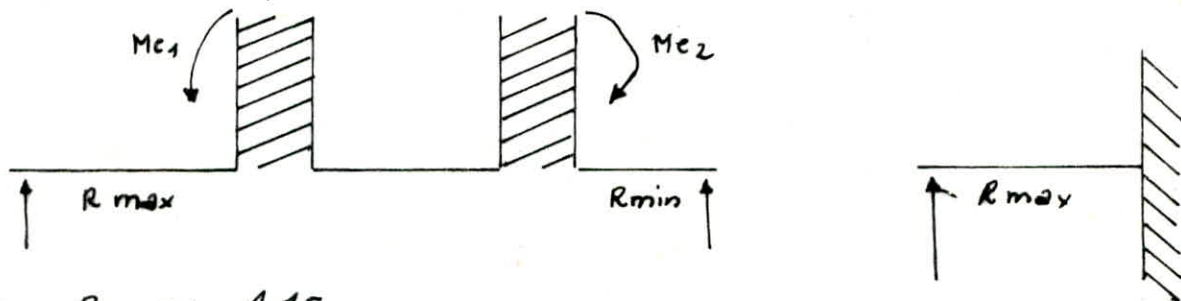
ferraillage et vérification de la semelle dans le sens longitudinal.  
 $ht = 1,40 \text{ m}$        $\ell = 4 \text{ m}$        $L = 11 \text{ m.}$

	les forces	les réactions	Moments	$\mu$	$K$	$\varepsilon$	$A(\text{cm}^2)$	$\sigma'$	$\bar{\sigma} \text{ kg/cm}^2$
1 <sup>er</sup> genre	$F_1$ 219,19 t	$R_1 = 319,65 t$	$M_{1P}^{AP} = 439,38 \text{ tm}$						
	$F_2$ 249,61 t		$M_t = 439,38 \text{ tm}$	0,0144	18,63	0,9466	$54,91 \rightarrow 59,8$ $12 \text{ HA } 25$	46,62	2670
	$F_3$ 280,05 t		$M_{2P}^{AP} = 560,1 \text{ tm}$	0,0432	41,92	0,9420	$170,39 \rightarrow 171,50$ $35 \text{ HA } 25$	63,84	2670.

2 <sup>ème</sup> genre	Les forces	Les réactions	Moments	W	K	$\epsilon$	$A \text{ cm}^2$	$f' \text{ b. kg/cm}^2$	$\bar{\sigma} \text{ kg/cm}^2$
	$F_1 = 61,97 t$		$M_{1P} = 123,94 \text{ tm}$						
		$R_1 = 8,08 t$							
	$F_2 = 292,38 t$		$M_{2P} = 278,94 \text{ tm}$	0,1089	75,91	0,9450	$12 \text{ HA } 25$ $58,8 \text{ cm}^2$	48,95	3716,23
	$F_3 = 562,17 t$	$R_2 = 90,82 t$	$M_{3P} = 1124,34$	0,4764	34,99	0,8956	$32 \text{ HA } 32$ $257,28$	109,89	3614,46

Pour la zone d'appui (1) on disposera les mêmes acier que l'appui (2) avec un espacement de 13 cm sur les lignes des pieux.

II nappe transversale : les pieux travaillent tous en même temps, pour avoir le moment maximum à mi-travee transversalement il faudrait envisager le cas où la réaction sur le pieu est maximum en tenant compte du cas où il y a risque de renversement.



$$M_{c1} = R_{\max} \cdot 1,15.$$

La force de traction dans les aciers est.  $N_a = \frac{M}{3}$

La section d'acier :  $A = \frac{N_a}{f'_a}$ .

La sollicitation du 2<sup>ème</sup> genre nous donne.

2 <sup>ème</sup> genre	$R (\text{t})$	$M_{c1} (\text{tm})$	$N_a (\text{kg/cm}^2)$	$A \text{ cm}^2$	$\bar{\sigma} \text{ kg/cm}^2$	$f' \text{ b. kg/cm}^2$
	331,76	391,52	322979,8	80,74 \text{ cm}^2	4000	78,25

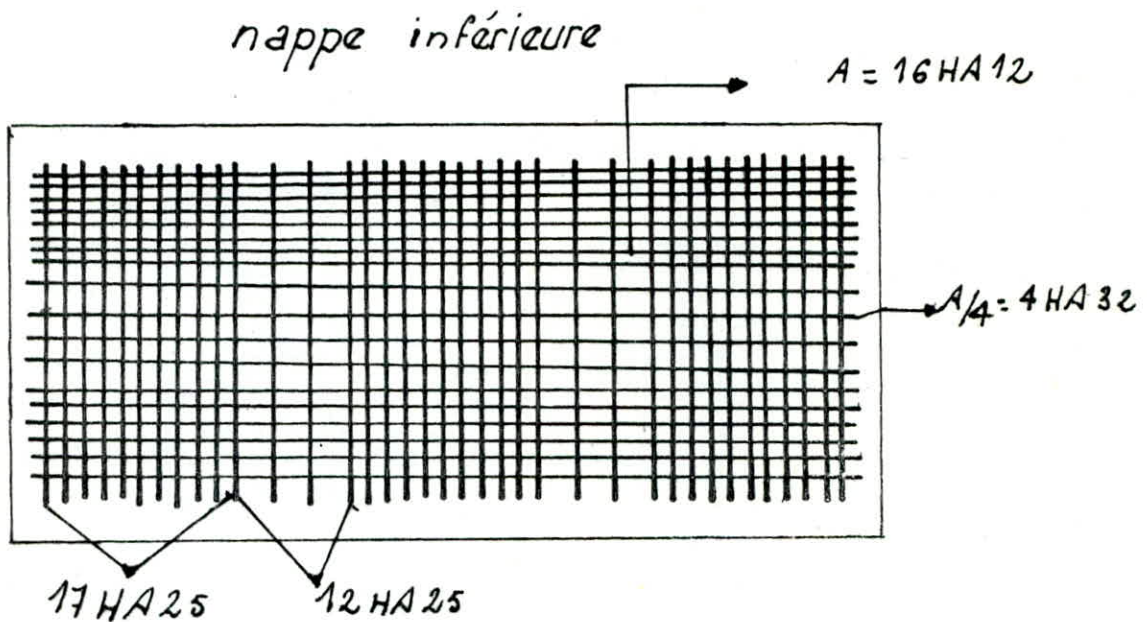
on disposera la section d'acier sur chaque file.  
de 2 pieux dans le sens transversal sur une largeur  
de  $(\emptyset + h)$

$$\emptyset + h = 80 + 135 = 215 \text{ cm.}$$

$$\text{On prendra : } 83,47 \text{ cm}^2 \rightarrow 17 \text{ HA 25.}$$

l'espacement est de 13 cm.

on prendra 12 HA 25 entre 2 files de 2 pieux avec un espace-  
ment de 25 cm.



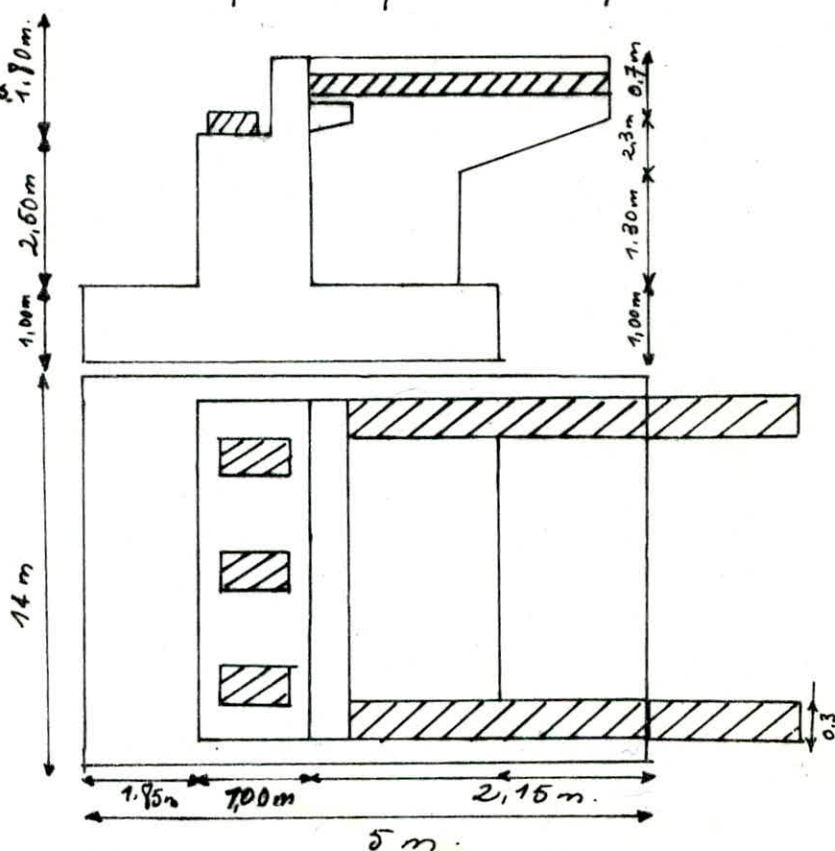
pour la nappe supérieure on mettra des armatures de  
construction.

**C'UILEE**

## La culée

- Les culées sont plantées dans le talus par des semelles superficielles, elles sont composées :
  - d'un mur frontal dont le rôle est de soutenir le tablier et de retenir les poussées des terres.
  - d'un mur garde grève qui fait écran entre le tablier et le remblai.
  - de murs en retour pour reprendre la poussée du remblai.

- \* charges verticales
- poids propre de la culée.
- poids du remblai
- surcharge.



- \* charges horizontales.
- poussée des terres.

a) Coef. de poussée.

Selon Rankine  $N = \frac{1}{2}$  condition normale.

selon coulomb  $N = \frac{3}{2} N_s$  condition sismique.

formule tenant compte de l'effet sismique.

$$N_s = \frac{\cos^2(\phi + \alpha - \theta)}{\cos^2(\alpha + \beta)} \times \frac{K \cos(\delta' - \alpha)}{\sqrt{\frac{\sin(\phi + \delta') \operatorname{surch}(\phi - \beta)}{\cos(\alpha - \delta) \cos(\alpha + \beta)}}}$$

$$\text{avec } K = \sqrt{\frac{\varepsilon_H^2}{I} + \left( \frac{\varepsilon_H}{I} \varepsilon_V \right)^2} ; \quad \theta = \operatorname{arctg} \frac{\varepsilon_H}{\frac{\varepsilon_H}{I} \varepsilon_V}$$

$$\varepsilon_H = 10\% ; \quad \varepsilon_V = 7\% ; \quad \phi \text{ l'angle de frottement interne}$$

$$\phi = 30^\circ ; \quad \alpha = \beta = \delta = 0 \quad \gamma_R = 1.8 \text{ k/m}^3 \text{ (remblai).}$$

On trouve  $N_s = 0.35$ .

# Tableaux regroupant tous les efforts.

Designation	calcul	charge verticale N (t)	Y (m)	M <sub>x</sub> (tm)	X (cm)	M <sub>y</sub> (tm)
semelles	$70 \times 1 \times 2,5$	175	0	0	0	0
Mur de front	$9,0 \times 1,00 \times 2,5 \times 2,5$	56,25	-0,75	-8,437	0	0
corbeau	$\frac{1}{2} (0,5+1) \times 0,6 \times 8,4 \times 2,5$	19,9	0,616	11,642	0	0
Mur de Garde Grève	$\frac{1}{2} (0,3 \times 1,8 \times 9,0 \times 2,5)$	12,15	0,2	2,43	0	0
Dalle de transition	$\frac{1}{2} (0,8 \times 4,4 \times 8,4 \times 2,5)$	9,24	0,66	12,196	0	0
Mur en retour	$2(1,95 \times 0,3 \times 4,3 \times 2,5)$	11,932	1,275	15,21	$\pm 6,65$	0
P'oreille du mur en retour	$2 \frac{(0,7+3) \times 2,55 \times 0,8 \times 2,5}{2}$	7,06	2,295	16,168	$\pm 6,65$	0
Tablier.	130,83.	130,83	-0,25	-32,707	0	0
remblai sur dalle de transit	$\frac{1}{2} (0,5 \times 4,4 \times 8,4 \times 1,8)$	16,63.	0,66	10,975	0	0
terre sur semelle avant	$1 \times 1,95 \times 1,8 \times 14$	46	-1,575	-72,45	0	0
terre sur semelle arrière	$2,75 \times 3,6 \times 1,8 \times 9,4$	117,028	1,225	143,44	0	0
poids de terre sur les 2 côtés de la semelle	$2(0,5 \times 1,80 \times 4,3 \times 5)$	19,35	+1,25	0	$\pm 6,75$	0
charge permanente TOTAL		620,386		+98,46		

Pousée des terres. (charge horizontale).

Designation	calcul	charge horiz H (t)	Z (m)	M <sub>x</sub> (tm)	M <sub>y</sub> (tm)
pousée des terres sur le mur de front	$\frac{1}{2} (28,048 \cdot 5,3)$	74,32	1,76	131,28	0
pousée des terres sur le mur en retour	$\frac{1}{2} (0,35 \times 1,8 \times 5,3 \times 4,4)$	7,345	1,76	0	12,976

Surchage :

Désignation	Calcul	charge horiz. $H_E$	verticale $N(t)$	$y$ (m)	$M(x)$	$x$ (m)	$M(y)$	$s$ (m)
poussee sur mur de front.	$3,528 \times 5,3$ .	18,698			49,55			2,65
poussee sur mur en retour	$0,35 \times 1 \times 1,2 \times 5,3 \times 4,4$	9,794					25,95	2,65
Freinage Bc	$\pm 15$	$\pm 15$			$\pm 79,5$			5,3
Freinage A	$\pm 5,426$	$\pm 5,426$			$\pm 28,75$			5,3
surcharge de remblai			21,66	1,422	30,81			
surcharge de trottoir sur tablier	$2 \times 1 \times \frac{30}{2} \times 0,15 \times 1,2$		5,4	-0,25	-1,35			
surcharge de trottoir sur culée	$2 \times 1 \times 4,6 \times 0,15 \times 1,2$		1,684	-0,25	-0,398			
surcharge A 2 voies	$114,15 \times 1,2$		136,98	0,25	-34,24			
surcharge Bc 2 voies	$109,98 \times 1,2$		121,176	0,25	-30,298			
MC 120	$98,90 \times 1,2$		118,56	0,25	-20,64			
Systeme D.	$165,56 \times 1,2$		188,66	0,25	-49,66			
Bc Min.	33,84		33,84	0,25	-8,46			

Vérification des contraintes sur la sollicitation du 1<sup>er</sup> genre  $G + 1,2P$ .

Combinaison qui donne le cas le plus défavorable est : calculé en service + Bc (2 voies) + surch. trottoir + surch. remblai + freinage résultat obtenu :

$S (m^2)$	$N(t)$	$M_x$	$M_y$	$W_x$	$W_y$	$\sigma_{\max} t/m^2$
70	753,61	-144,44	38,92	58,33	163,33	13,47

$$\sigma_i = \frac{N}{S} + \frac{M_x}{W_x} + \frac{M_y}{W_y}$$

$$\sigma_{\max} = 1,347 \text{ kg/cm}^2$$

contraintes admissibles de sol.

Caractéristique de sol.

$$\sigma = \gamma d (1+w) = 1,03 t/m^3$$

$$\ell_{res} = 10^\circ \Rightarrow N_f = 1,0$$

$$N_q = 2,49$$

$$N_c = 1,45$$

$$\begin{aligned} C' &= 0,6 \text{ bar. elongation} \\ C' &= 20,5 \text{ cas de} \\ C' &= 0,32b/\text{plus} \\ C_{res} &= 10 \text{ /Defavorable} \end{aligned}$$

15m

35m

$$\begin{aligned} C_{res} &= 3,0 \text{ b.} \\ C_u &= 0 \end{aligned}$$

contrainte admissible de sol est :

$$q_x = \bar{\sigma}_s = \gamma d + f \gamma N_f + \gamma d (N_q - 1) + 1,3 \cdot C_{res}$$

$$q_x = \bar{\sigma}_s = 18,68 t/m^2 = 1,87 b.$$

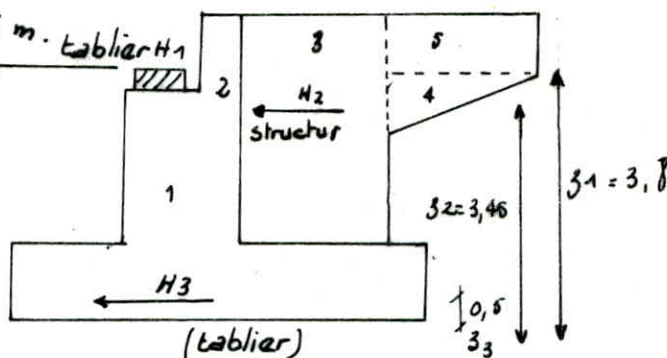
donc on a :  $\sigma_{\max} = 1,347 < \bar{\sigma}_s = 1,87 \text{ kg/m}^2$  vérifier.

## Verification au seisme G + P + SI.

Efforts dûs au seisme.

composante horizontale : pour un élément donné de la construction cette force est appliquée au centre de gravité de l'élément et ayant une direction quelconque. égale à :  $S_{Gv}$  avec  $s = 0,1 = 10\%$  charge permanente.

$$32 = \frac{\sum s_i z_i}{\sum s_i} = 3,45 \text{ m.}$$



$$H_1 = S_{Gv} = 0,1 \times 1,30,83 = 13,083 \text{ t} \quad (\text{tablier})$$

$$H_2 = S_{Gv} = 0,1 (56,25 + 12,15 + 11,932 + 7,076) = 8,74 \text{ t} \quad (\text{structure}).$$

$$H_3 = S_{Gv} = 0,1 \times 175 = 17,5 \quad (\text{Fondation})$$

$$\sum H_i = H = H_1 + H_2 + H_3 = 39,32 \text{ t}.$$

Ces forces provoquent les moments suivants :

$$M_1 = H_1 z_1 = 49,71 \text{ tm.}$$

$$M_2 = H_2 z_2 = 30,153 \text{ tm.}$$

$$M_3 = H_3 z_3 = 8,75 \text{ tm.}$$

$M_T = \sum M_i = 88,61 \text{ tm.}$  (moment dû à la force sismique horizontale).  
poussée des terres : calcul du supplément dû au séisme.

$$H(SI)x = 0,1 \times 17,135 = 1,7135 \text{ t.}$$

$$H(SI)y = 0,1 \times 93,018 = 9,3018 \text{ t.}$$

$$M_x = 180,83 \times 0,1 = -18,083 \text{ t.}$$

$$M_y = 0$$

### Composante verticale

$$Y = \pm 2s(Gv + 0,5 Pv) = \pm 2sGv \pm sPv = \pm (0,2Gv + 0,1Pv)$$

charge permanente.

$$Gv = 620,386 \text{ t.}$$

$$\pm 0,2Gv = \pm 0,2 \times 620,386 = \pm 124,077 \text{ t.}$$

$$\pm 0,2M_x = \pm 0,2 \times 98,46 = \pm 19,69 \text{ tm.}$$

### Surcharge :

surcharge de remblai :  $N = 21,66 \Rightarrow SPv = 0,1 \times 21,66 = 2,166 \text{ t.}$

$$M_x = 30,81 \text{ tm} \Rightarrow SM_x = 0,1 \times 30,81 = 3,081 \text{ tm.}$$

Surcharge de trottoir sur tablier.

$$N = 5,4 \text{ t} \Rightarrow SR = 0,1 \times 5,4 = 0,54 \text{ t.}$$

$$M_x = -1,35 \text{ tm} \Rightarrow SM_x = 0,1 \times 1,35 = 0,135 \text{ tm.}$$

### Surcharge de trottoir sur culée.

$$N = 1,584 \text{ t} \Rightarrow SR = 0,1 \times 1,584 = 0,1584 \text{ t.}$$

$$M_x = -0,898 \text{ tm} \Rightarrow 0,1 \times 0,898 \text{ tm.}$$

surcharge BC:

$$SP_V = 12,1176 t$$

$$SM_X = -3,0294 \text{ tm}$$

freinage :  $B_c : 0,1 M_x = \pm 7,95 \text{ tm}$ .  
 $A : 0,1 M_x = 2,875 \text{ tm}$ .

Combinaison de charge sous la sollicitation du 2<sup>e</sup> genre.

pile culée en service +  $B_{c2V} + \text{freinage} + SI_4^b + SI_V + \text{remblai} + \text{trottoir}$ .

$$N = 938,914 t \quad M_x = -105,41$$

$$\Rightarrow \sigma_{\max} = 10,2 / \text{m}^2 = 1,52 b$$

donc on a  $\sigma_{\max} < 1,33 \text{ f}^- \text{s}$  vérifiée.

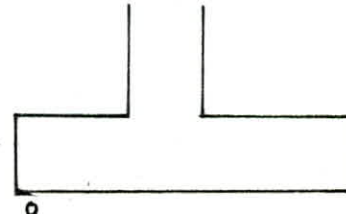
verification.

1- stabilité au renversement.

on doit vérifier que  $\frac{M_s}{M_R} \geq 1,5$ ,  $M_s$ : Moment stabilisant.  
 $M_R$ : Moment renversant.

a) moment stabilisant.

on fait la somme des moments par rapport au point o.



Résultat sous forme de tableau.

charge permanente.

	Fondation	Mur de front	corbeau	mur Garde Grève	Dalle de transition	Tablier	remblai sur dalle de transition	terre sur semelle arrière	terre sur semelle avant
$\checkmark (t)$	175	56,25	18,9	12,15	9,24	130,93	16,63	117,092	46
$X (m)$	2,5	2,35	3,116	2,7	3,15	2,25	3,16	3,920	0,925
$M_s (\text{tm})$	437,5	132,18	59,99	32,905	29,106	294,86	52,55	459,96	42,55

Surcharge.

	Surcharge de trottoir		Surcharge de remblai		Surcharge du trafic routier Système D
	sur tablier	sur culée			
$v (\text{tm})$	5,4	1,594	6,049	15,62	199,66
$X$	2,25	2,25	3,145	4,225	2,25
$M_s (\text{tm})$	12,25	3,56	18,99	65,99	446,95

$\Sigma M_s = 2065,69 \text{ tm}$  (cas le plus défavorable)

$\Sigma M_s \text{ min} = 1518,075$  (pile culée en service).

b) moment renversant

	Poussée des terres	Freinage $B_c$	Freinage $A$	Seisme	
				CP	CCP
$H (\text{t})$	74,32	18,698	15	5,426	39,32
$M_e$	131,29	49,55	79,5	28,75	89,61
					18,083

$$\Sigma MR = 395,773 \text{ t.m}$$

stabilité au renversement:  $\frac{Ms}{MR} = \frac{2065,99}{395,773} = 5,21 > 1,5$  vérifiée.

b) stabilité au glissement: on doit vérifier que  $\frac{V}{H} u \geq 1,5$ .

$$\Sigma V = 902,52 t$$

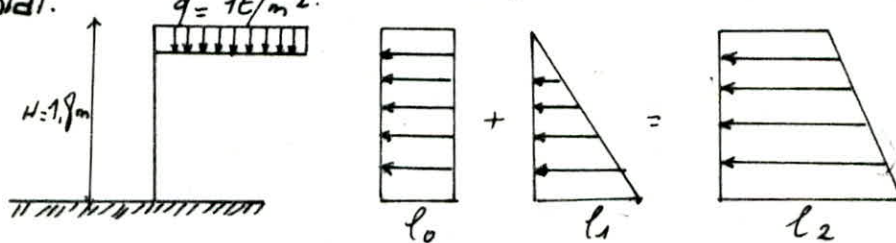
$$\Sigma H = 162,064 t \Rightarrow \frac{Vu}{H} = 2,857 > 1,5 \text{ vérifiée.}$$

$$u = \operatorname{tg} \phi = \operatorname{tg} 20^\circ = 0,577 \text{ (l'angle de frottement interne).}$$

- Effort sur le mur garde Grève -

Le mur garde Grève est supposé encastrer à sa partie inférieure au mur frontal.

les sollicitations sont dues au poussée des terres et au surcharge sur remblai.



surcharge sur remblai étant égal à  $q = 1t/m^2$

$$l_0 = N_s q = 0,35 \times 1 \times 1,2 = 0,42 t/m^2; l_1 = \sqrt{\gamma H} = \sqrt{1,2 \times 1,9} = 1,296 t/m^2$$

poussée totale au niveau de l'enca斯特rement:  $l = l_0 + l_1 = 1,696 t/m^2$

$$M_1 = N_s q \frac{H^2}{2} = 0,648 t.m/m.l; M_2 = N_s \gamma \frac{H^2}{2} = 1,83 t.m/m.l.$$

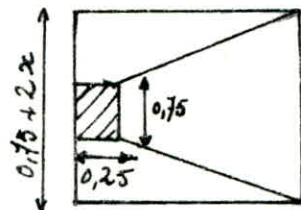
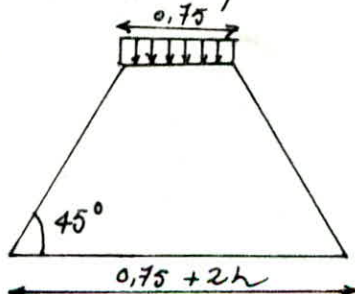
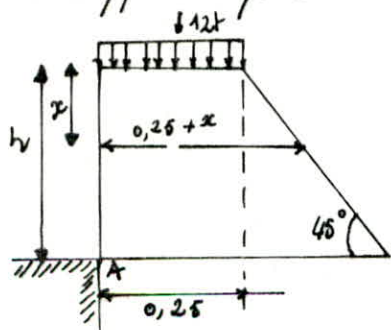
$$M = M_1 + M_2 = 2,478 t.m/m.l.$$

$$Q_1 = N_s q H = 0,72 t/m.l; Q_2 = \frac{1}{2} \sqrt{\gamma H^2}.$$

$$Q = Q_1 + Q_2 = 1,8864 t/m.l.$$

Poussée d'une charge locale située derrière le mur de garde grève  
l'effet le plus défavorable est produit par 2 roues arrières de 6t de  
deux camions accolés.

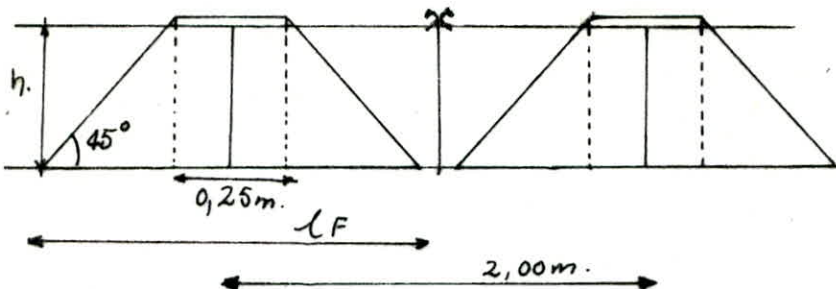
on suppose qu'on une charge de 12t reporté sur un rectangle de  $0,25 \times 0,75$



Le moment d'encaissement en A est.

$$M = \frac{12K}{0,75+2h} (h + 0,25) [\log(0,25 + h) - \log 0,25 - h] = 2,74 \text{ t.m/m.l.}$$

# Force de freinage d'un essieu.



on considère un essieu au contact du garde grève et l'on néglige l'effet de l'autre essieu situé à 15m en arrière.

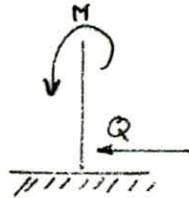
La répartition est faite sur une bande de :  $\frac{L}{l_F} = \frac{0,25 + 2h}{0,25} = 3,85 \text{ m}$ .  
poids d'une roue est :  $6t$  donc  $M_F = \frac{6h \times 1,2}{0,25 + 2h} = 3,36 \text{ t/m.l}$ .

le moment total est :  $M = \sum M_i = 8,57 \text{ t.m./m.l}$ .

et l'effort horizontale (effort tranchant) est  $T = Q = \sum Q_i = 1,996 \text{ t/m.l}$ .

Ferraillage : (à l'aide des abaques de P. Charon)

a) ferraillage verticale arrière (côté du remblai)  
 $h = 30 - 3 = 27 \text{ cm}$  ;  $b = 100 \text{ cm}$ .



$$M = \frac{15M}{\bar{\sigma} b h^2} = 0,0629 \Rightarrow \varepsilon = 0,1963. \quad K = 33,2 \quad \bar{\omega} = 0,3219.$$

$$A = \frac{M}{\bar{\sigma} \varepsilon h} = 12,6 \text{ cm}^2/\text{m.l} \text{ on prend } 7HA16 = 14,07 \text{ cm}^2.$$

$$\bar{\sigma} = \frac{\bar{\sigma}_a}{K} = \frac{2800}{33,2} = 84,38 \text{ kg/cm}^2 < \bar{\sigma}_b'$$

contrainte de fissuration  $\bar{\sigma}_{\max} = \bar{\sigma}_1 = 1903,2 \text{ kg/cm}^2$   
donc on prend  $\bar{\sigma}_a = \bar{\sigma}_1 = 1903,2 \text{ kg/cm}^2$ .  
 $\mu = 0,0977 \rightarrow \varepsilon = 0,8753, K = 25,1$ .

section d'acier recalculée  $A = 20,11 \text{ cm}^2/\text{m.l}$ . soit  $7HA20 = 21,99 \text{ cm}^2/\text{m.l}$

$$\bar{\sigma}_b' = 1903,2 = 71,84 \text{ kg/cm}^2 < \bar{\sigma}_b'.$$

Ferraillage vertical avant (côté opposé au remblai).

le moment d'encastrément des gardes grèves est estimé à  
 $M_{\min} = 3,2 \text{ t.m./m.l}$  quelque soit la hauteur du garde grève

$$\mu = \frac{15 \times 3,2 \times 10^5}{2800 \times 100 \times 27^2} = 0,023 \rightarrow \varepsilon = 0,9338, K = 60,5.$$

$$A = \frac{3,2 \cdot 10^5}{2800 \times 0,9338 \times 27} = 4,53 \text{ cm}^2/\text{m.l} \text{ soit } 4HA14 = 6,16 \text{ cm}^2/\text{m.l}$$

## calcul de la dalle de transition

- elle évite tout tassement de la chaussée entraîné par le tassement du remblai.

Dimension de la dalle:

- largeur: 4,40 m.
- longueur: 8,40 m.
- épaisseur: 0,2 m

Longueur élastique:  $\ell_e = \sqrt[4]{\frac{4EI}{Kb}}$  (A. FUENTE: calcul pratique des ossatures)

$$I = \frac{bh^3}{12} = \frac{100 \times 20^3}{12} = 66666,67 \text{ cm}^4$$

$E$ : module d'élasticité  $\approx 2000 \text{ oo}$  dan/cm<sup>2</sup>       $b$ : longueur de l'élément = 1m  
 $K$ : coefficient de raideur du sol = 2 dan/cm<sup>2</sup> (remblai)

soit  $\ell_e = 127,78 \text{ cm}$ .

on compare  $\ell$  à  $\frac{\ell_e}{2}$ .

si  $\ell \leq \frac{\ell_e}{2}$  le calcul peut être fait en supposant une répartition linéaire des contraintes.

- si  $\ell > \frac{\ell_e}{2}$  il y a lieu de faire des calculs relatifs à la poutre du sol élastique.

\* La pression en un point est égal à:  $p = Ky$ .

$$\ell = 4,4 \text{ m} > \frac{\ell_e}{2} = 2,0106 \text{ m}$$

calcul des sollicitations.

- poids propre:  $2,5 \times 0,2 \times 1 \times 1 = 0,5 t/m^2/m\ell$ .
- remblai sur dalle:  $1,8 \times 0,5 \times 1 \times 1 = 0,9$ .
- surcharge sur remblai:  $1 \times 1,2 = 1,2$
- donc  $P = 0,5 + 0,9 + 1,2 = 2,6 t/m^2/m\ell$ .

calcul de la réaction du remblai sur la dalle:

cette réaction est  $p = Ky$ .

la résultante sur la dalle est:  $q = P - p = P - Ky$ .

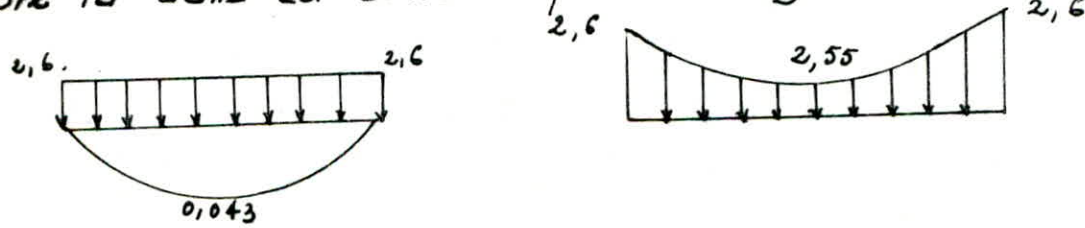
pour une poutre uniformément chargée de charge  $P$  et simplement appuyée le moment en une abscisse  $x$  est:  $M(x) = P \frac{x}{2} (\ell - x)$ .

qui entraîne un enfoncement  $y(x) = \frac{Px}{2} (\ell^3 - 2\ell x^2 + x^3)$

l'enfoncement est max pour  $x = \frac{\ell}{2} \Rightarrow y \frac{\ell}{2} = \frac{5P\ell^4}{384EI} = 0,2165 \cdot 10^{-2} \text{ m}/m\ell$

d'où  $P = Kyb = 0,043 t/m^2/m\ell$  (réaction du sol)

donc la dalle est sollicitée par les charges suivantes



$$M_{\max} = \frac{P\ell^2}{8} - \frac{5}{48} P \ell^2 = 6,20 \text{ t.m/m}\ell$$

$$T_{\max} = \frac{P\ell}{2} - P \ell \frac{\ell}{3} = 4,88 \text{ t/m}\ell$$

$$\mu = 0,0455 \Rightarrow \left\{ \begin{array}{l} \varepsilon = 0,9101 \\ K = 40,6 \end{array} \right. \quad A = 9,011 \text{ cm}^2/\text{mL}$$

soit :  $6HA14 = 9,23 \text{ cm}^2$ .

Armature de répartition  $\frac{A}{4} \leq Ar \leq \frac{A}{2}$  soit HHA10 =  $3,74 \text{ cm}^2$ .

contraintes :  $\sigma' = \frac{\sigma_a}{K} = 68,96 \text{ kg/cm}^2 < \bar{\sigma}_b$

$$C_b = \frac{T_{\max}}{b_3} = \frac{\frac{4,89 \times 10^3}{100 \times \frac{7}{8} \times 27}}{b_3} = 2,065 \text{ kg/cm}^2 < 3,5 \bar{\sigma}_b = 24,85 \text{ kg/cm}^2$$

Ferraillage du corbeau :

Il est soumis à la réaction dans la dalle de transition

$$R = P \frac{\ell}{2} - P r \frac{\ell}{3} = T_{\max} = 4,98 \text{ t/mL}$$

d'où le moment  $M = R \times 0,6 = 2,928 \text{ t.m/mL}$ .

la hauteur moyenne est de 0,75 m.

\* le moment provoque une force de traction égale à :  $F = \frac{1}{2} \bar{\sigma} y b$ .

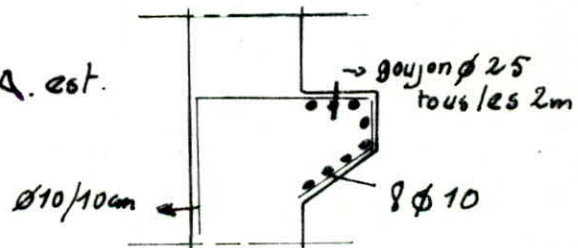
$$F = \frac{1}{2} \bar{\sigma} y b = \frac{1}{2} \frac{M v}{I} y b = \frac{3}{2} \frac{M}{R} \quad \text{avec } y = \frac{h}{2}, I = \frac{bh^3}{12}, v = \frac{h}{2}$$

$$F = \frac{3}{2} \times 2,928 = 5,856 \text{ t} \Rightarrow A = \frac{F}{\bar{\sigma}_b} = 2,09 \text{ cm}^2/\text{mL} \Rightarrow 8H10 / \text{mL} = 2,35 \text{ m}^2$$

$$C_b = \frac{T}{b_3} = \frac{4,89 \times 10^3}{100 \times \frac{7}{8} \times 75} = 0,74 \text{ kg/cm}^2 < \bar{\sigma}_b$$

$$A = \frac{T}{\bar{\sigma}_b} = \frac{4,98 \times 10^3}{2100} = 1,74 \text{ cm}^2 \rightarrow 3HA10.$$

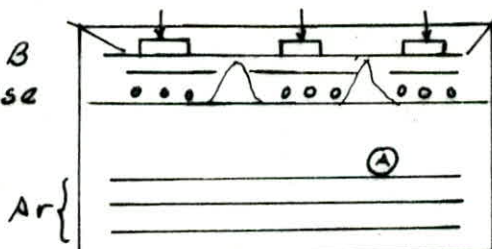
Mais le ferraillage exigé par SETRA est.



## Ferraillage du sommier d'appui

Il y a risque de fissuration du béton suivant le plan vertical et oblique sous l'effet de la charge localisée au niveau des appareils d'appuis. On dispose les armatures telle que : A. formant un chainage contre la fissuration telle que B. de surface d'éclatement sous les appareils d'appuis et l'action des vérins.

a) armature de chainage B document du SETRA propose une quantité d'acier.



$$A = 0,25 \frac{R_{\max}}{\sigma_a}, R_{\max} = R_{op} + R_{cop} + R_{surch.\max} + R_{trotf} = 126,07$$

$$A = 11,25 \text{ cm}^2 \text{ soit } 2 \text{ nappes H16}$$

Pour limiter la propagation de fissures, on place des armatures  $A_h$  sur une hauteur égale à la moitié des espacements des appareils d'appuis soit : 1,8 m

avec  $A_h = 0,125 \frac{R_{\max}}{\sigma_a} = 5,62 \text{ cm}^2$  (document SETRA)

comme on a prévu 7 H16 = 14,07 cm<sup>2</sup> pour le mur frontal donc il n'est pas nécessaire de prévoir  $A_h$ . car :  $14,07 > 5,62 \text{ cm}^2$

### Armatures de surface et d'éclatement.

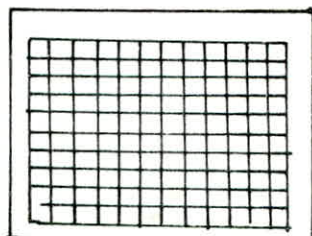
elles sont constituées par des nappes de frettages (8) disposées au droit des appareils d'appuis et des vérins chaque frette est constituée par des armatures  $\phi 8$  capable de reprendre un effort de  $0,25(1-8)R$ .

$$s = \frac{d}{E} = \frac{\text{Largeur de l'appareil d'appuis}}{\text{épaisseur de l'appuis}}$$

$$\text{d'où } F = 0,25(1-s)R = 19,147 \text{ t.}$$

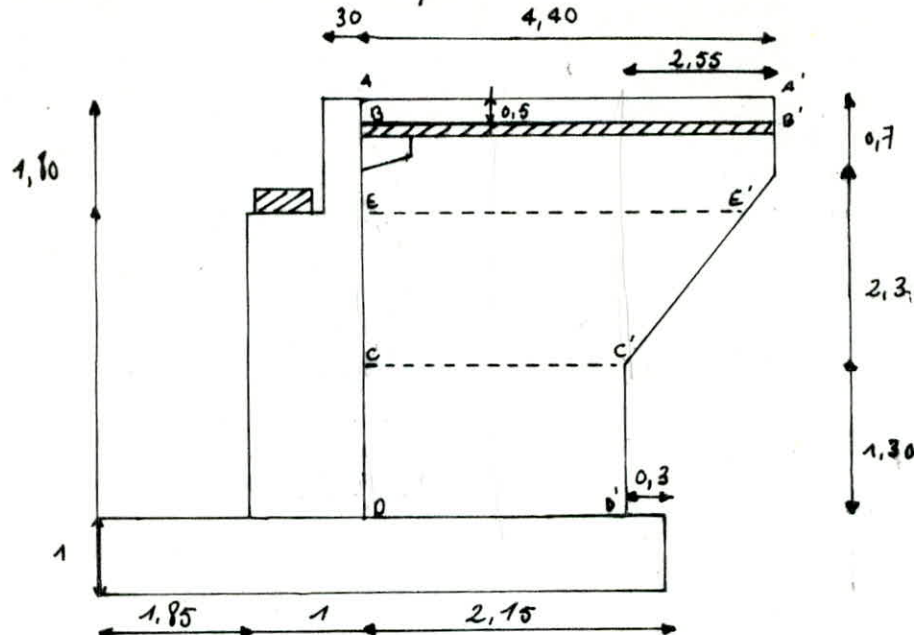
$$A = \frac{F}{\sigma_a} = \frac{19,147}{2800} \times 10^{-3} = 6,83 \text{ cm}^2$$

on dispose d'une seule nappe dans les 2 directions.



## Mur en retour.

Le rôle des murs en retour est d'assurer le soutènement des terres des remblais d'accès au pont.



1. calcul des contraintes le long du mur.

a) partie au dessus de la dalle de transition (AA'B'B')

$$\sigma = k (q + \gamma h) \quad k = 0,33 \quad \text{coef de poussée condition normale.}$$

$$\gamma = 1,8 \text{ t/cm}^2 \quad (\text{remblai}) \quad q = 1 \text{ t/m}^2$$

$$\text{pour } h=0 \Rightarrow \sigma = 0,33 \cdot (1 \times 1,2 + 1,8 \times 0) = 0,396 \approx 0,4 \text{ t/m}^2$$

$$h = 0,5 \text{ m} \Rightarrow \sigma = 0,33 \cdot (1 \times 1,2 + 1,8 \times 0,5) = 0,693 \approx 0,7 \text{ t/m}^2$$

\* partie au dessous de la dalle (BB'D'D)

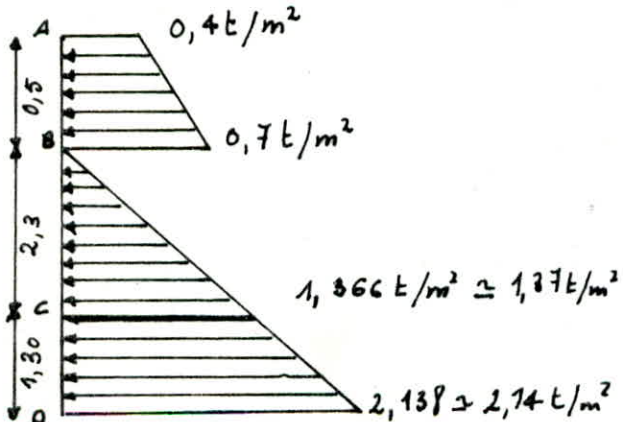
$$\sigma = k \gamma h$$

$$\text{pour } h=0 \Rightarrow \sigma = 0$$

$$h = 2,3 \Rightarrow \sigma = 0,33 \times 1,8 \times 2,3 = 1,366 \text{ t/m}^2$$

$$h = 1,30$$

$$\sigma = 0,33 (1,8 \times 2,3 + 1,8 \times 1,30) = 2,138 \text{ t/m}^2.$$



$$\sigma_m = 0,55 \text{ t/m}^2$$

$$L_m = 4,40 \text{ m}$$

$$\sigma_m = \sigma_{\max} 1,37 \text{ t/m}^2$$

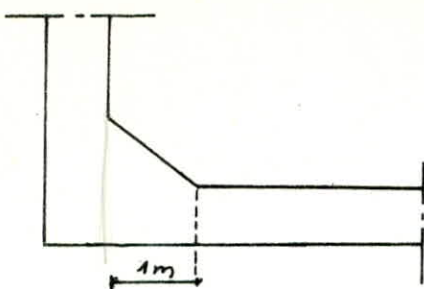
$$L_m = 3,125 \text{ m}$$

$$\sigma_m = 1,755 \text{ t/m}^2$$

$$L_m = 1,85 \text{ m.}$$

Tranche AA'B'B'

Encastrant le long de AB, on calculera avec la contrainte moyenne.



Moment fléchissant :  $\text{tm}/\text{m}\ell$  suivant la hauteur.

$$M_{AB} = \bar{m} \cdot L_m \cdot \frac{L_m}{2} : \begin{array}{l} \bar{m} : \text{charge uniforme} \\ \frac{L_m}{2} : \text{bras de levier.} \end{array}$$

$$\Rightarrow M_{AB} = 0,55 \times 4,4 \times \frac{4,4}{2} = 5,324 \text{ tm/m}\ell.$$

$$\text{Début du gousset : } M = 0,55 \times \frac{3,4^2}{2} = 3,179 \text{ tm/m}\ell.$$

\* Tranche BB'CC : encastrement le long de BC.

Moment fléchissant.

$$M_{BC} = 1,37 \times \frac{3,125^2}{2} = 6,699 \text{ tm/m}\ell.$$

$$\text{Début gousset : } M = 1,37 \times \frac{2,125^2}{2} = 3,1 \text{ tm/m}\ell.$$

\* Tranche CC'DD' : encastrement le long de CD on calculera avec la contrainte moyenne :  $1,755 \text{ t/m}^2$  et  $L_m = 1,95 \text{ m}$ .

Moment fléchissant:

$$M_{CD} = 1,755 \times \frac{1,95^2}{2} = 3,003 \text{ tm/m}\ell.$$

$$\text{début Gousset : } M_{CD} = 1,755 \times \frac{0,95^2}{2} = 0,634 \text{ tm/m}\ell.$$

Conclusion : a) à la base  $M_{\max} = 6,699 \text{ tm/m}\ell \approx 6,69 \text{ tm/m}\ell$ .

b) début gousset  $M_{\max} = 3,179 \approx 3,18 \text{ tm/m}\ell$ .

Ferraillage à la base :

$$n = 15$$

$$M = 66900 \text{ kg/cm.}$$

$$\bar{m} = 2800 \text{ kg/cm}^2$$

$$b = 100 \text{ cm.}$$

$$ht = 60 \text{ cm.}$$

$$h = 55 \text{ .}$$

$$u = \frac{nM}{\bar{m} b h^2} = \frac{15 \times 66900}{2800 \times 100 \times 55^2} = 0,0118 \Rightarrow \left| \begin{array}{l} \varepsilon = 0,9515 \\ k = 88 \\ \bar{w} = 0,082 \end{array} \right.$$

$$\bar{t}_b = \frac{\bar{w}}{k} = 31,8 < \bar{t}_b'$$

$$A = \frac{M}{\bar{t}_b \varepsilon h} = \frac{669000}{2800 \times 0,9515 \times 55} = 4,56 \text{ cm}^2/\text{m}\ell$$

$$\text{Soit : } 5 \text{ HA12} = 5,65 \text{ cm}^2 \quad \ell = 20 \text{ cm.}$$

Ferraillage début Gousset :

$$M_{\max} = 3,18 \text{ tm/m}\ell = 31800 \text{ kg cm/m}\ell.$$

$$u = \frac{15 \times 31800}{2800 \times 100 \times 26} = 0,0252 \Rightarrow \left| \begin{array}{l} \varepsilon = 0,931 \\ k = 57,5 \end{array} \right.$$

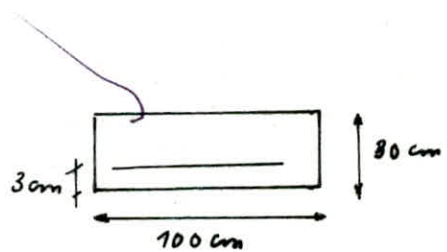
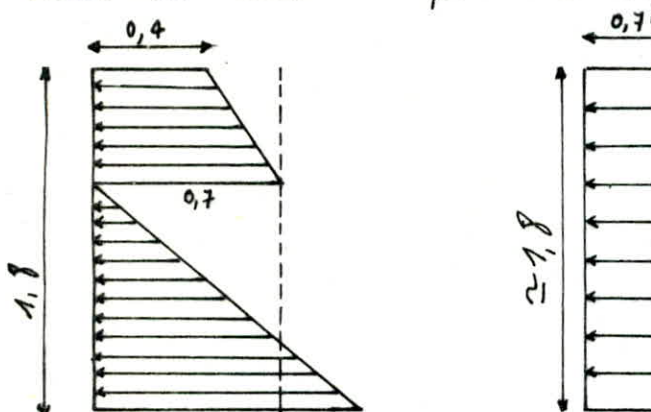
$$\bar{t}_b' = \frac{\bar{w}}{k} = \frac{2800}{57,5} = 48,69 < \bar{t}_b'$$

$$A = \frac{318000}{2800 \times 0,931 \times 26} = 4,6918 \text{ cm}^2/\text{m}\ell$$

$$\text{Soit } 5 \text{ HA12} = 5,65 \text{ cm}^2$$

conclusion : on prendra comme armature horizontale pour tout le mur.  
 la section  $A = 4,6918 \text{ cm}^2/\text{ml}$ .  
 Soit 5 HA 12 p.m tous les 20 cm.  
 $A = 5,65 \text{ cm}^2$

Acier verticaux : on prendra un encastrement au niveau de ee'



$$M_E = 0,7 \times \frac{1,8}{2}^2 = 1,134 \text{ t.m./ml.}$$

$\mu = 0,0083$        $K = 107$        $\Sigma = 0,959$        $A = 1,56 \text{ cm}^2/\text{ml.}$   
 A l'armatures de répartitions, on prendra donc pour les aciers verticaux les armatures de répartition 6 Ø 10 tous les 16,5 cm.

### Mur frontal.

est un élément porteur sur lequel s'appuie le tablier et qui soutient les terres, il est considéré comme encastré à la semelle à sa partie inférieure et au mur en retour et soumis aux surcharges de remblai et aux poussées des terres.

### Ferraillage du mur frontal.

- moment à la base du mur.
- poussée des terres :  $M = f \gamma \times \frac{H^3}{3} = 0,33 \times 1,8 \times \frac{4,3^3}{3} = 7,17 \text{ t.m./ml.}$
- freinage :  $M = \frac{15}{g} \times 2,50 \times 6 \times 1,2 = 5 \text{ t.m./ml.}$

$$\text{surcharge sur remblai} : M = 0,33 \times 1 \times \frac{4,3^2}{2} \times 1,2 = 3,66 \text{ t.m./ml.}$$

- effort transmis par le mur garde grève  $M = 1,996 \times 2,5 = 4,7 \text{ t.m./ml.}$
- Moment total à la base. =  $\Sigma M = 21,23 \text{ t.m./ml.}$

$$N = 751,61 \text{ t sous SP1.}$$

$$N = \frac{751,61}{9,81} = 83,51 \text{ t/m.l.}$$

### Fléxion composée :

$$l = \frac{21,23}{83,51} = 0,254 > \frac{ht}{6} = 0,166 \text{ m.}$$

$\Rightarrow$  section partiellement comprimée :

Moment du acier tendus.

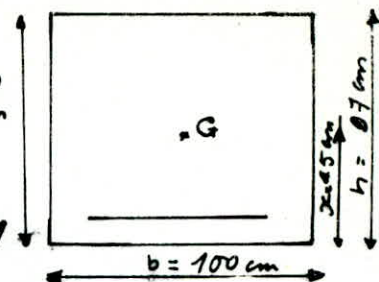
$$M = 21.23 + 83,51 \times 0,47 = 60,47 \\ = 16,53 + N \times \alpha = 60,47 \text{ cm}^3/\text{ml}$$

$$\mu = \frac{15 \times M}{\bar{\sigma}_e \times b \times h^2} = 0,0344 \rightarrow \begin{cases} \varepsilon = 0,0207 \\ K = 47,8 \end{cases}$$

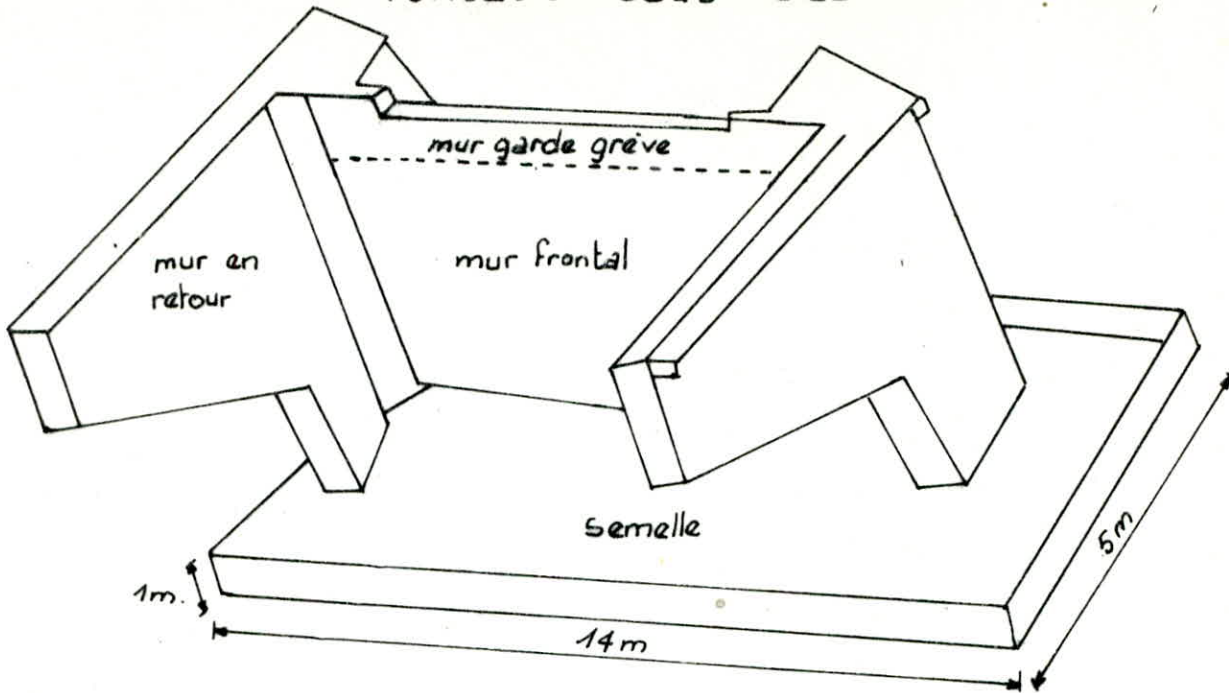
$$A' = 0 \quad A = \frac{M}{\bar{\sigma}_e \times \varepsilon \times h} = 24,19 \text{ cm}^2/\text{ml}$$

soit 6HA20 tous les 12,5 cm.

- Armature de répartition  $\frac{A}{4} < Ar < \frac{A}{2}$  soit 6HA14/ml tous les 16,5 cm.



## fondation sous culée



La culée est moins sollicitée que la pile elle sera fondée sur semelle superficielle et ancrée à 2 m dans le sol.

- \* Calcul des contraintes sous la semelle  
on doit vérifier que:

$$\sigma_A \geq \frac{N}{S} \pm \frac{Mv}{I}$$

avec  $v = \frac{A}{2}$ ;  $I = \frac{BA^3}{12}$

$N = 753,61$  sous SP1.

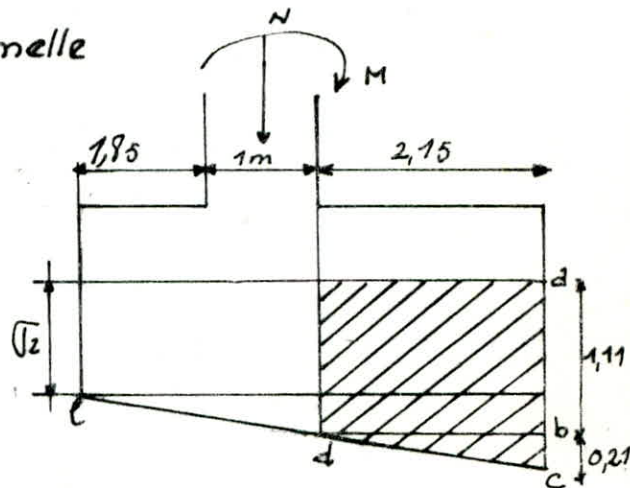
$M_x = 144,44 \text{ t.m.}$

d'où  $\sigma_1 = \frac{N}{S} + \frac{Mv}{I} = 13,24 \text{ t/m}$

$$\sigma_2 = \frac{N}{S} - \frac{Mv}{I} = 8,298 \text{ t/m}^2$$

$\sigma_1 = 1,32 \text{ bars.}$

$\sigma_2 = 0,83 \text{ bars.}$



### ferrailage de la semelle.

On utilise la méthode des consoles.

le moment d'encastrement en d est

$$Md = (11,1 \times 2,15 \times 14) \frac{2,15}{2} + \left( \frac{2,1 \times 2,15 \times 14}{2} \right) 2,15 \times \frac{2}{3} = 404,46 \text{ t.m.}$$

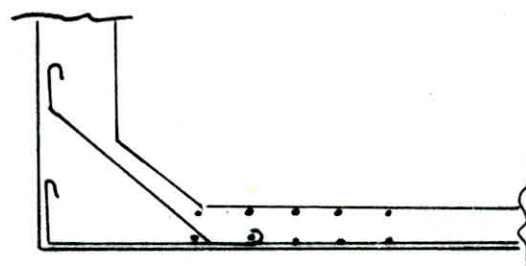
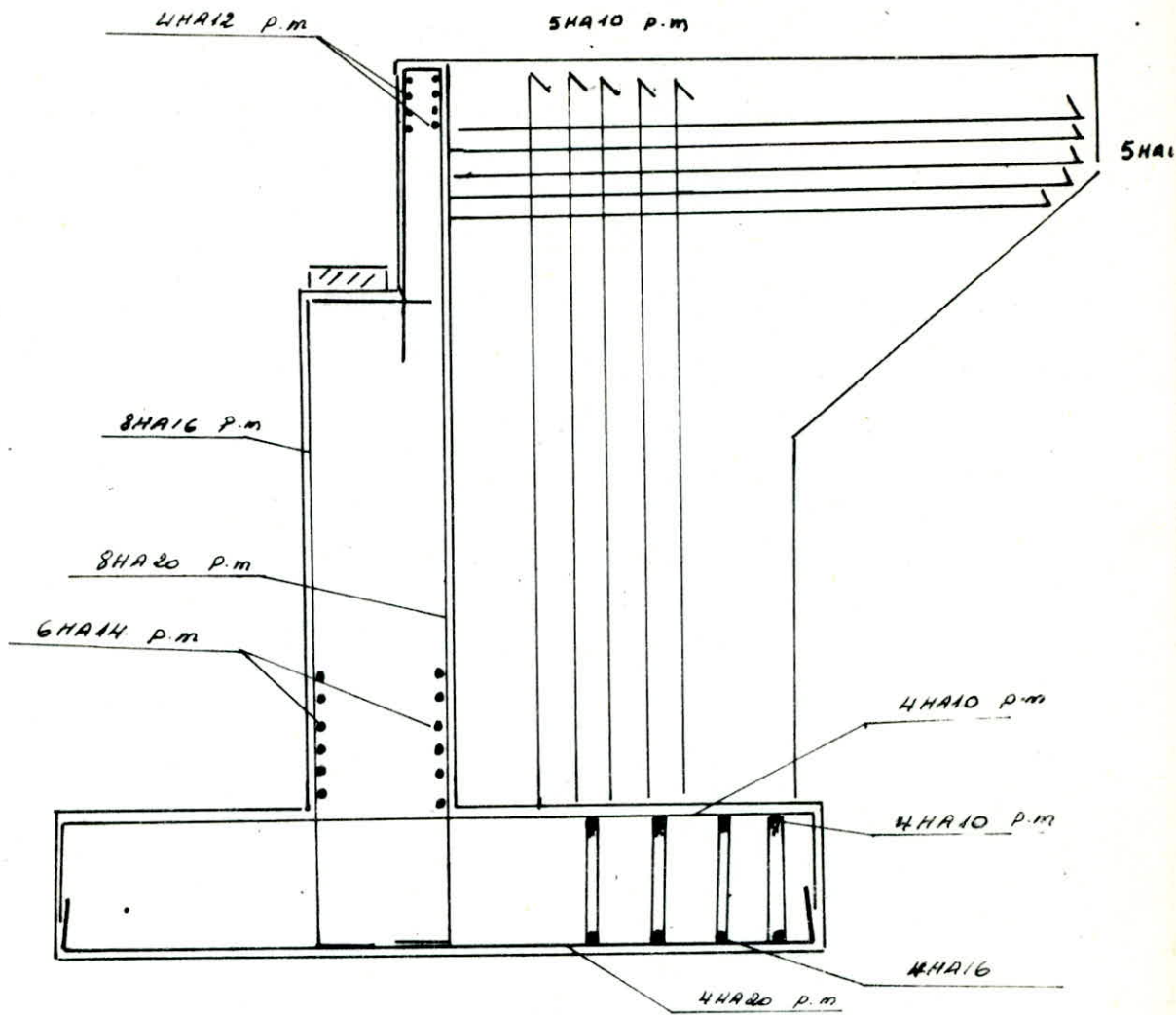
$$A = \frac{Md}{3\sigma_a} \quad \text{avec } 3 = \frac{7}{8} h; \quad h = 100 - 5 = 95 \text{ cm.}$$

$$A = 174 \text{ cm}^2 \text{ soit } 56 \text{ HA}20 = 175,84 \text{ cm}^2 \quad \ell = 25 \text{ cm.}$$

Dans l'autre sens  $M = 38,92 \text{ t.cm}$   
 $N = 751,61 \text{ t.}$

on a trouvé  $A_x = 38,75 \text{ cm}^2$  soit  $20 \text{ HA}16 = 492 \text{ cm}$   $\ell = 25 \text{ cm}$

*Ferraillage de la culée.*



*ferraillage du gousset*

## Verification au cisaillement.

Méthode approchée

on doit vérifier sous la sollicitation du 1<sup>er</sup> degré que

$$\tau_{b^a} = \frac{T_x}{S_a} < \bar{\tau}_b \quad T_x = \frac{N}{A \cdot B} \cdot \frac{A + (a+b)}{2} \cdot \left( d_b - \frac{h}{2} \right)$$

$$\tau_{b^b} = \frac{T_b}{S_b} < \bar{\tau}_b \quad T_b = \frac{N}{A \cdot b} \cdot \frac{B + (b+h)}{2} \cdot \left( d_a - \frac{h}{2} \right)$$

$$A = 5m, B = 14m, a = 1m, b = 9m, h = 0,95m.$$

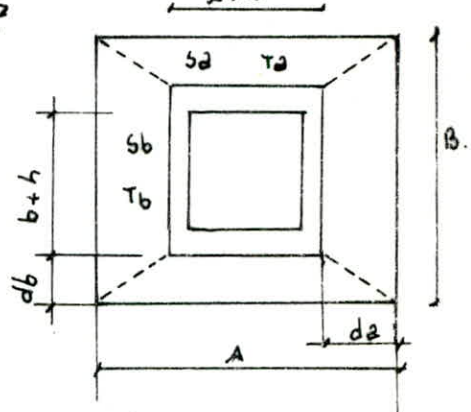
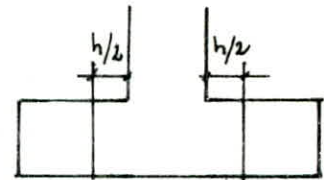
$N = 751,67 \text{ t}$  (sous  $SP_1$ )

on trouve :

$$\tau_{b^a} = 4,078 \text{ kg/cm}^2 < \bar{\tau}_b = 7,1 \text{ kg/cm}^2$$

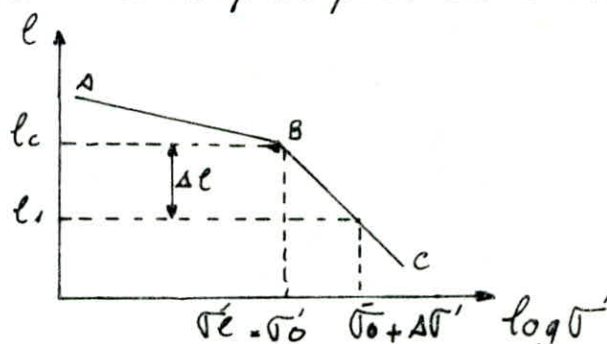
$$\tau_{b^b} = 2,04 \text{ kg/cm}^2 < \bar{\tau}_b = 7,1 \text{ kg/cm}^2$$

donc le poinçonnement est vérifié



## Tassement.

On utilise la méthode des tranches qui consiste à déterminer la variation des contraintes par la théorie de l'élasticité à différents niveau sous la fondation. On découpe le sol en un certain nombre de couche correspondant à la géologie local avec des épaisseur d'autant plus petites que l'on soit plus près de la charge.



La première partie AB à pente très faible aboutit en B point auquel correspond la pression de consolidation. La deuxième partie BC à pente marquée permet de définir l'indice de compression  $C_c$ :  $\tan \angle B_C = \frac{C_c}{z_e}$ . En comparant  $\sigma'_e$  au poids du terrain sus-jacent  $\sigma'_a$ . On en déduit l'état de consolidation du sol.

Si  $\sigma'_e > \sigma'_a$ , sol surconsolidé, il n'y a pas de tassement pour  $\sigma'_e = \sigma'_a$  on se trouve dans le cas d'un sol normalement consolidé sous son poids propre.

et pour  $\sigma_i < \sigma'_o$  sol sous consolidé.

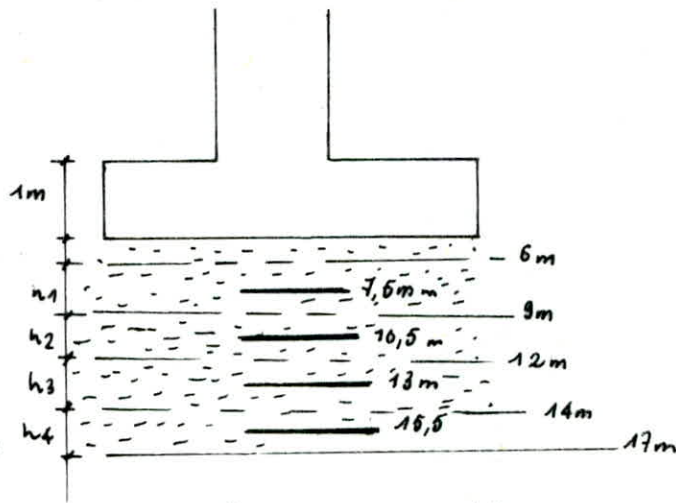
L'amplitude de tassement pour un sol sous consolidé s'exprime par  $\Delta H = H \frac{1}{1+\ell_0} C'_c \log \frac{\sigma'_o + \Delta \sigma}{\sigma'_o}$

### Calcul du tassement.

\* caractéristique du sol relevée des essais au laboratoire.

$\sigma_{7,75m}^{7,4}$	$P_c = 2,9 \text{ bar}$	$C'_c = 0,083$	$\ell_0 = 0,64$
$\sigma_{10,64m}^{10,64}$	$P_c = 2 \text{ b}$	$C'_c = 0,088$	$\ell_0 = 0,875$
$\sigma_{11,00m}^{11,00}$	$P_c = 2,8 \text{ bar}$	$C'_c = 0,098$	$\ell_0 = 0,925$
$\sigma_{13,68m}^{13,68}$	$P_c = 2,45 \text{ b}$	$C'_c = 0,103$	$\ell_0 = 0,87$

Tassement:



$$\sigma'_o = E' \gamma h \text{ avec } \gamma = 1,93 \text{ t/cm}^3$$

$$\sigma'_c = P_c$$

Résultat sous forme de Tableau

couches	$\sigma'_c \text{ b}$	$C'_c$	$\ell_0$	$\sigma'_o \text{ (b)}$	$\Delta \sigma \text{ (b)}$	genre de consolidation	$\Delta h \text{ (cm)}$
couche1	2,9	0,083	0,64	1,5	0,51	surconsolidé	0
couche2	2	0,088	0,875	2,3	0,33	sousconsolidé	0,182
couche3	2,8	0,098	0,925	2,7	0,228	surconsolidé	0,21
couche4	2,45	0,103	0,87	3,28	0,156	sousconsolidé	0,138
Tassement Total.							1,38

remarque: le tassement est faible, la fondation superficielle est maintenue

## Conclusion

Au terme de notre étude d'un pont mixte, nous avons opté pour des méthodes universelles, car les ouvrages calculés par ces techniques n'ont pas subi de dommages.

L'acier et le béton travaillant en collaboration conduisent à une économie substantielle en temps de réalisation et en quantité de matériaux. La question est de connaître les degrés de participation des deux matériaux dans la reprise des efforts pour un bon dimensionnement de l'ouvrage.

Des hypothèses simplificatrices et sécurisantes ont été prises, réduisant par là quelques difficultés dans les calculs.

En outre cette étude a constitué un complément appréciable à notre formation et permet de comprendre le comportement d'une structure soumise aux efforts.

## Bibliographie

- calcul et vérification des ouvrages en béton armé  
P. CHARON.
- Construction métallique (ouvrage d'art) - CIOLINA.
- Bulletin technique SETRA  
Pile et culée - Fondation 72.
- C.P.C fascicule 61  
Titre II surcharges.  
Titre III construction métallique.
- C C B A 68 (vérification divers)
- calcul des fondations sur pieux FORNI
- calcul des sections circulaire . MARIUS DIVERS.

